

# Optoelectrică

Curs 8

2018/2019

# Disciplina 2018/2019

- ▶ 2C/1L Optoelectrică **OPTO**
- ▶ **Minim 7 prezente curs + laborator**
- ▶ Curs – conf. Radu Damian
  - an IV μE
  - Vineri 8–11, P5
  - E – 70% din nota
    - **20% test la curs**, saptamana 5 – 22.03.2019 ora 10-11
  - probleme + (2p prez. curs) + (3 teste) + (bonus activitate)
  - toate materialele permise
- ▶ Laborator – sl. Daniel Matasaru
  - an IV μE
    - Marti 14-16
    - Joi 8-12 par/impar
  - L – 30% din nota (+Caiet de laborator)

# Orar 2018/2019

## ► Curs

- Vineri 8-11, P5
- **2C ⇒ 3C**
  - $14 \cdot 2 / 3 \approx 9.33$
  - 9÷10 C

# Bibliografie

- ▶ <http://rf-opto.eti.tuiasi.ro>
- ▶ Irinel Casian-Botez, "Structuri Optoelectronice", Ed. "CANOVA", Iasi 2001, ISBN 973-96099-2-9
- ▶ Behzad Razavi – Design of Integrated Circuits for Optical Communications, Mc Graw Hill  
<http://rf-opto.eti.tuiasi.ro/docs/pto/>
- ▶ IBM – Understanding Optical Communications: on-line <http://rf-opto.eti.tuiasi.ro>
- ▶ Radu Damian, I Casian, D Matăsaru – „Comunicatii Optice”, Indrumar de laborator, 2005

# Reprezentare logaritmică!!!

$$\text{dB} = 10 \cdot \log_{10} (P_2 / P_1)$$

$$\text{dBm} = 10 \cdot \log_{10} (P / 1 \text{ mW})$$

$$0 \text{ dB} = 1$$

$$+ 0.1 \text{ dB} = 1.023 (+2.3\%)$$

$$+ 3 \text{ dB} = 2$$

$$+ 5 \text{ dB} = 3$$

$$+ 10 \text{ dB} = 10$$

$$-3 \text{ dB} = 0.5$$

$$-10 \text{ dB} = 0.1$$

$$-20 \text{ dB} = 0.01$$

$$-30 \text{ dB} = 0.001$$

$$0 \text{ dBm} = 1 \text{ mW}$$

$$3 \text{ dBm} = 2 \text{ mW}$$

$$5 \text{ dBm} = 3 \text{ mW}$$

$$10 \text{ dBm} = 10 \text{ mW}$$

$$20 \text{ dBm} = 100 \text{ mW}$$

$$-3 \text{ dBm} = 0.5 \text{ mW}$$

$$-10 \text{ dBm} = 100 \mu\text{W}$$

$$-30 \text{ dBm} = 1 \mu\text{W}$$

$$-60 \text{ dBm} = 1 \text{ nW}$$

$$[\text{dBm}] + [\text{dB}] = [\text{dBm}]$$

$$[\text{dBm}/\text{Hz}] + [\text{dB}] = [\text{dBm}/\text{Hz}]$$

$$[x] + [\text{dB}] = [x]$$

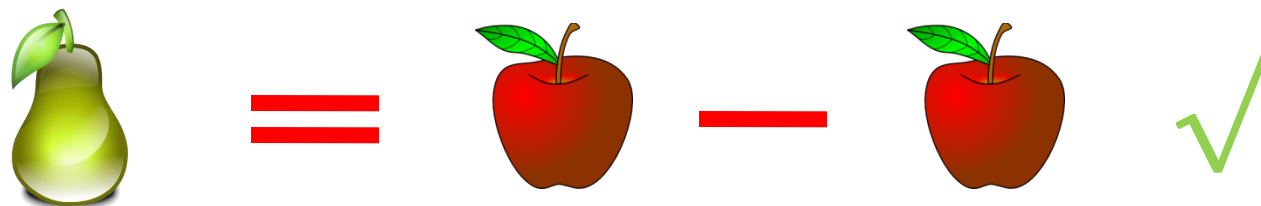
# Calculul atenuarii

$$\text{Pierderi} = \frac{P_{out}}{P_{in}}$$



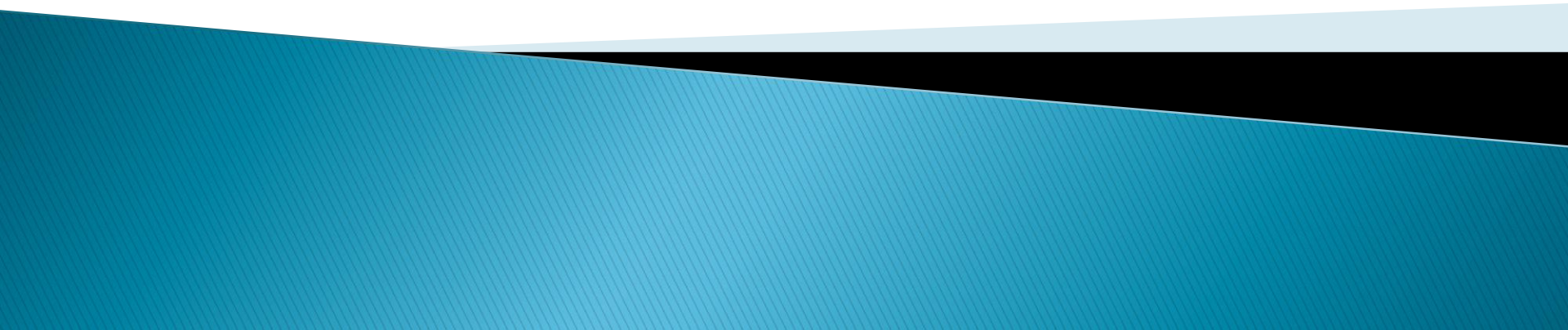
$$\text{Pierderi [dB]} = [-] 10 \cdot \log_{10} \left( \frac{P_{out}}{P_{in}} \right)$$

$$\text{Pierderi [dB]} = [-] (P_{out} [\text{dBm}] - P_{in} [\text{dBm}])$$



$$\text{Atenuare [dB/km]} = \frac{\text{Pierderi [dB]}}{\text{lungime [km]}}$$

# Recapitulare



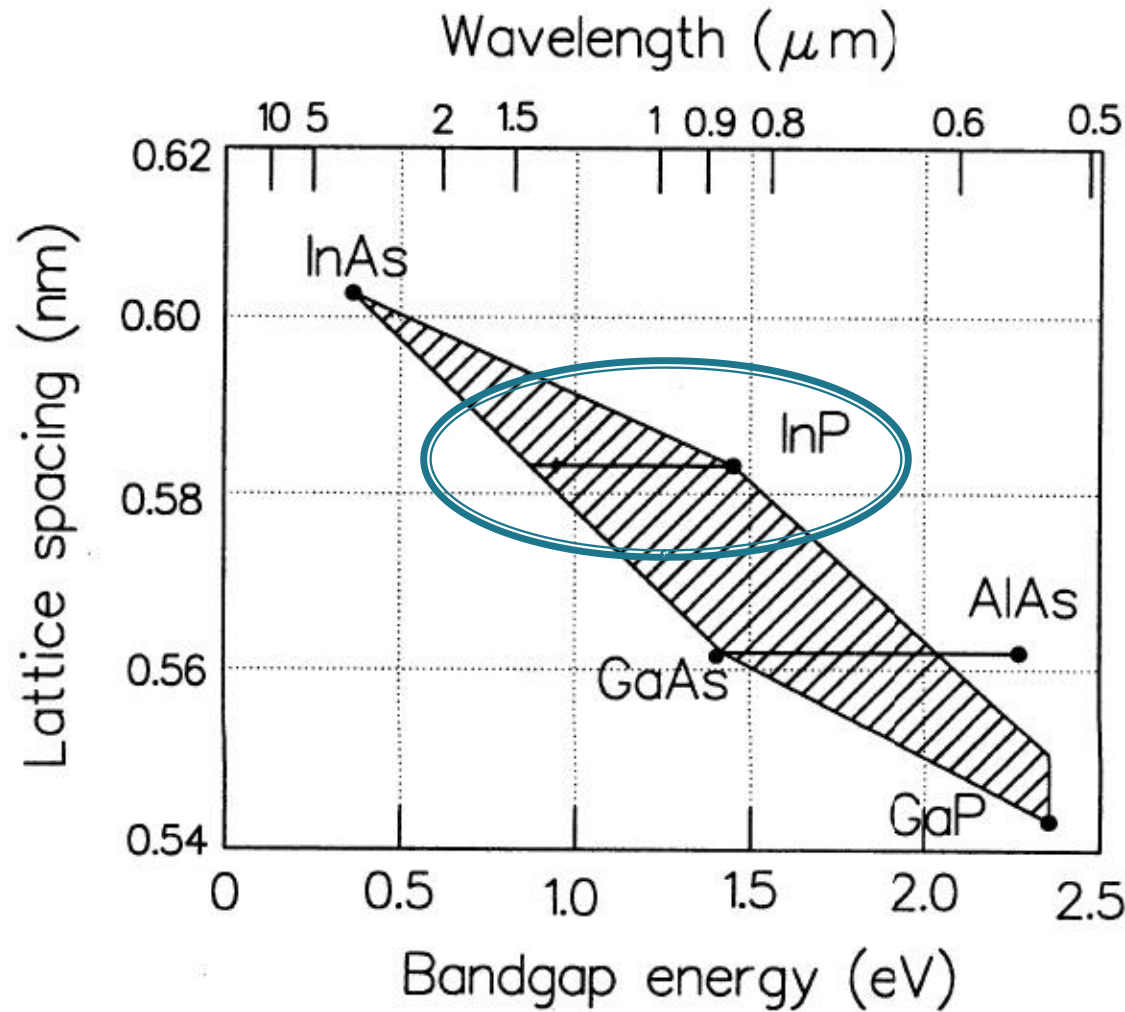
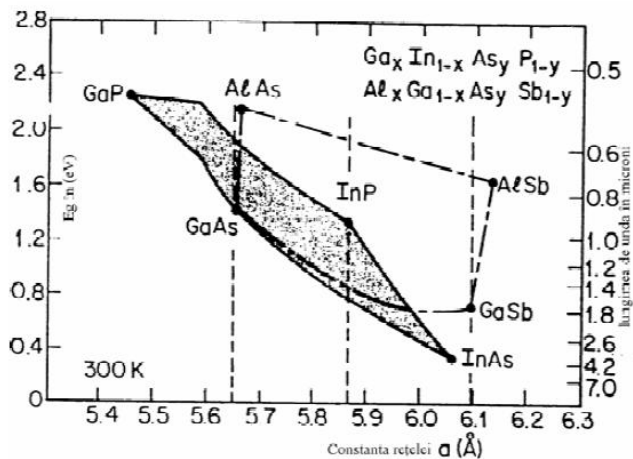
# Lățimea benzii interzise/lungime de undă pentru materialele uzuale

Material	Formula	Wavelength Range $\lambda$ ( $\mu\text{m}$ )	Bandgap Energy $W_g$ (eV)
Indium Phosphide	InP	0.92	1.35
Indium Arsenide	InAs	3.6	0.34
Gallium Phosphide	GaP	0.55	2.24
Gallium Arsenide	GaAs	0.87	1.42
Aluminium Arsenide	AlAs	0.59	2.09
Gallium Indium Phosphide	GalnP	0.64-0.68	1.82-1.94
Aluminium Gallium Arsenide	AlGaAs	0.8-0.9	1.4-1.55
Indium Gallium Arsenide	InGaAs	1.0-1.3	0.95-1.24
Indium Gallium Arsenide Phosphide	InGaAsP	0.9-1.7	0.73-1.35

$$E_g = h\nu; \quad \lambda = \frac{hc}{E_g}; \quad \lambda[\mu\text{m}] = \frac{1.240}{E_g[\text{eV}]}$$

- ▶  $h$  constanta lui Plank  $6.6261 \cdot 10^{-34} \text{ Ws}^2$
- ▶  $c$  viteza luminii **in vid**  $2.998 \cdot 10^8 \text{ m/s}$
- ▶  $e$  sarcina electronului  $1.6 \cdot 10^{-19} \text{ C}$
- ▶ benzi energetice:  $\lambda_0$ , **Δλ**

# Dependența benzii interzise de constanta rețelei

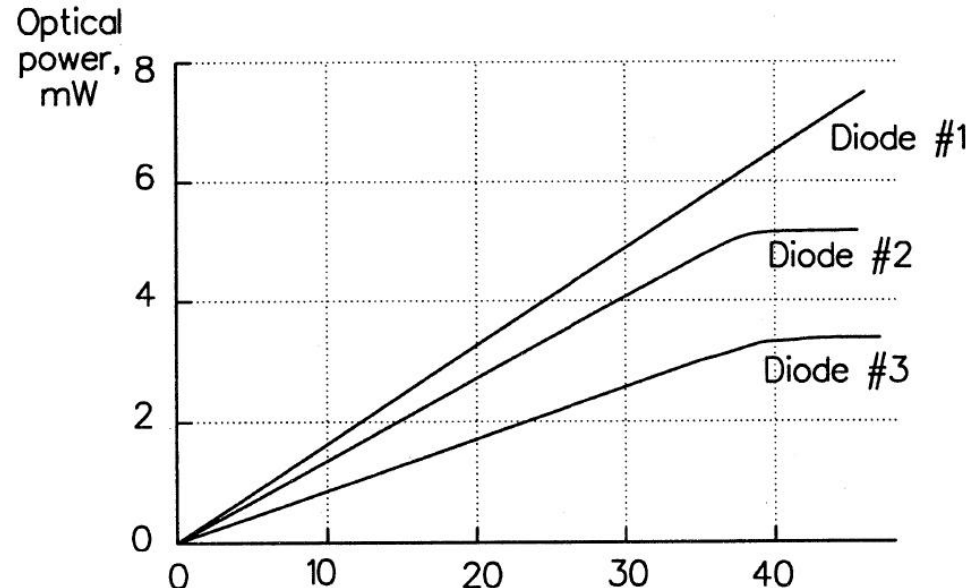


# Caracteristica de raspuns a LED-urilor

- ▶ Caracteristica putere optica emisa functie de curentul direct prin LED este liniara la nivele mici ale curentului.
- ▶ Nu exista curent de prag
- ▶ La nivele foarte mari puterea optica se satureaza
- ▶ Rezonabilitatea

$$r = \frac{P_o}{I} \quad \left[ \frac{W}{A} \right]$$

- ▶ Tipic  $r=50\mu W/mA$



# Control static LED

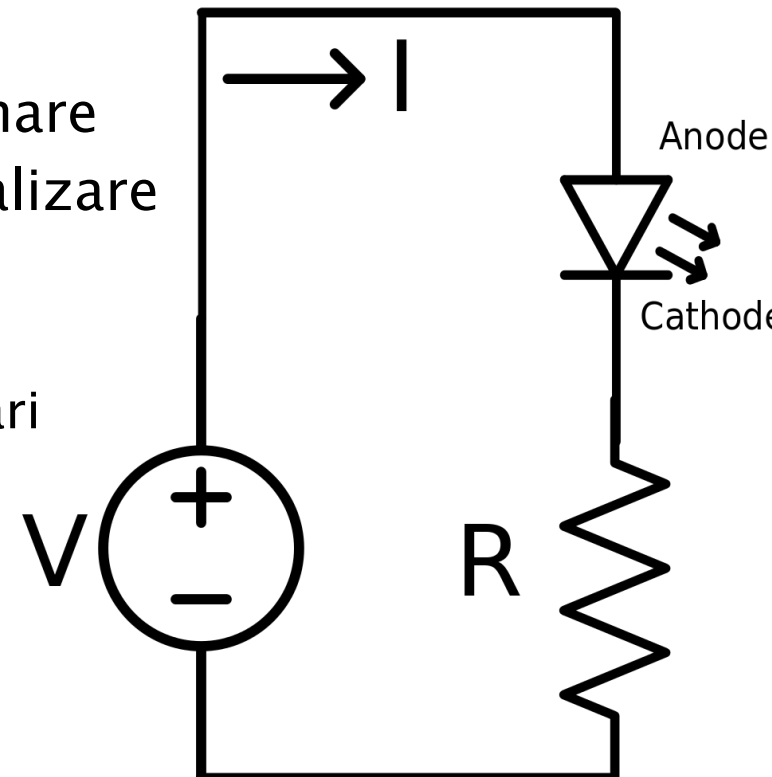
- ▶ Cea mai simpla schema de control:  
un rezistor in serie cu LED

- **Atentie!** Tensiunea directa poate varia semnificativ (>>0.7V) si trebuie preluata din catalog

- mai ales la intensitate luminoasa mare
- datorita materialelor diferite de realizare a LED-urilor
- dependenta de lungimea de unda
  - mai mica la lungimi de unda mai mari

$$I_v = f(I_F[\text{mA}]) \quad [\text{cd/mcd}]$$

$$I_F = \frac{V_{cc} - V_F}{R}$$

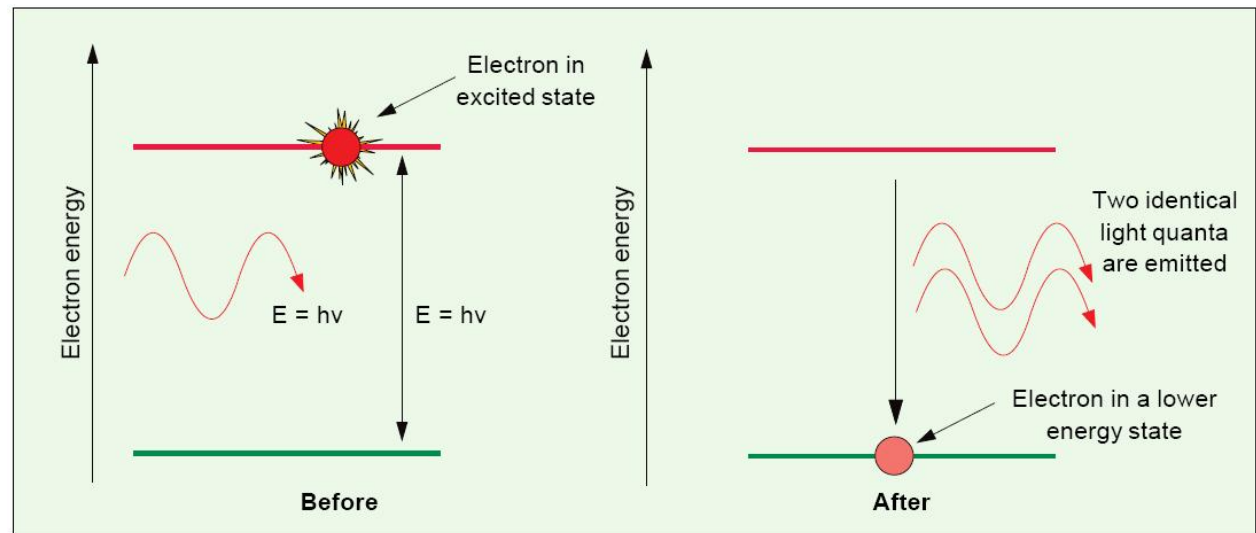


# **Diода Laser**

Capitolul 8

# Diода LASER – Principiul de operare

- ▶ Emisia stimulata – un foton incident cu energie corespunzătoare poate stimula emisia unui alt doilea foton **fără a fi absorbit**
- ▶ Noul foton are aceeași direcție și fază cu fotonul incident, Lumina rezultată e coerentă



# Principii LASER

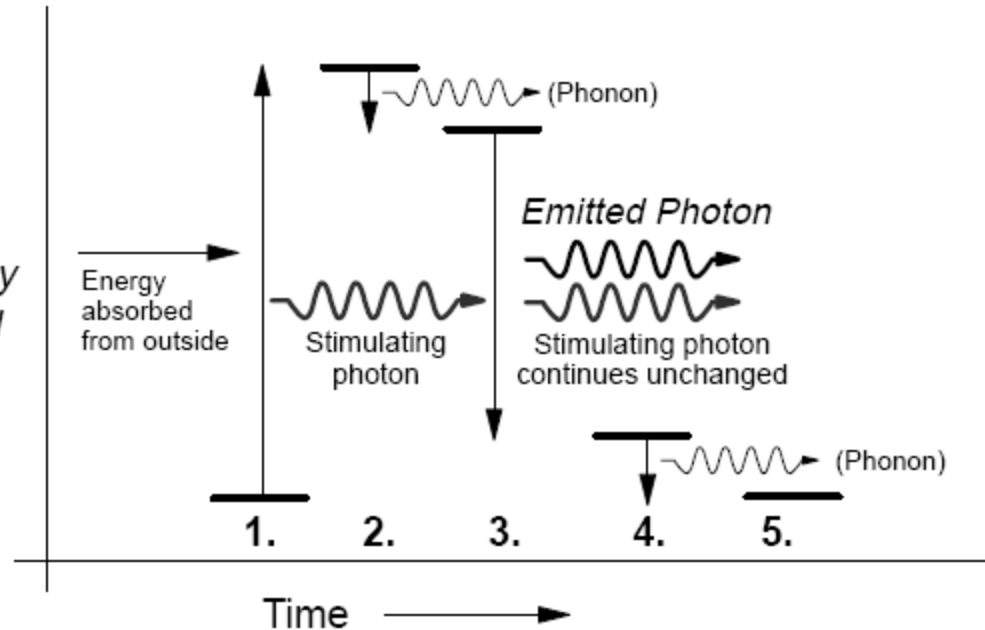
- ▶ Inversiune de populatie
  - necesara deoarece electronii au capabilitatea de a absorbi energie **la aceeasi frecventa** la care are loc emisia stimulata
  - se defineste probabilistic: probabilitatea de emisie stimulata sa fie mai mare decat probabilitatea de absorbtie

$$n_c \cdot p_e > n_v \cdot p_a$$

- ▶ Materialele capabile sa genereze inversiune de populatie au starea excitata metastabila

# Materiale cu 4 nivale energetice

- ▶ La un material cu 4 nivale energetice tranzitia radianta a electronului (3) se termina intr-o stare instabila, starea de echilibru obtinandu-se prin emisia unui fonon
- ▶ Inversiunea de populatie se obtine mult mai usor datorita electronilor din starea intermediara



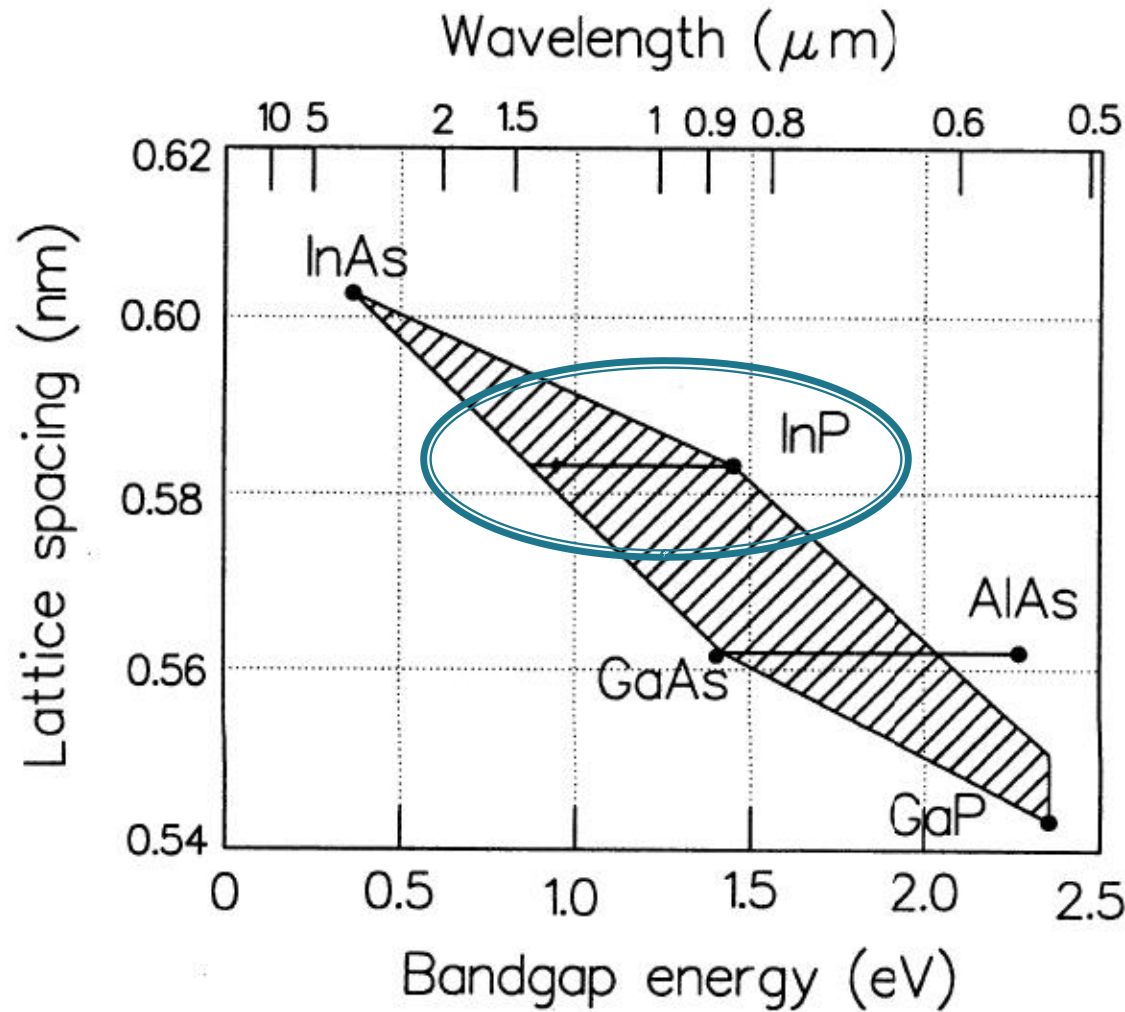
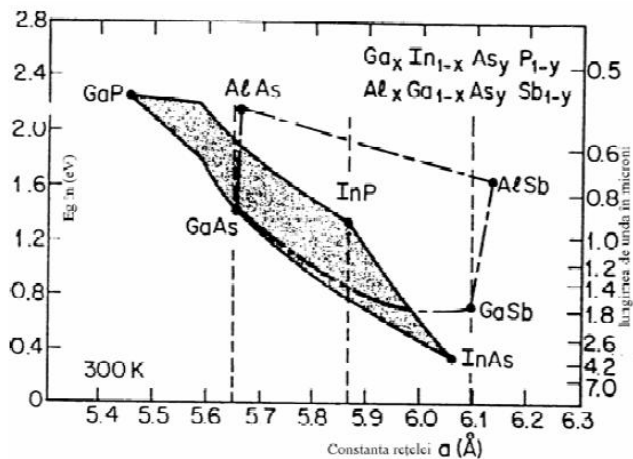
# Lățimea benzii interzise/lungime de undă pentru materialele uzuale

Material	Formula	Wavelength Range $\lambda$ ( $\mu\text{m}$ )	Bandgap Energy $W_g$ (eV)
Indium Phosphide	InP	0.92	1.35
Indium Arsenide	InAs	3.6	0.34
Gallium Phosphide	GaP	0.55	2.24
Gallium Arsenide	GaAs	0.87	1.42
Aluminium Arsenide	AlAs	0.59	2.09
Gallium Indium Phosphide	GalnP	0.64-0.68	1.82-1.94
Aluminium Gallium Arsenide	AlGaAs	0.8-0.9	1.4-1.55
Indium Gallium Arsenide	InGaAs	1.0-1.3	0.95-1.24
Indium Gallium Arsenide Phosphide	InGaAsP	0.9-1.7	0.73-1.35

$$E_g = h\nu; \quad \lambda = \frac{hc}{E_g}; \quad \lambda[\mu\text{m}] = \frac{1.240}{E_g[\text{eV}]}$$

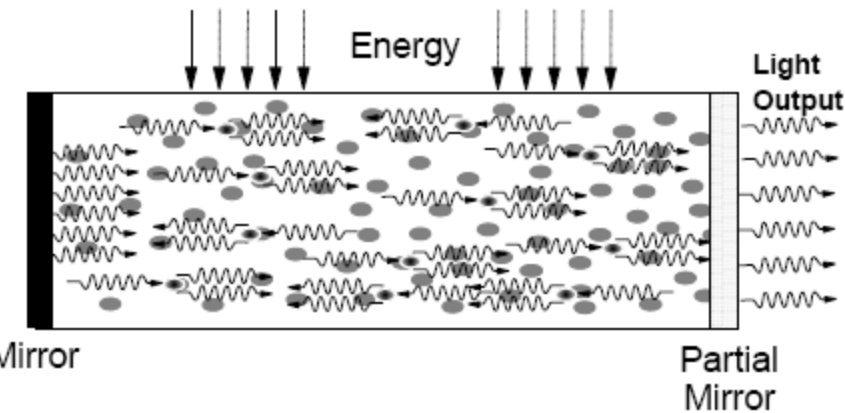
- ▶  $h$  constanta lui Plank  $6.6261 \cdot 10^{-34} \text{ Ws}^2$
- ▶  $c$  viteza luminii **in vid**  $2.998 \cdot 10^8 \text{ m/s}$
- ▶  $e$  sarcina electronului  $1.6 \cdot 10^{-19} \text{ C}$
- ▶ benzi energetice:  $\lambda_0$ , **Δλ**

# Dependența benzii interzise de constanta rețelei

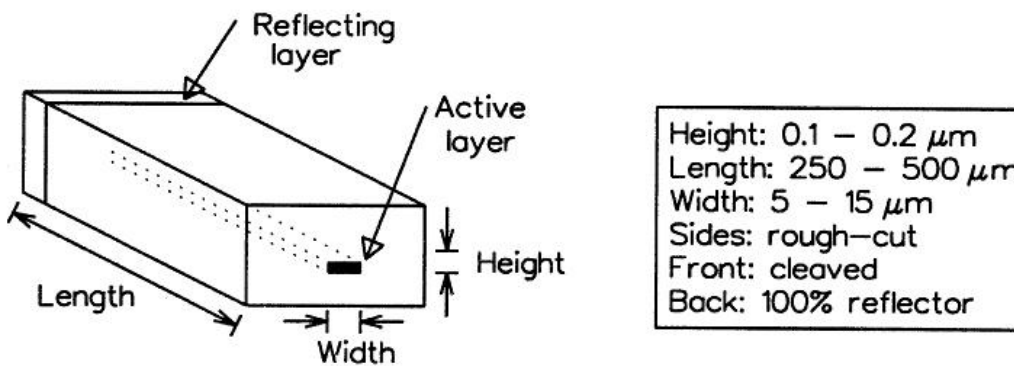
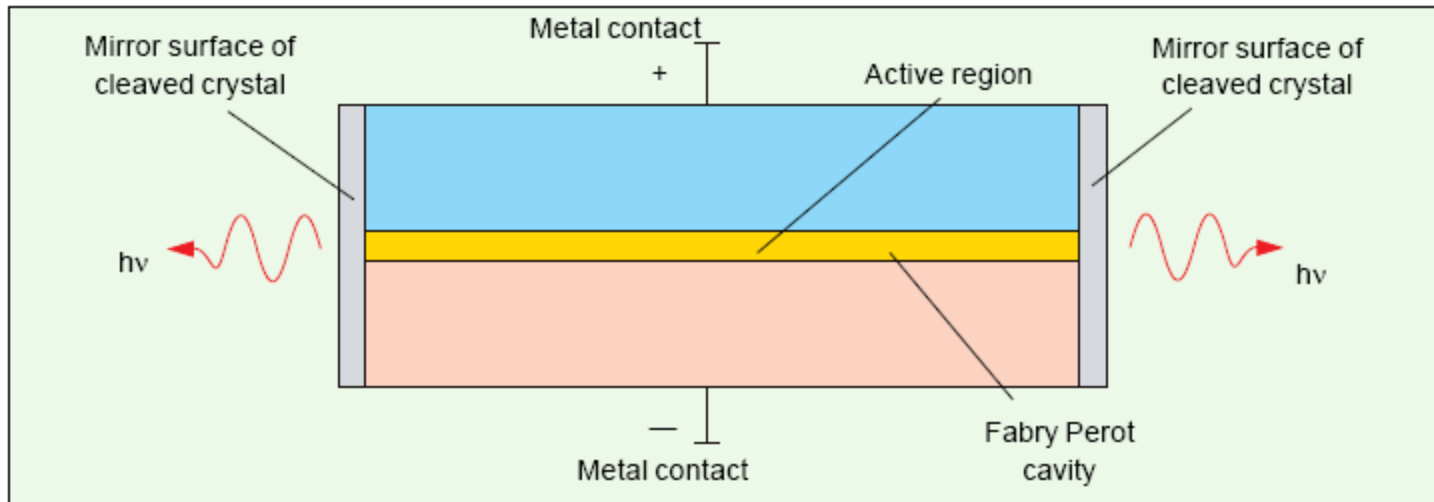


# Diода LASER – Principiul de realizare

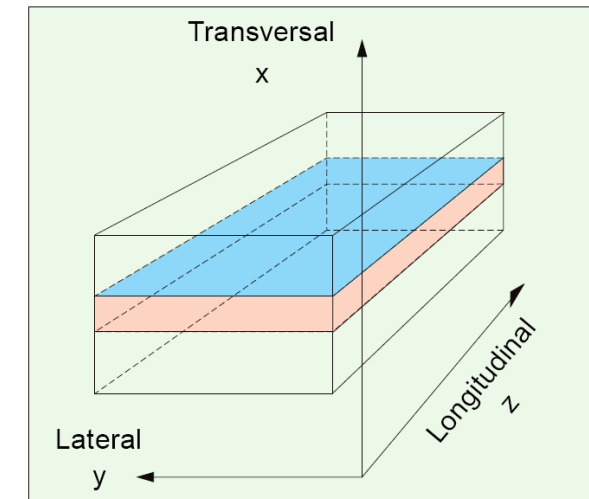
- ▶ Pentru ca emisia stimulata sa apara, fotonii emisi trebuie sa ramana in contact cu materialul o perioada mai mare de timp – 2 oglinzi necesare
- ▶ Pentru a permite extragerea radiatiei e necesar ca una din oglinzi sa fie parțial reflectanta



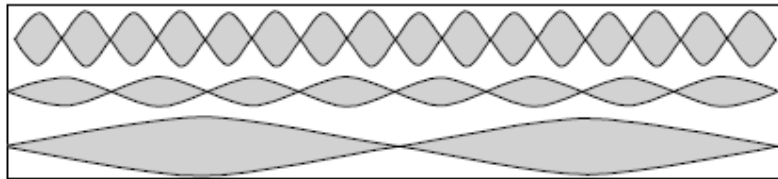
# Diода LASER Fabry Perot



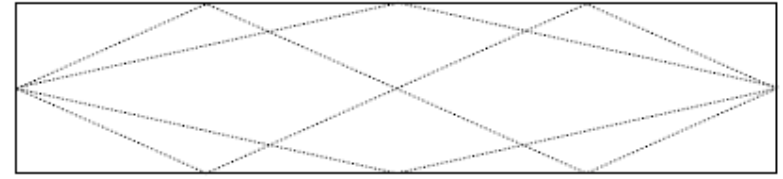
Definirea directiilor in  
dioda LASER



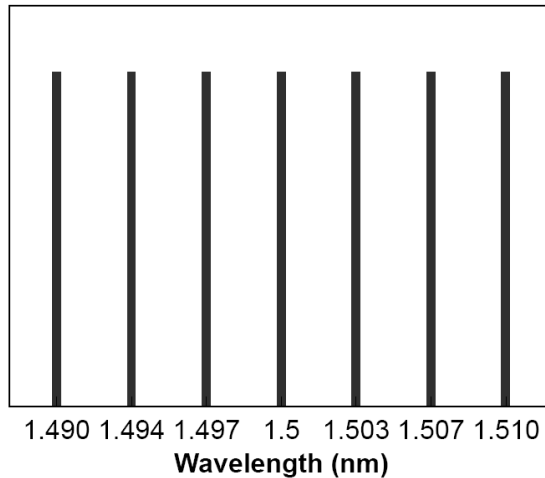
# Spectrul diodei LASER



Longitudinal Modes



Lateral Modes

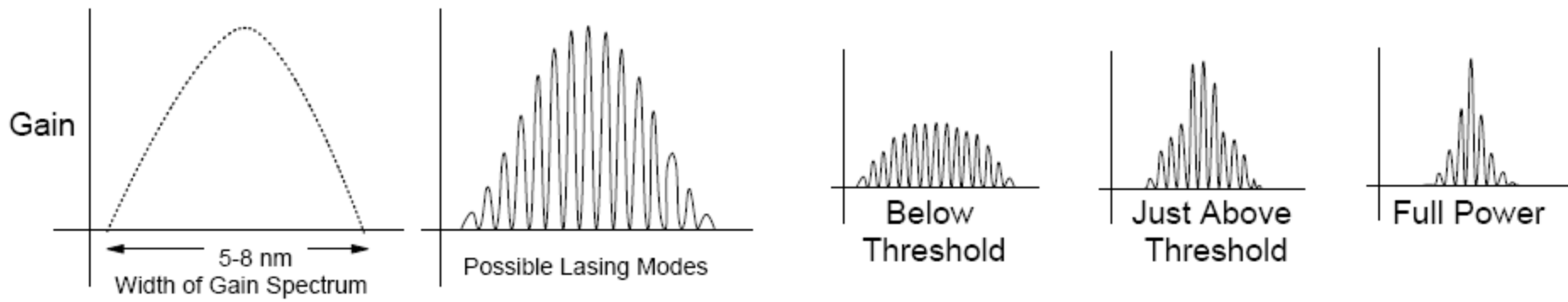


$$f_k = k \cdot \frac{c_0}{2 \cdot n \cdot L} \quad \Delta f = \frac{c_0}{2 \cdot n \cdot L}$$

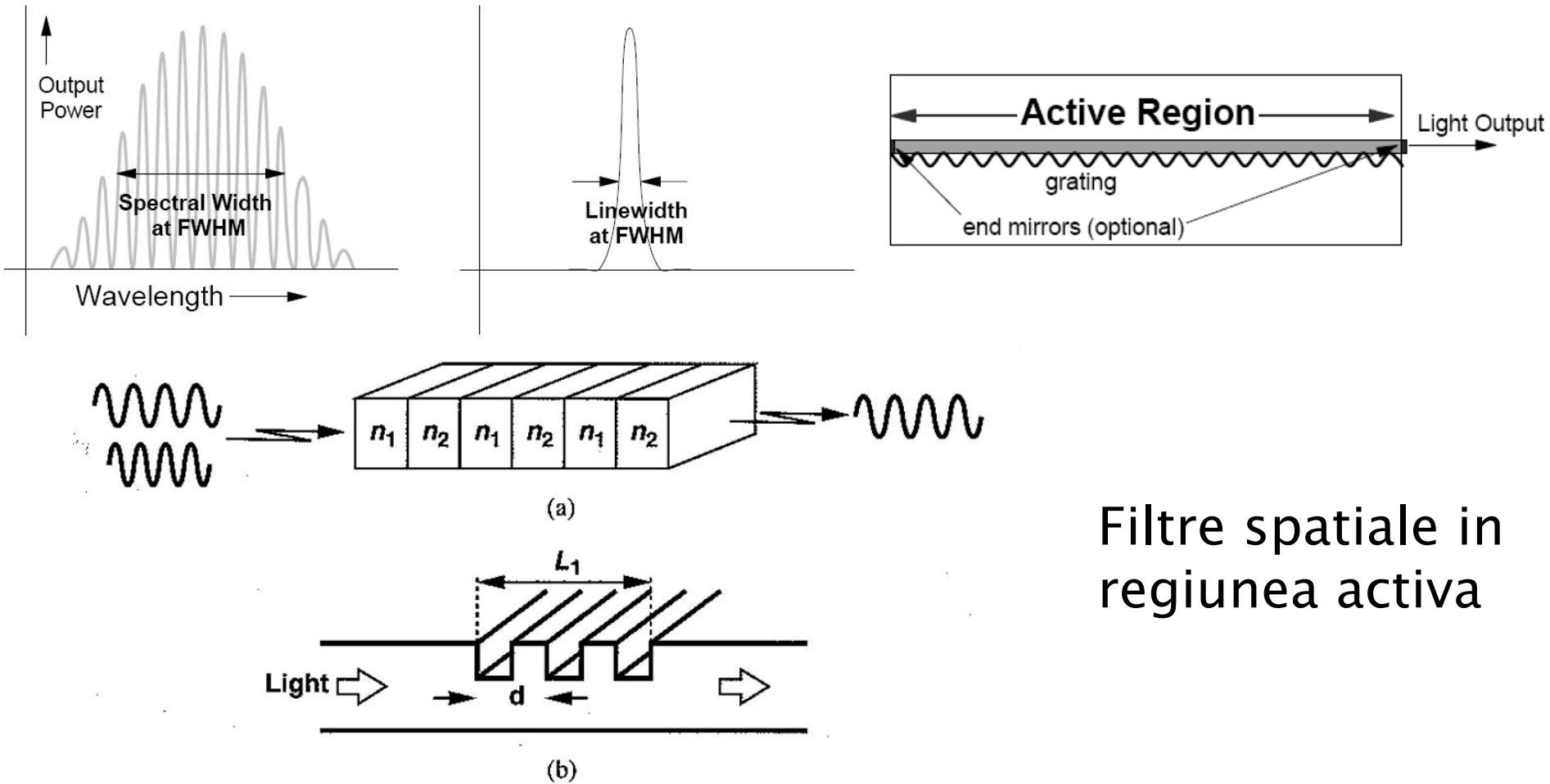
$$\Delta\lambda \cong \frac{\lambda_0^2}{2 \cdot n \cdot L}$$

# Spectrul diodei LASER

- ▶ Castigul diodei laser (eficacitatea aparitiei emisiei stimulate) depinde
  - de caracteristicile energetice ale materialului din care e realizata dioda
  - de energia pompata din exterior (currentul prin dioda)

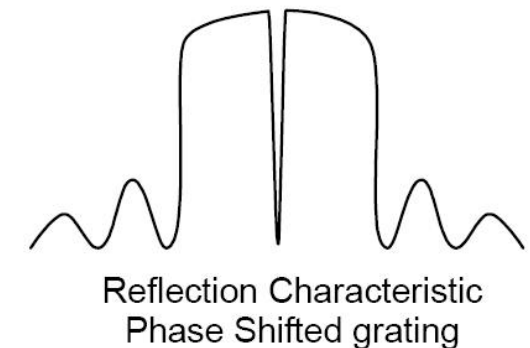
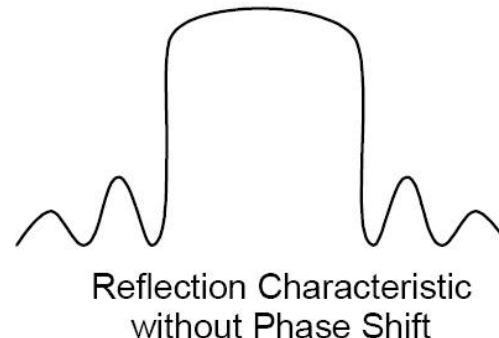
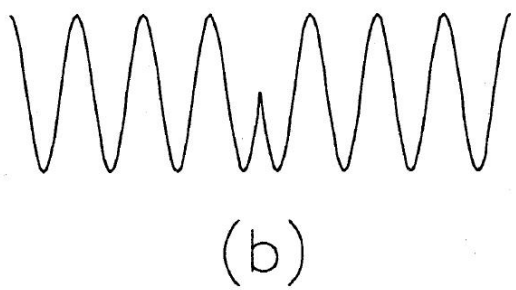
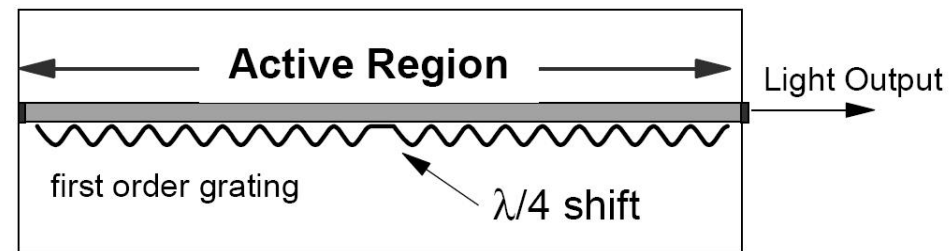
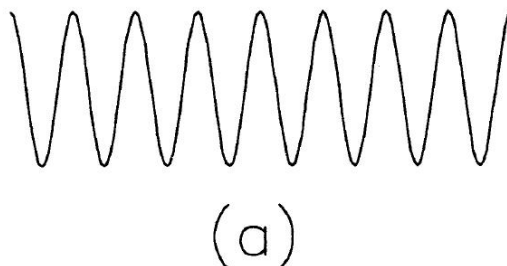


# Distributed Feedback (DFB) Lasers



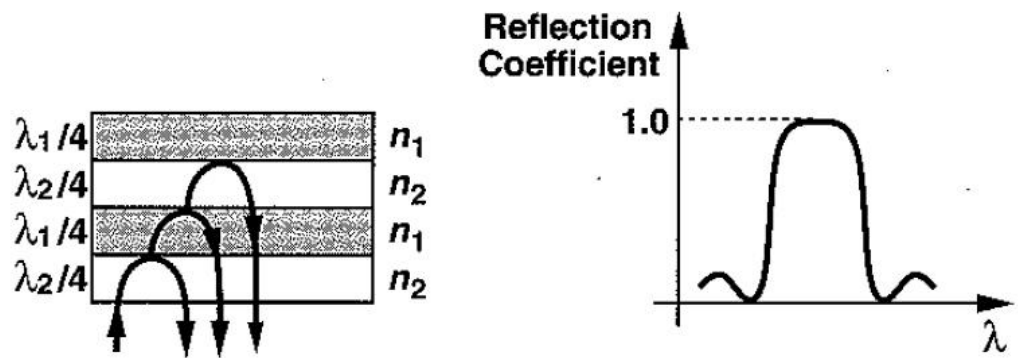
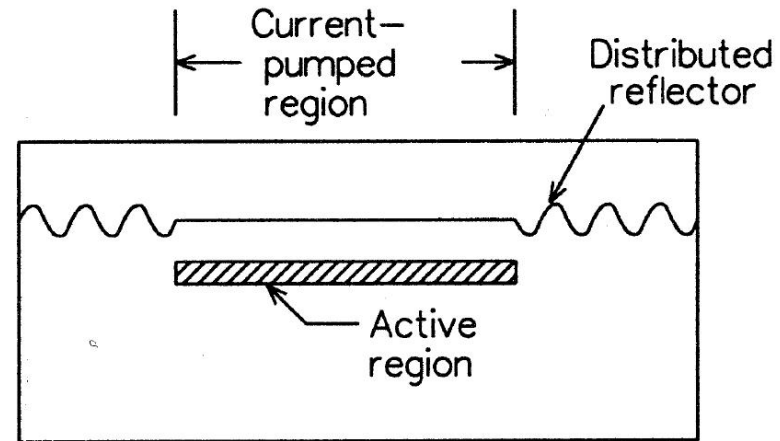
# Distributed Feedback (DFB) Lasers

- ▶ Pentru operarea in impulsuri, un salt de  $\lambda/4$  ingusteaza suplimentar spectrul diodei laser



# Distributed Bragg Reflector (DBR) Lasers

- ▶ Se utilizeaza suprafete reflective selective pentru filtrare optica



# Caracteristici curent tensiune

- ▶ Amorsarea emisiei stimulate necesita pomparea unei anumite cantitati de energie – curent de prag

$I < I_{th}$  regim LED

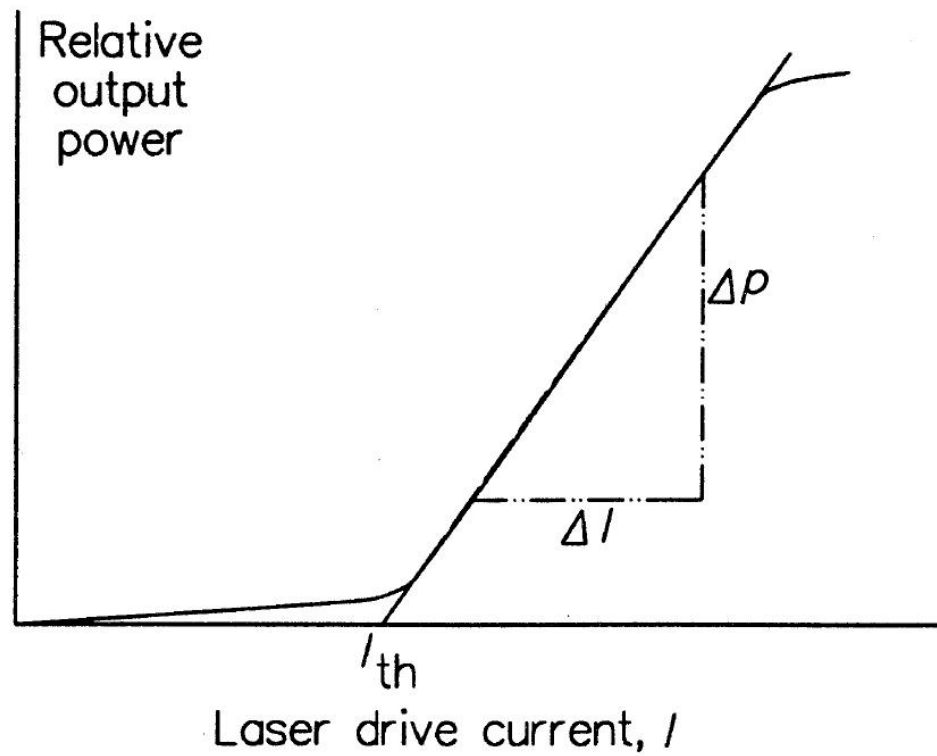
ineficient!,  $P_o \approx 0$

$I > I_{th}$  regim LASER

$$r = \frac{\Delta P_o}{\Delta I} \left[ \frac{W}{A} \right]$$

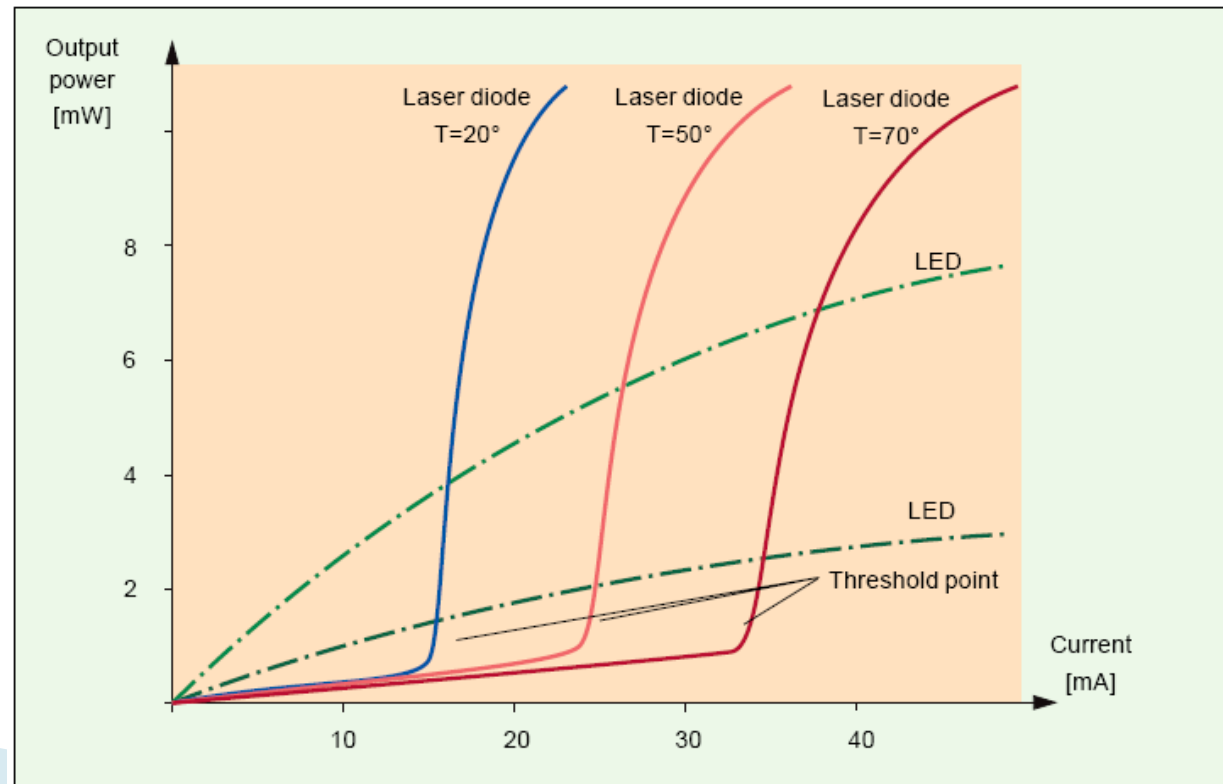
$$P_o = r \cdot (I - I_{th})$$

Apare saturare la nivele mari de curent

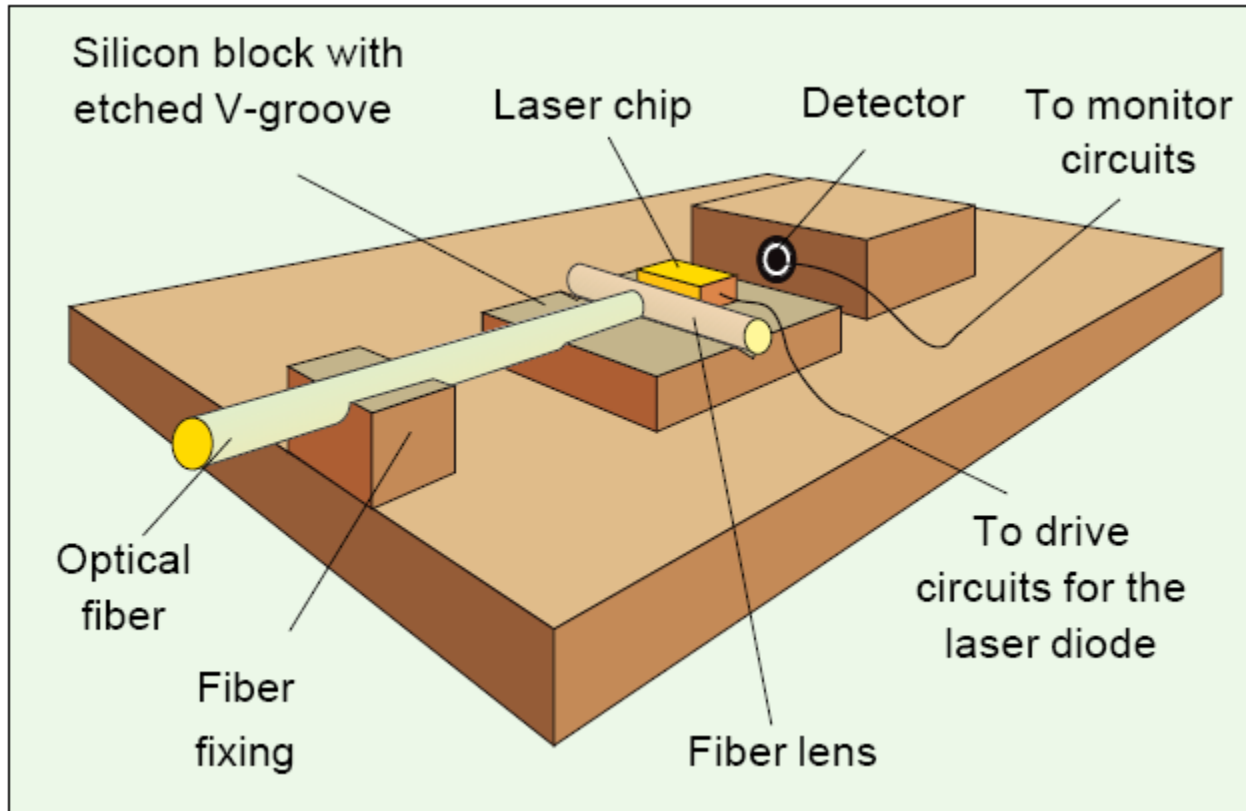


# Temperatura si îmbatrâniere

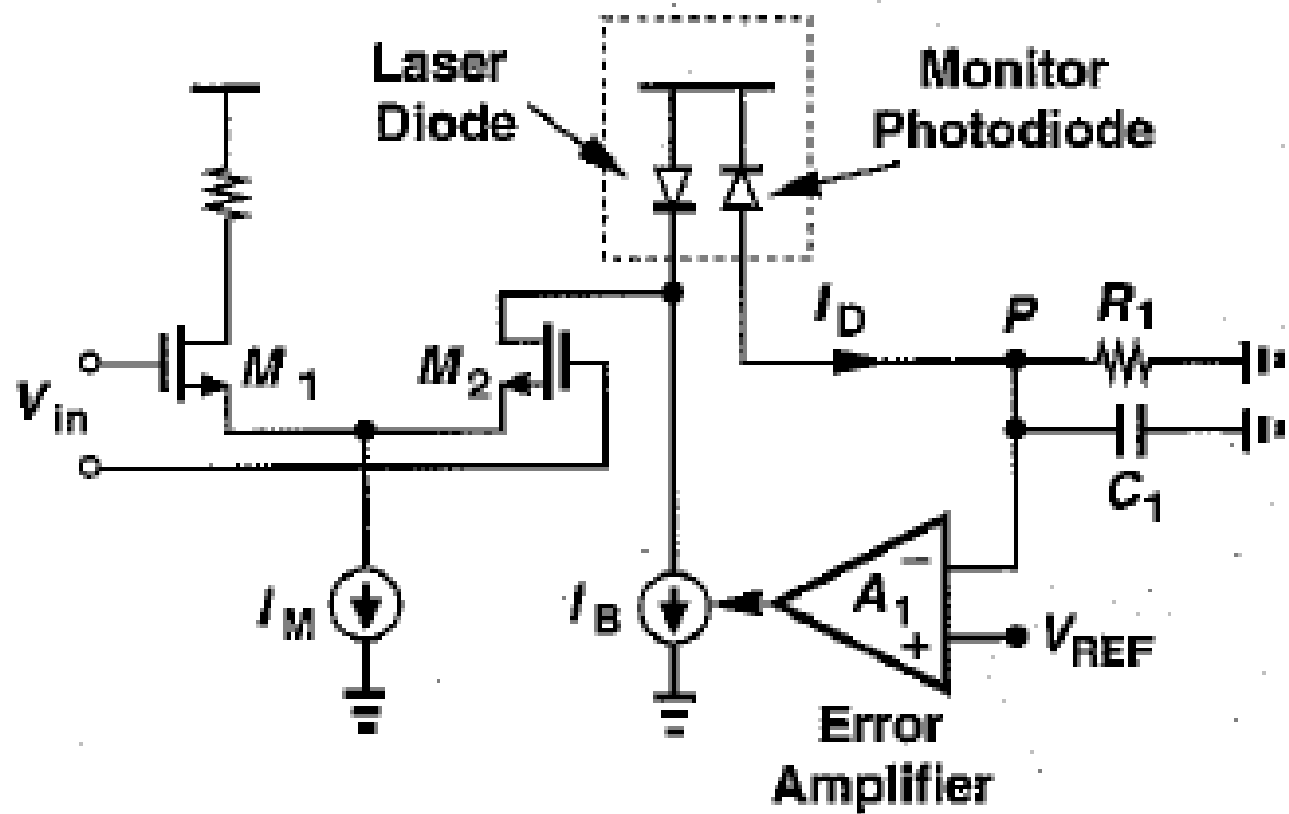
- ▶ Curentul de prag variaza cu temperatura si cu timpul
- ▶ Variatia tipica 1–2%/°C



# Cuplarea luminii în fibră

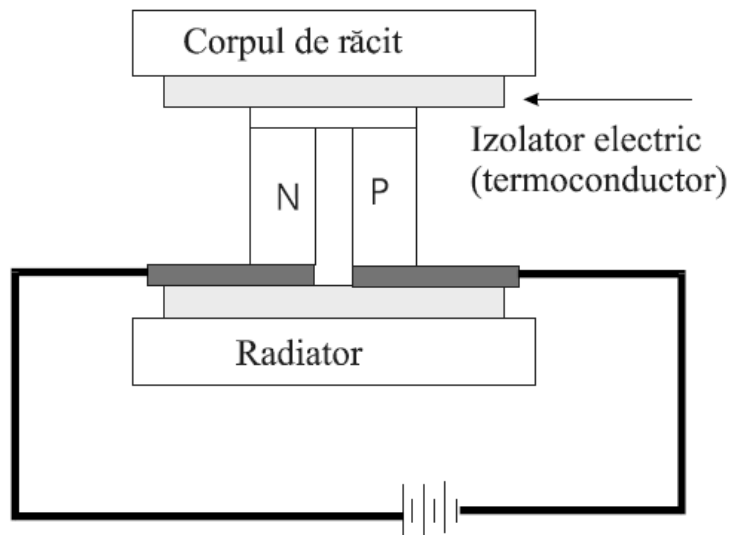


# Monitorizarea radiației de spate



# Dispozitiv termoelectric (Peltier)

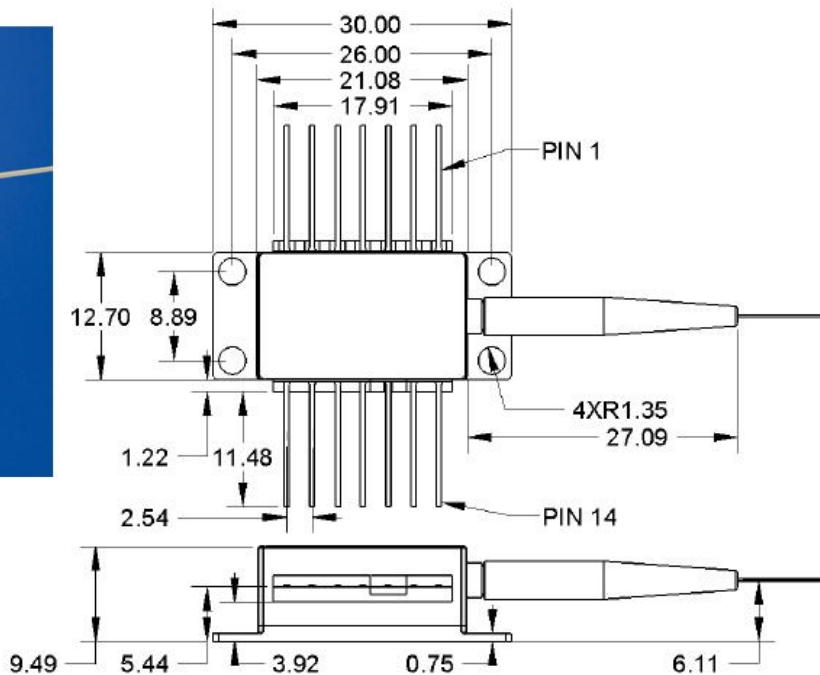
- ▶ Jonctiunea intre doua materiale conductoare diferite poate genera sau absorbi caldura in functie de sensul curentului
- ▶ Tipic se utilizeaza doua regiuni semiconductoare puternic dopate (tipic telurit de bismut) conectate electric in serie iar termic in paralel



# 1550nm DFB Laser

## Mechanical Drawing

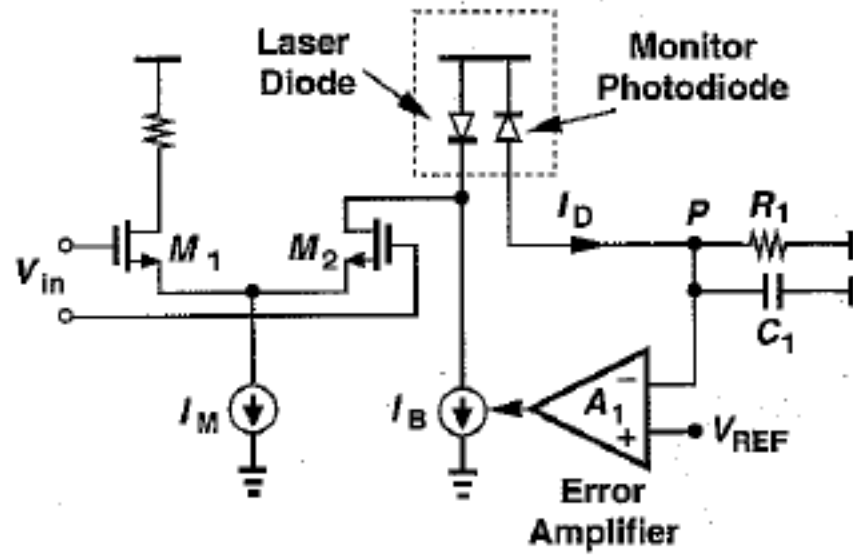
All units in mm



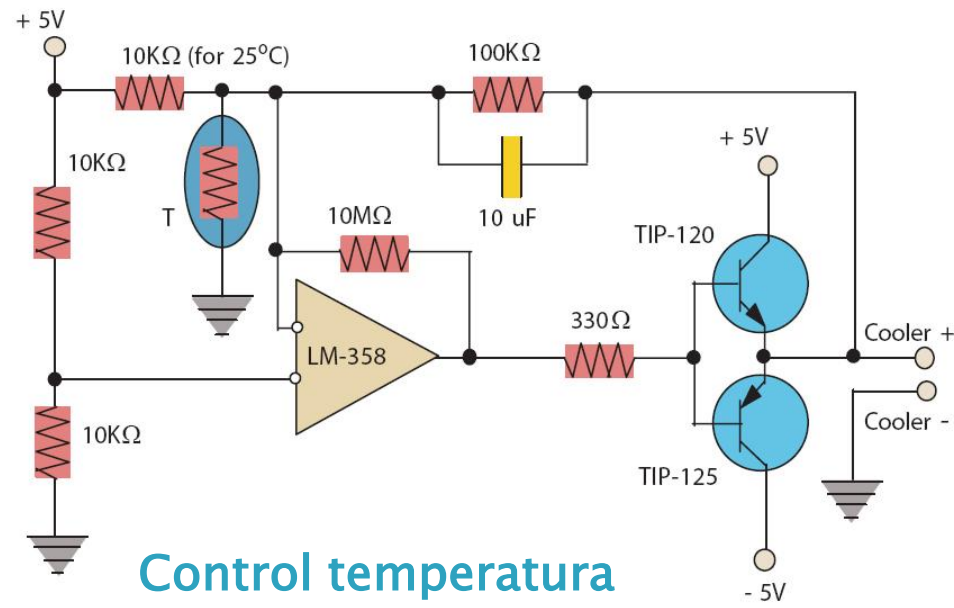
## Pin out

Pin	Description
1	Thermistor
2	Thermistor
3	Laser Cathode (Bias)
4	Monitor PD Anode
5	Monitor PD Cathode
6	TEC +
7	TEC -
8	Case GND, Laser Anode
9	Case GND, Laser Anode
10	Case GND, Laser Anode
11	Case GND, Laser Anode
12	Laser Cathode (modulation)
13	Case GND, Laser Anode
14	Case GND, Laser Anode

# Control dioda LASER

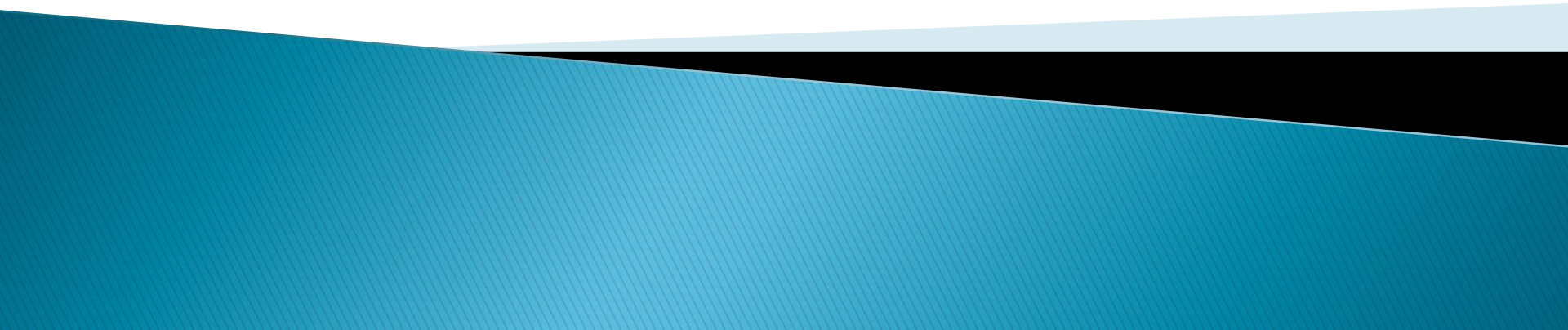


Control putere optica



Control temperatura

# Continuare



# Directivitatea radiatiei exterioare

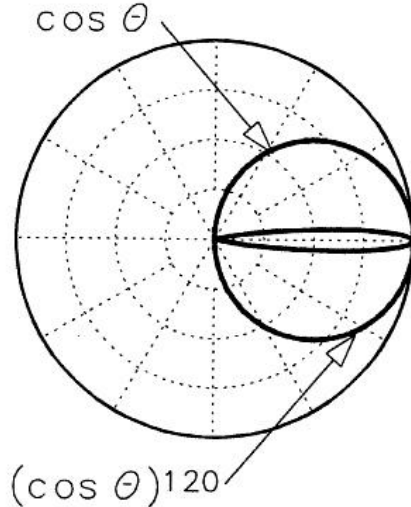
## ▶ Sursa lambertiana

$$P(\theta) = P_0 \cdot \cos \theta$$

- Eficienta cuplarii in fibra

$$\eta = \frac{P_f}{P_s} = NA^2 \quad \left/ \cdot \left( \frac{a}{r_s} \right)^2 \right.$$

$$\eta = \frac{P_f}{P_s} = NA^2 \cdot \left( \frac{a}{r_s} \right)^2 \cdot \left( \frac{g}{g+2} \right)$$



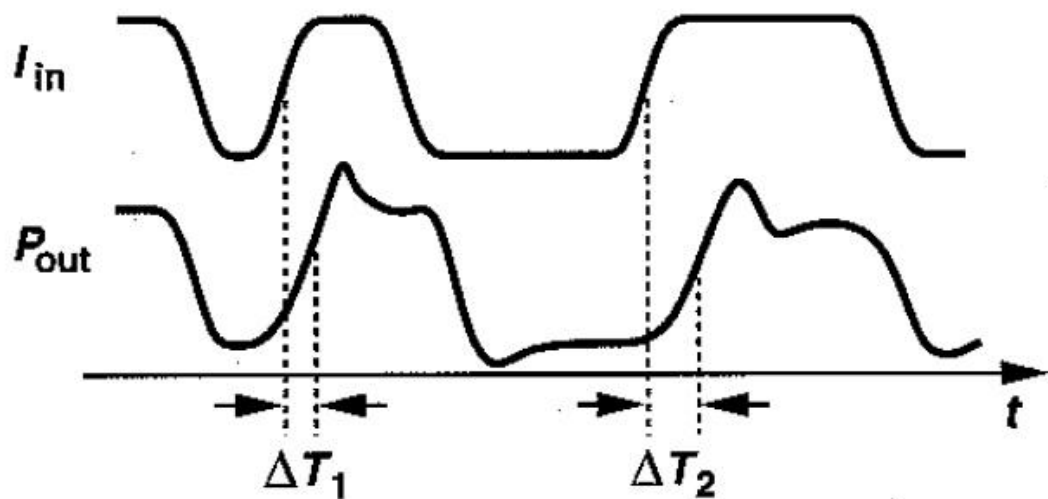
## ▶ Aproximatie Lambertiana pentru surse cu directivitate crescuta

$$P(\theta) = P_0 \cdot \cos^m \theta$$

$$\eta = \frac{P_f}{P_s} = \left( \frac{m+1}{2} \right) \cdot NA^2$$

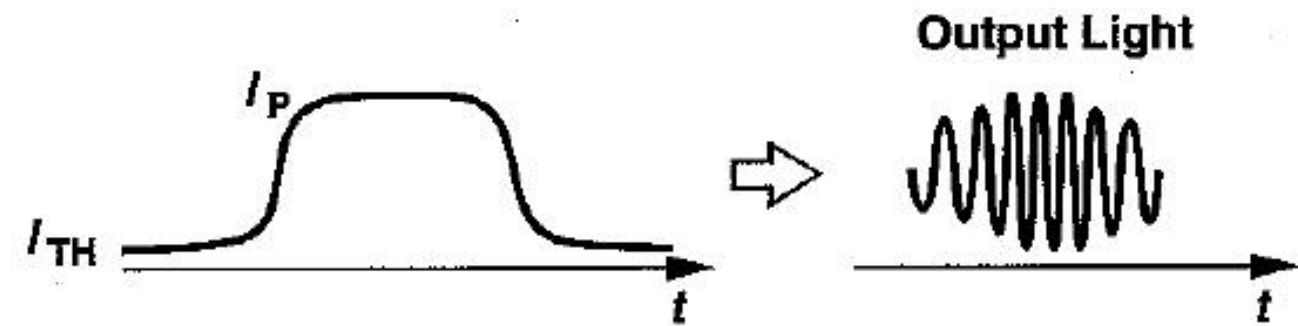
# Turn-on delay

- ▶ La alimentarea cu curent a diodei laser emisia este initial spontana, devenind stimulata dupa amorsarea acestora
- ▶ emisia spontana este un fenomen intrinsec aleator  $I_{in}$
- ▶ Intarzierea este variabila – jitter



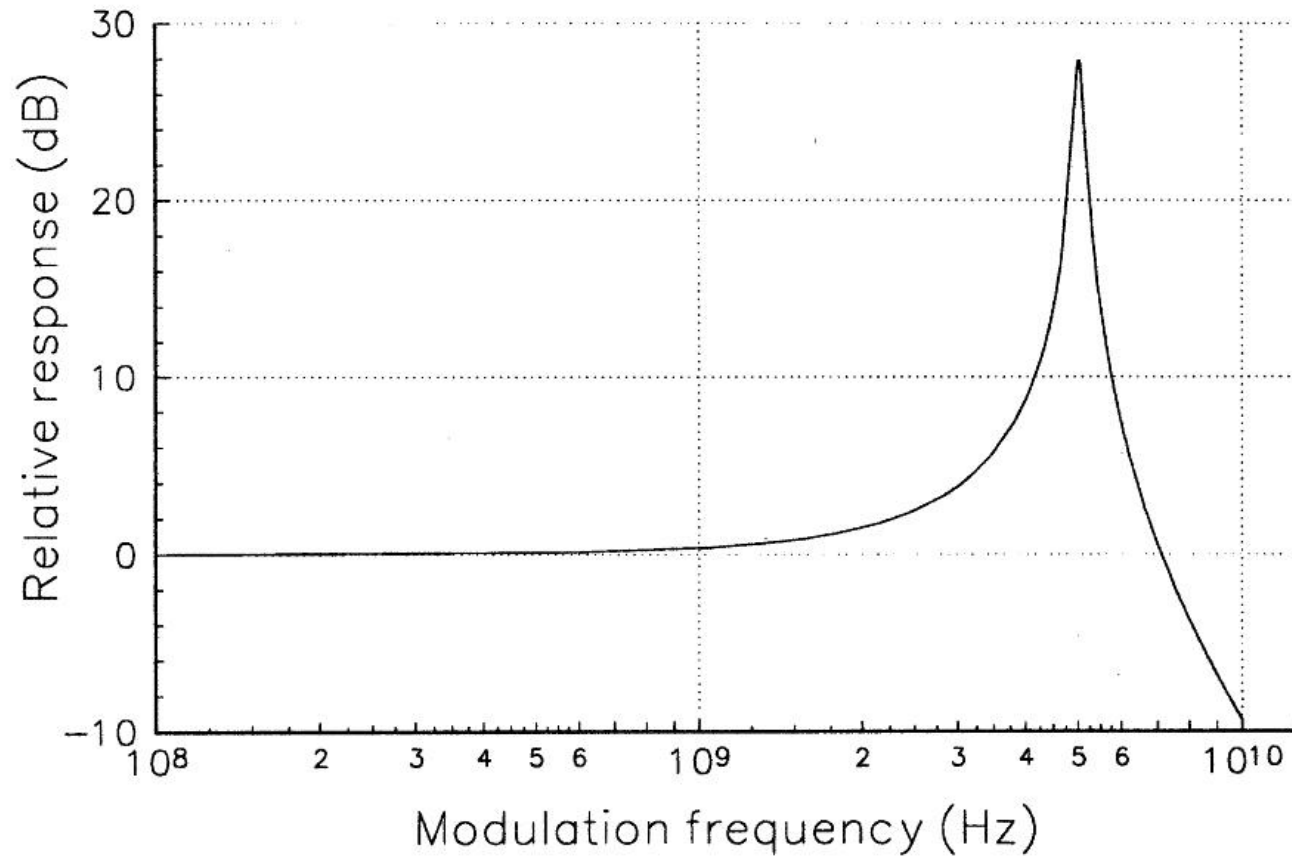
# Chirping

- ▶ Frecventa de oscilatie depinde de indicele de refractie al materialului
- ▶ Indicele de refractie depinde de concentratia de purtatori
- ▶ Cand curentul este modulat in impuls apare o modulatie a frecventei luminii cu efectul cresterii latimii spectrale a diodei (un ordin de magnitudine)



# Raspunsul unei diode laser

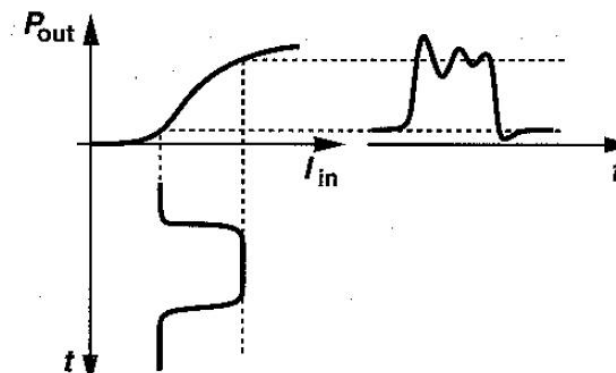
- ▶ oscilatii de relaxare - x GHz



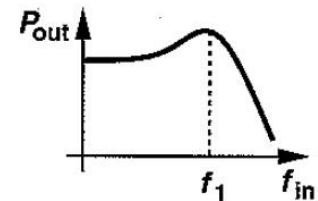
# Oscilatii de relaxare

- ▶ Generate de schimbul de energie intre electroni si fotoni
- ▶ Amorsarea emisiei stimulate duce la descresterea numarului de electroni in starea excitata, ceea ce duce la micsorarea emisiei de fotoni
- ▶ Acumularea din nou a electronilor in starea excitata duce din nou la cresterea puterii

▶  $f_1 = 1 \div 4 \text{ GHz}$



(a)



(b)

# Oscilatii de relaxare

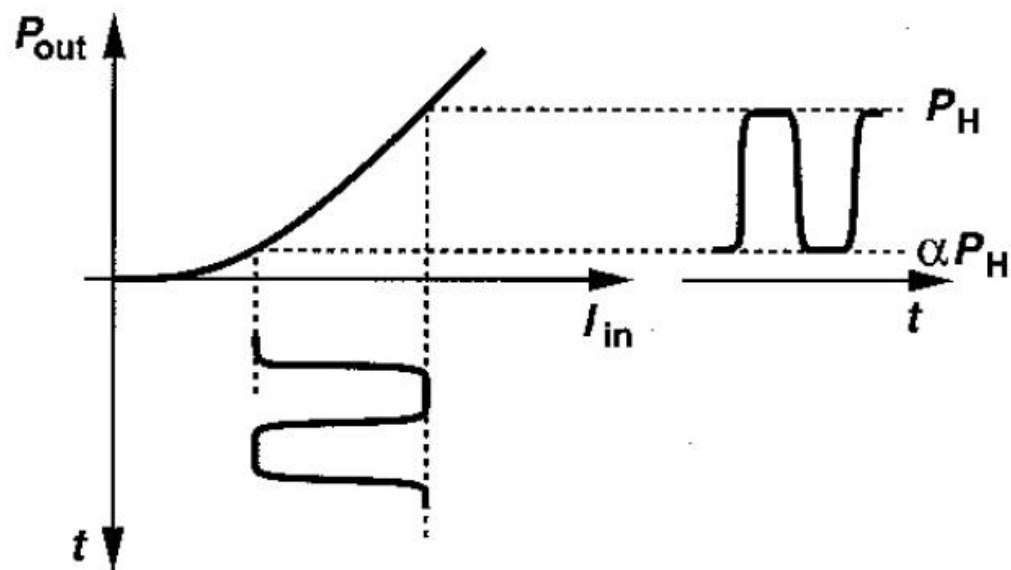
- ▶ Cresterea vitezei si minimizarea erorilor date de oscilatiile de relaxare si variatiile timpului de amorsare dioda este **partial** stinsa in timpul transmisiei unui nivel 0 logic

- ▶ Raport de stingeră

$$ER = \frac{P_H}{\alpha \cdot P_H} = \frac{1}{\alpha}$$

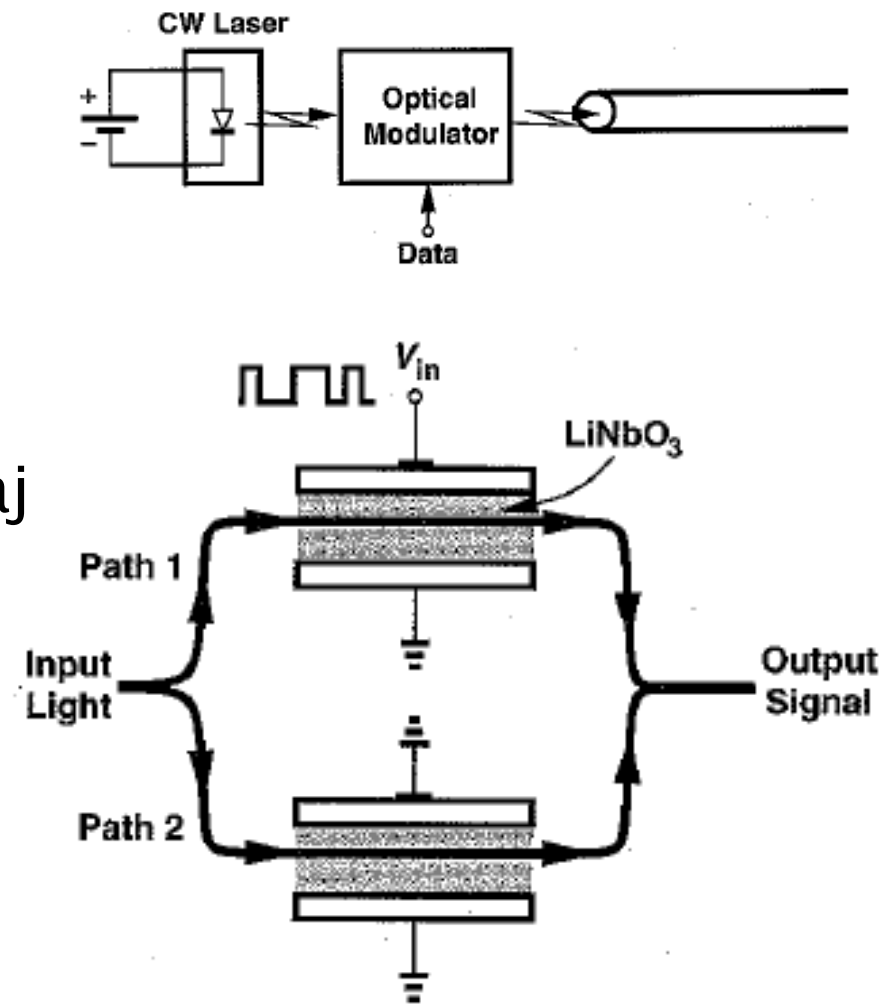
- ▶ Raportul semnal zgomot scade cu  $(1 - \alpha)$

- ▶ Tipic  $ER = 10 \div 15 \text{dB}$



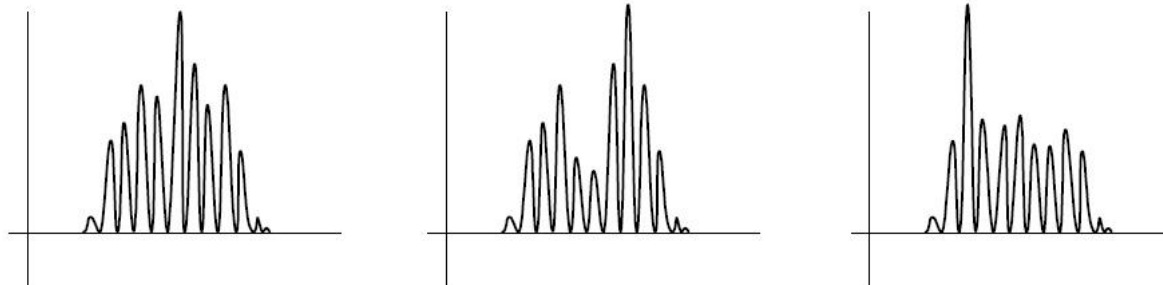
# Modulație optică

- ▶ Pentru viteze mari se preferă utilizarea emisiei continue și modularea optică a radiatiei
- ▶ În  $\text{LiNbO}_3$  viteza luminii depinde de campul electric, ceea ce permite introducerea unui defazaj egal  $\pi$
- ▶ Creste complexitatea circuitului de control
- ▶ Tensiuni de 4÷6 V necesare



# Alte caracteristici DL

- ▶ Mode hopping – salt de mod (hole burning)

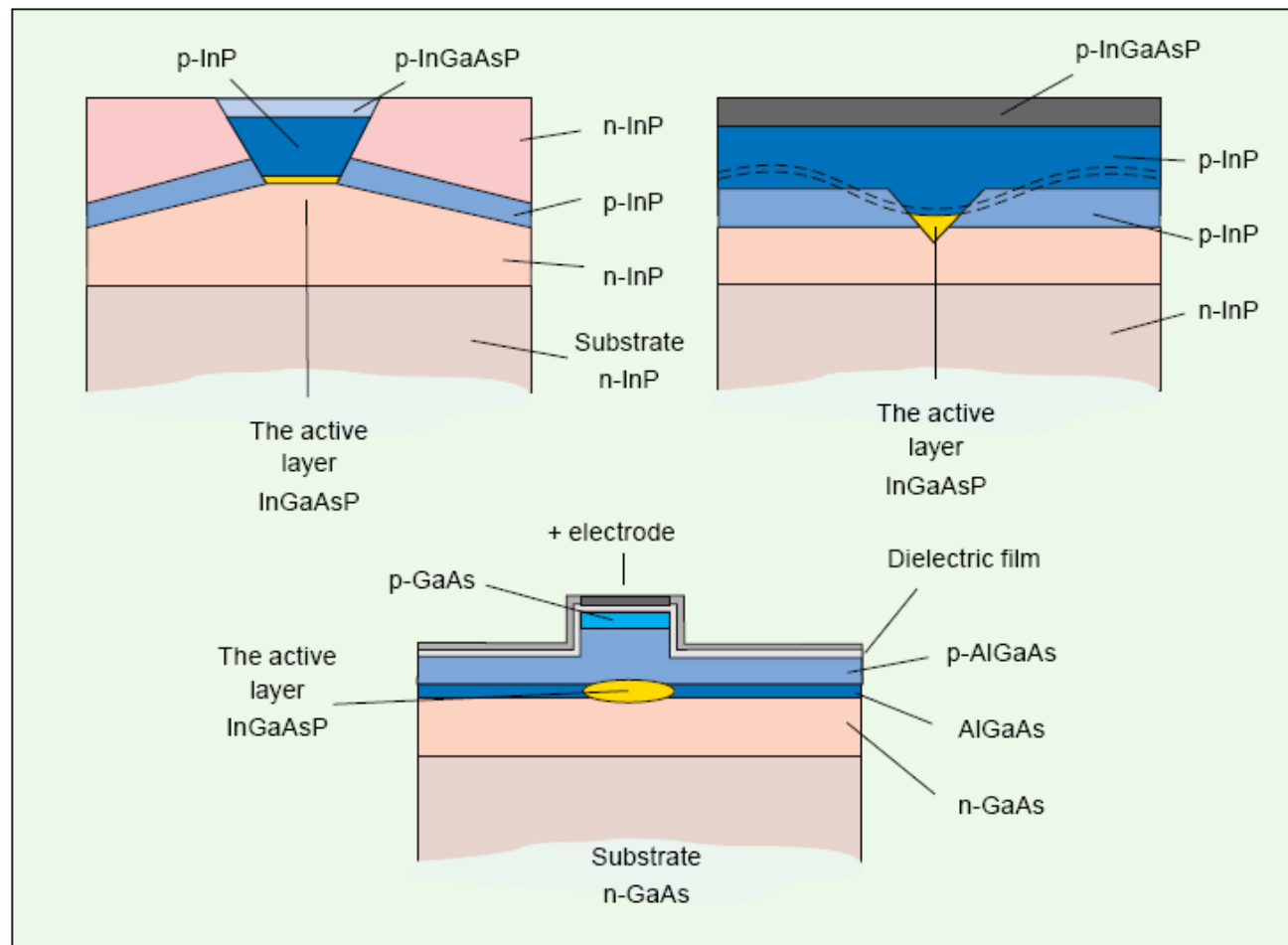


- ▶ RIN – Relative Intensity Noise (generat de emisia spontana)
- ▶ Zgomot de faza (idem) – necesitatea modulatiei in amplitudine
- ▶ Zgomot intercavitati (reflexiile din exterior in zona activa)
- ▶ Drift – variatia parametrilor cu varsta si temperatura (in special distanta intre oglinzi)

# Diode LASER cu heterojunctiune

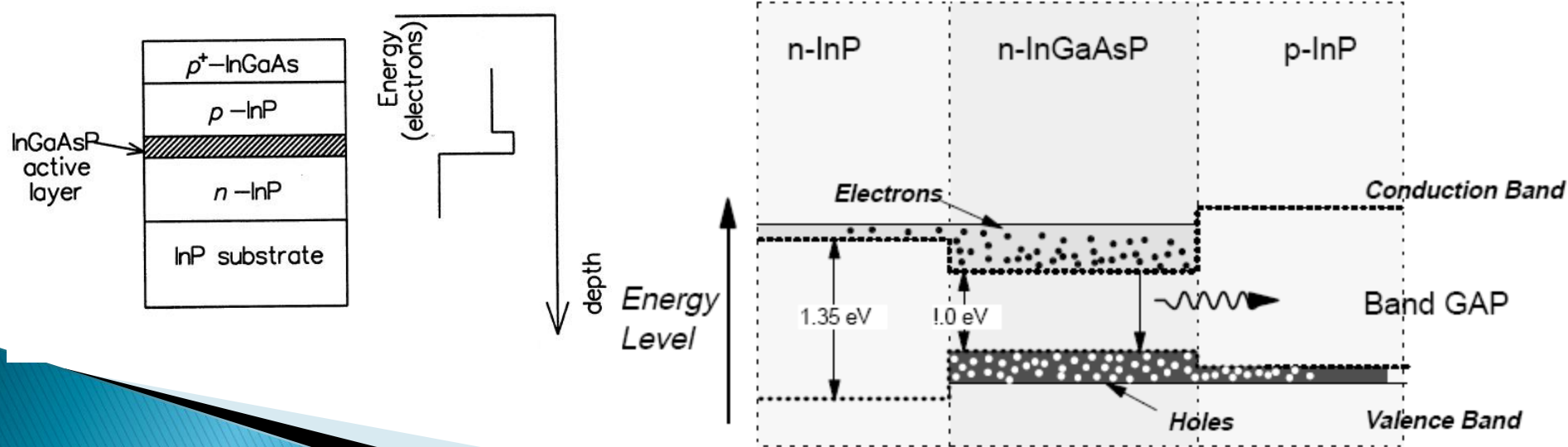
Heterojunctiune  
ingropata

Heterojunctiune  
muchie (ridge)



# Heterojunctiuni – principiu

- ▶ Concentrare verticala a purtatorilor
  - Electronii sunt atrasi din zona n in zona activa
  - O bariera energetica existenta intre zona activa si zona n concentreaza electronii in zona activa
  - Situatie similara corespunzatoare golurilor
  - Purtoatorii sunt concentrati in zona activa, crescand eficienta

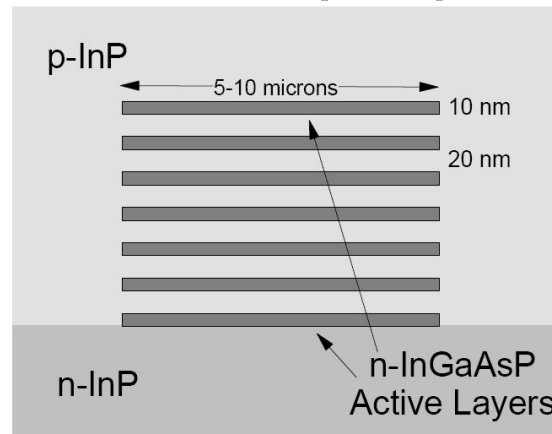


# Quantum Well Laser

- ▶ Cand lumina e pastrata in cavitati mai mici decat lungimea de unda nu mai poate fi modelata prin unda, modelul devine cuantic
- ▶ Daca inaltimea zonei active scade la 5–20 nm comportarea diodei laser se schimba
  - energia necesara pentru inversarea de populatie se reduce, deci curentul de prag scade
  - dimensiunea redusa a zonei active duce la scaderea puterii maxime

# Quantum Well Laser

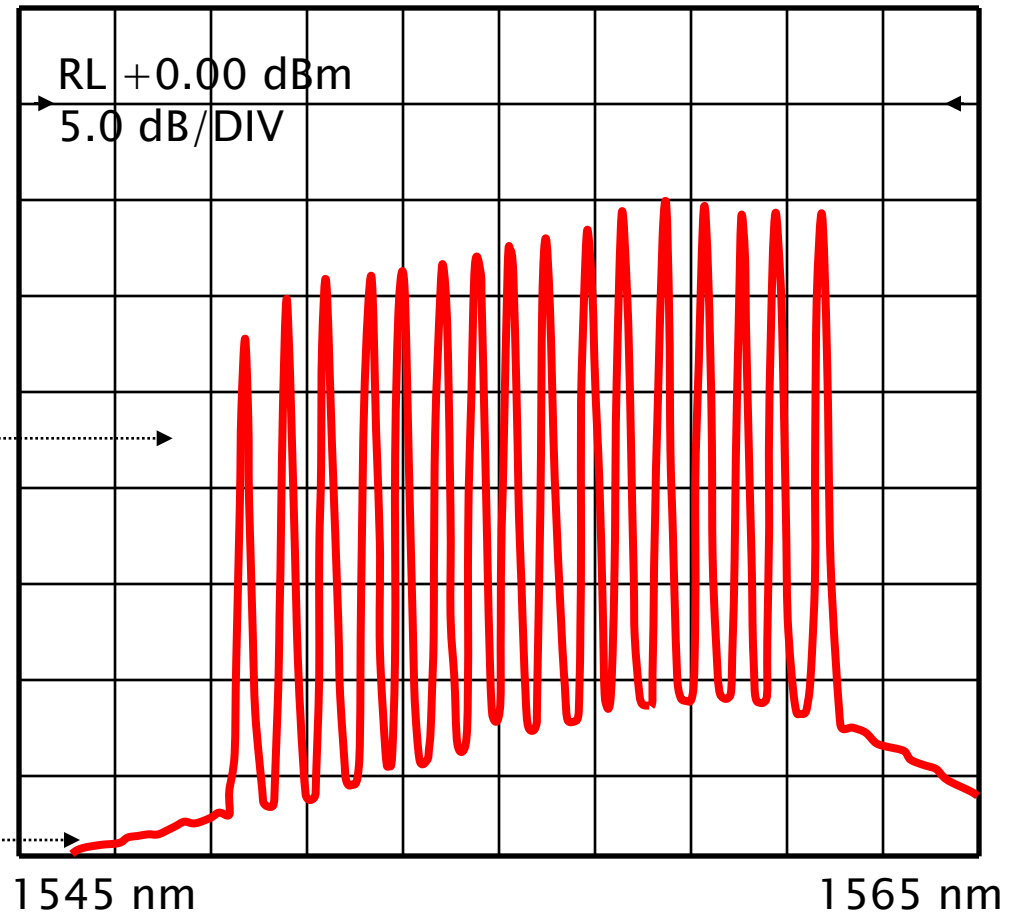
- ▶ multiple straturi subtiri suprapuse – Multiple Quantum Well



- ▶ Avantaje

- curent de prag redus
- stabilitate crescuta a frecventei la functionarea in impuls
- latime mica a liniilor spectrale
- zgomot redus

# Spectrul WDM – Wavelength Division Multiplexing



Canale: 16  
Spațiere: 0.8 nm

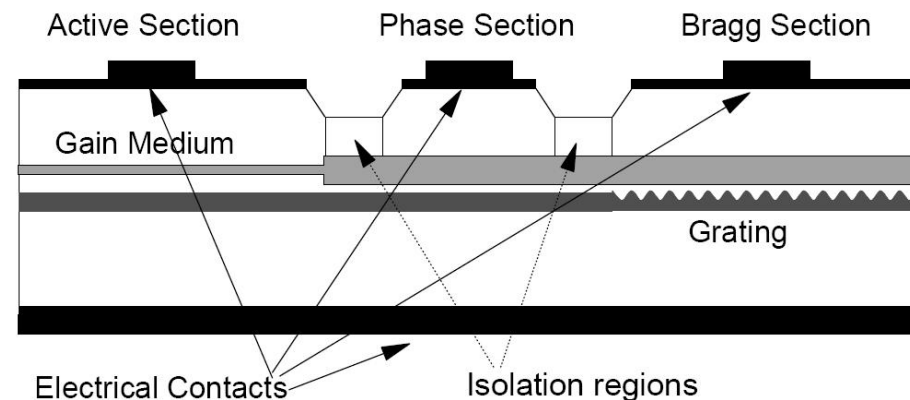
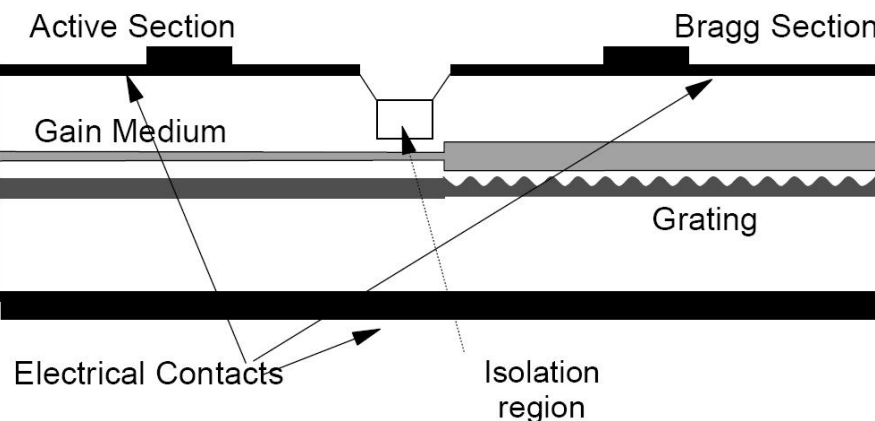
Emisie spontană  
Amplificată (ASE)

# Diode laser reglabile

## ► Necesitate

- In sistemele WDM exista necesitatea (in propuneri pentru arhitecturi viitoare de retele) pentru reglaj foarte rapid al lungimii de unda pe un anume canal – zeci de ns
- In aceleasi sisteme intervine necesitatea rutarii prin lungime de unda – timp de reglaj necesar de ordinul secundelor)
- realizarea cererilor de date – timp de reglaj de ordinul sute de  $\mu$ s
- reglarea emitorilor individuali in sistemele WDM
  - lipsa necesitatii controlului strict la productia diodelor
  - degradarea lungimii de unda in timp

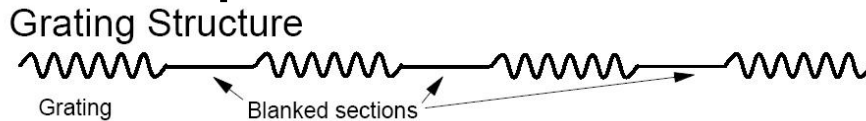
# Diode laser reglabil



- ▶ Curentul trece prin zona activa ducand la amplificarea luminii
- ▶ curentul ce parurge zona corespunzatoare reflectorului Bragg modifica indicele de refractie al acestei zone deci lungimea de unda
- ▶ zona centrala suplimentara permite reglaj fin suplimentar in jurul valorii impuse de reflectorul Bragg

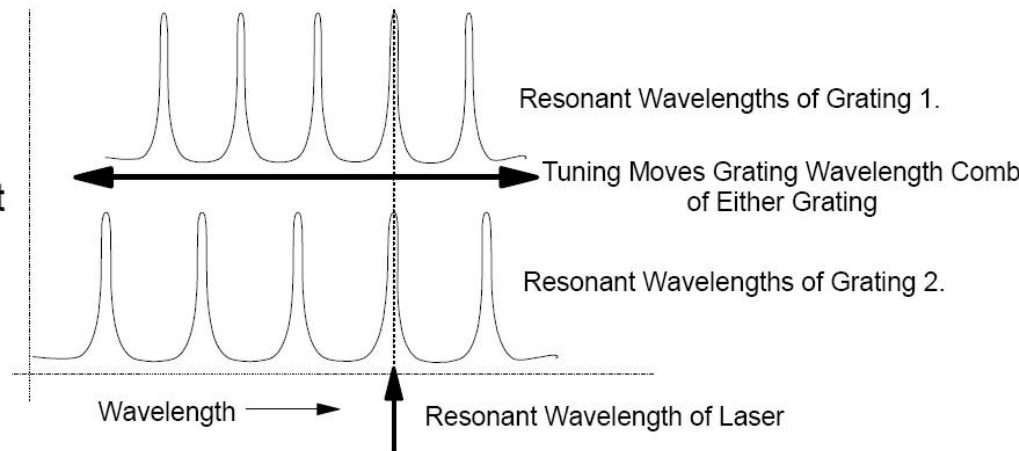
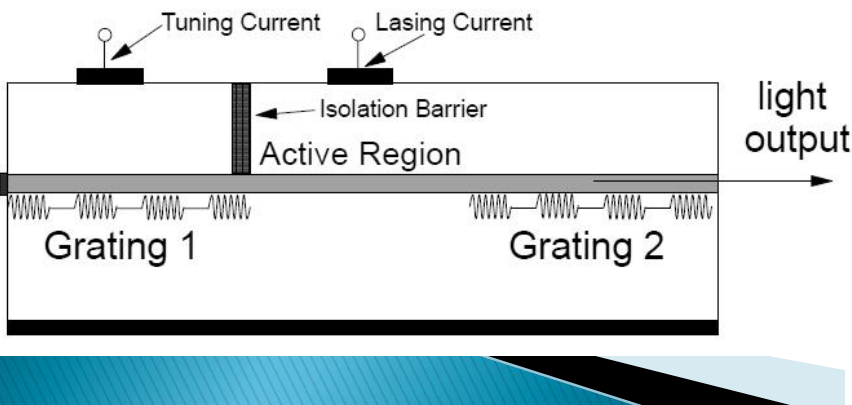
# Diode laser reglabil

- ▶ Dezavantajul metodelor anterioare e dat de limita redusa a reglajului ( $\sim 10\text{nm}$ )
- ▶ Reflectorul Bragg esantionat (periodic) produce spectru de filtrare discret

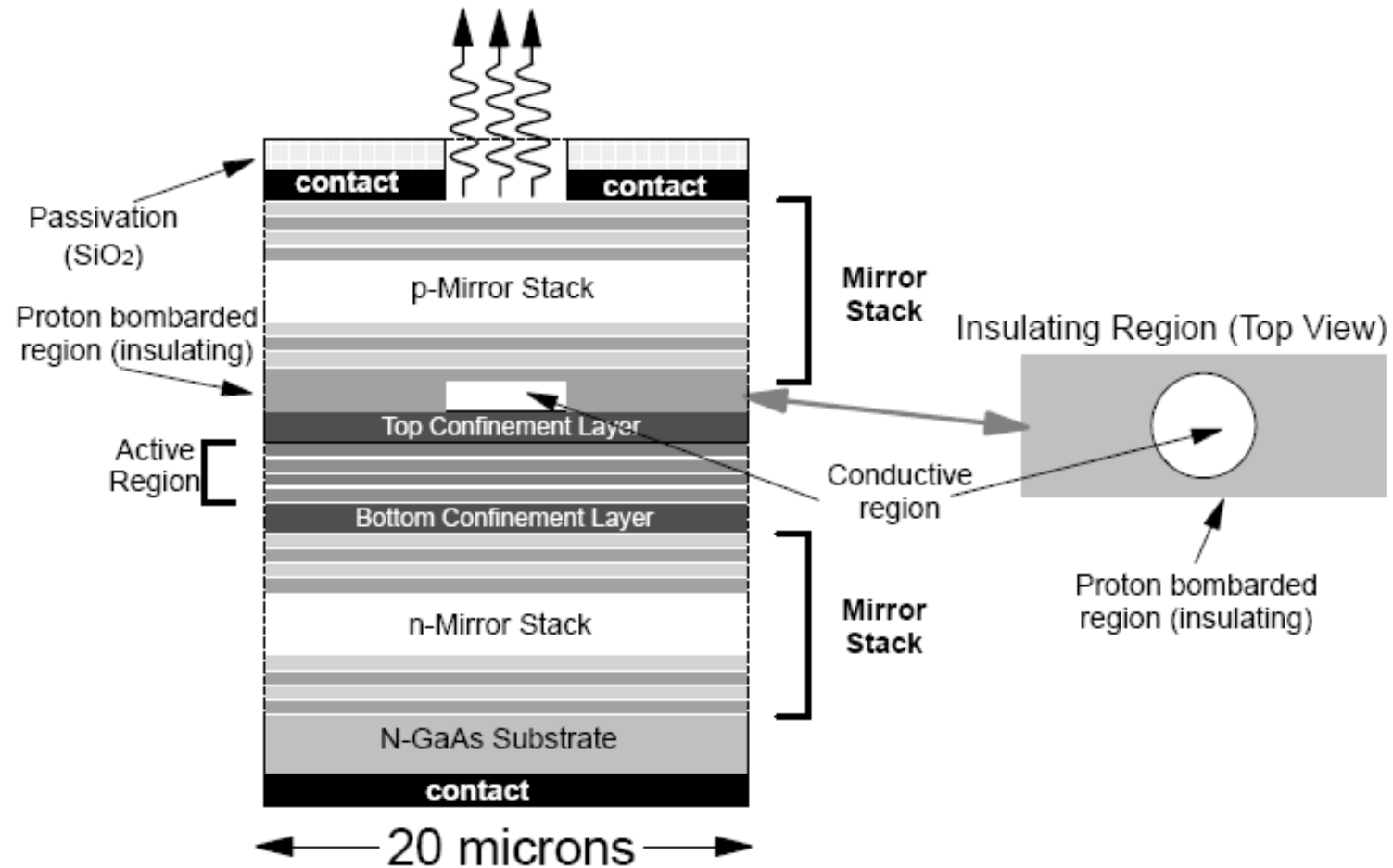


Dezavantaj :  
reglajul e discret

- ▶ Regland unul din reflectori se obtine rezonanta la suprapunerea celor doua spectre



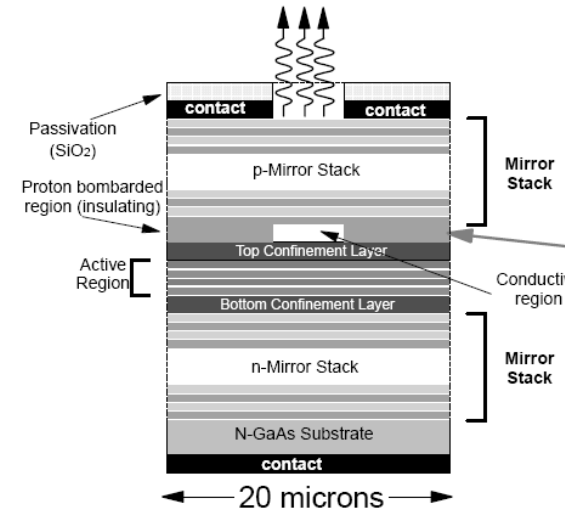
# Vertical Cavity Surface Emitting Lasers (VCSEL)



# Vertical Cavity Surface Emitting Lasers (VCSEL)

- ▶ Oglinzile pot fi realizate din straturi successive din semiconductori cu indici de refractie diferiti – reflector Bragg
- ▶ Prelucrarea laterală se rezuma la taierea materialului

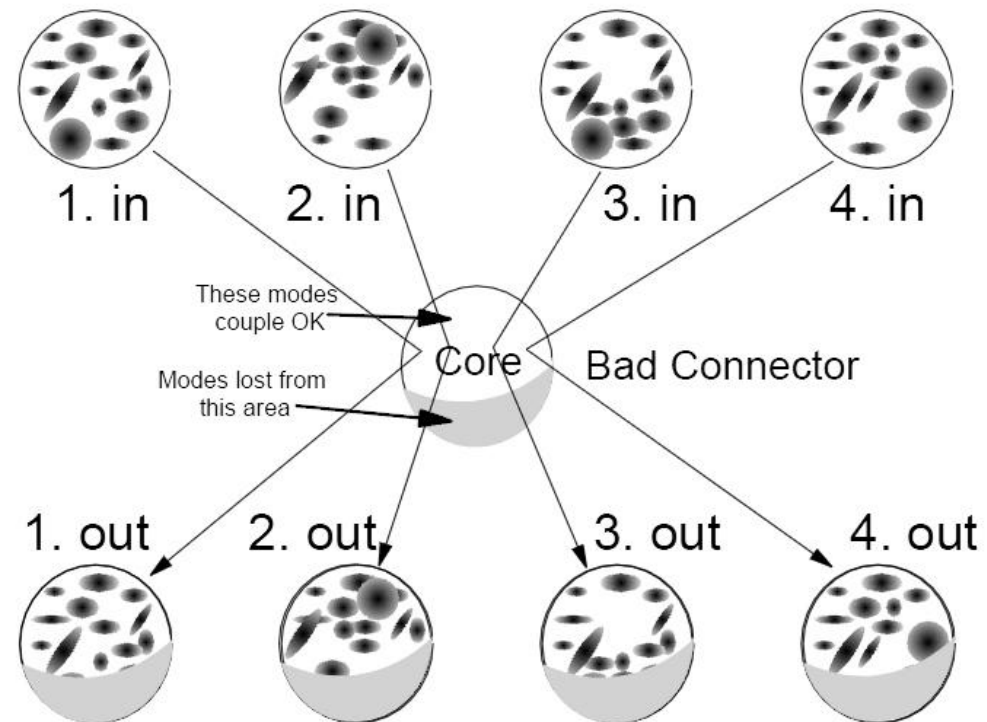
- ▶ Caracteristici
  - ▶ puteri de ordinul 1mW
  - ▶ lungimi de unda 850 si 980 nm
  - ▶ radiatie de iesire circulara cu divergenta redusa
  - ▶ Curenti de prag foarte mici (5mA) si putere disipata redusa
  - ▶ circuite de control speciale nu sunt necesare
  - ▶ Banda de modulatie mare (2.4GHz)
  - ▶ Stabilitate mare cu temperatura si durata de viata



# VCSEL

## ▶ Caracteristici

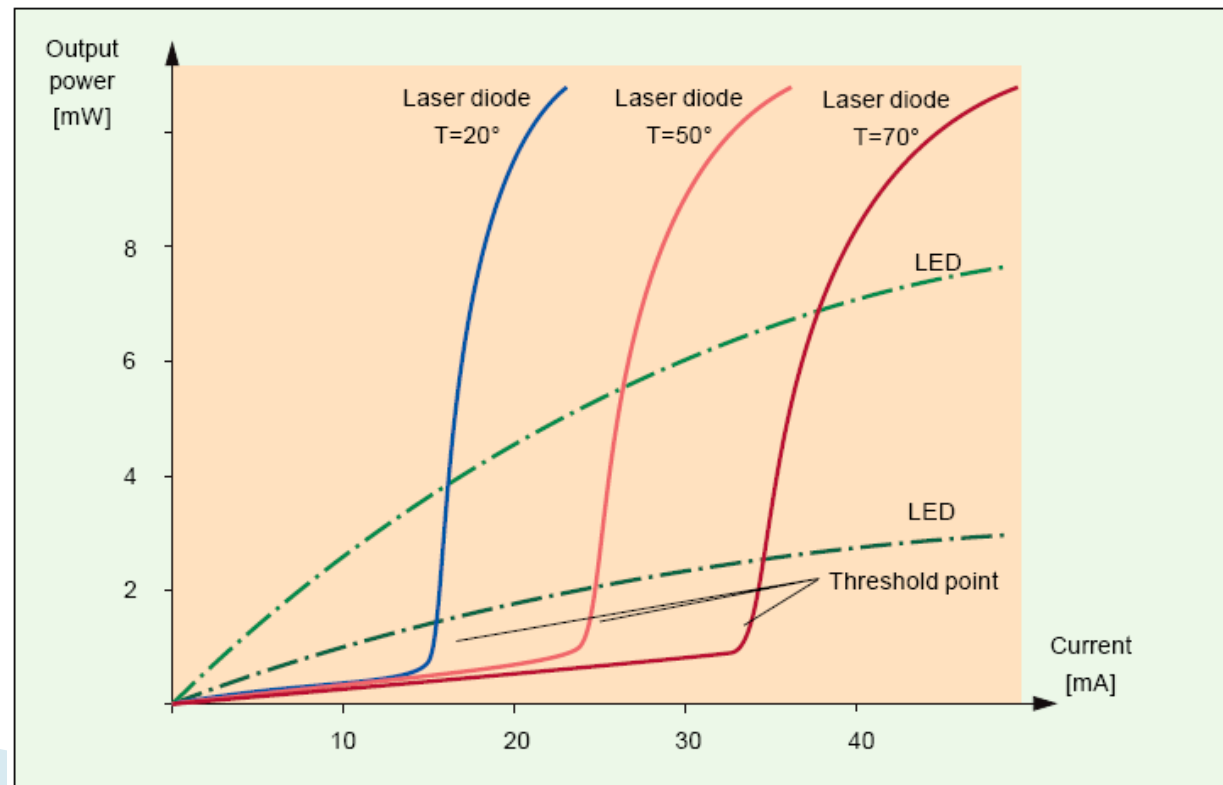
- VCSEL produce mai multe moduri transversale
  - insensibila la pierderile selective la mod din fibrele multimod (principala limitare in utilizarea diodelor laser in fibrele multimod)



# **Parametri dioda LASER**

# Temperatura si îmbatrâniere

- ▶ Curentul de prag variaza cu temperatura si cu timpul
- ▶ Variatia tipica 1–2%/°C



# Dependenta de temperatura

- Dependenta de temperatura a curentului de prag este exponentiala

$$I_{th} = I_0 \cdot e^{T/T_0}$$

- $I_0$  e o constanta determinata la temperatura de referinta

Material	Lungime de unda	$T_0$
InGaAsP	1300 nm	60÷70 K
InGaAsP	1500 nm	50÷70 K
GaAlAs	850 nm	110÷140 K

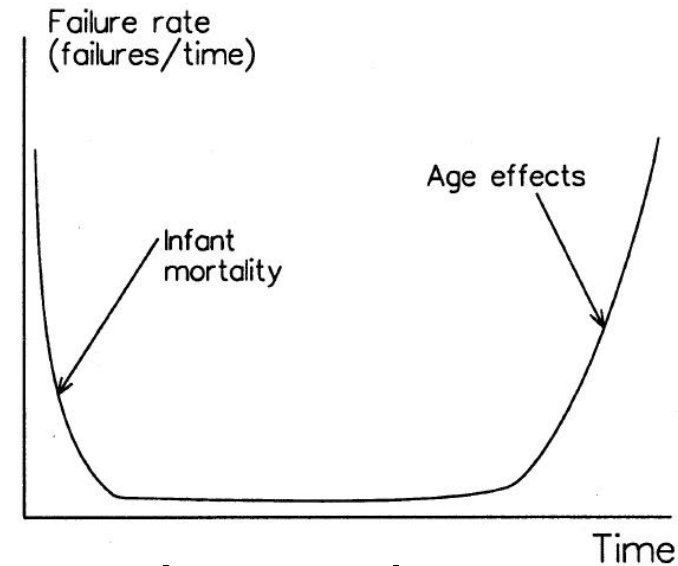
# Degradare in timp

- ▶ Puterea scade in timp exponential

$$P(t) = P_0 \cdot e^{-t/\tau_m}$$

- ▶  $\tau_m$  – timpul de viata
- ▶ Diodele laser sunt supuse la conditii extreme de lucru
  - densitati de curent in zona activa  $2000 \div 5000 \text{ A/cm}^2$
  - densitati de putere optica:  $10^5 \div 10^6 \text{ W/cm}^3$
- ▶ Diverse definitii ale timpului de viata fac comparatiile dificile

# Degradare in timp



- ▶ Cresterea curentului duce la scaderea duratei de viata
$$\tau_m \sim J^{-n}$$
  - $n = 1.5 \div 2$  (empiric)
  - dublarea curentului duce la scaderea de 3–4 ori a duratei de viata
- ▶ Cresterea temperaturii duce la scaderea duratei de viata

$$\tau_m \sim e^{E/kT}$$

- $E = 0.3 \div 0.95 \text{ eV}$  (valoarea tipica in teste  $0.7 \text{ eV}$ )
- cresterea temperaturii cu 10 grade injumatatestă durata de viata

# Parametri

- ▶ Coerenta radiatiei emise
  - LED:  $t_c \approx 0.5\text{ps}$ ,  $L_c \approx 15\mu\text{m}$
  - LASER :  $t_c \approx 0.5\text{ns}$ ,  $L_c \approx 15\text{cm}$

$$L_c = c \cdot t_c = \frac{\lambda_0^2}{\Delta\lambda}$$

- ▶ Stabilitatea frecventei
  - detectie necoerenta (modulatie in amplitudine)
  - mai ales in sistemele multicanal
- ▶ Timpul de raspuns
- ▶ Viteza, interval de reglaj

# Eficienta

- ▶ eficienta de conversie electro-optic  
(randament)

$$\eta = \frac{P_{out}(optic)}{P_{in}(electric)} = \frac{P_o}{V_f \cdot I_f} \approx \frac{r \cdot (I_f - I_{th})}{V_f \cdot I_f}$$

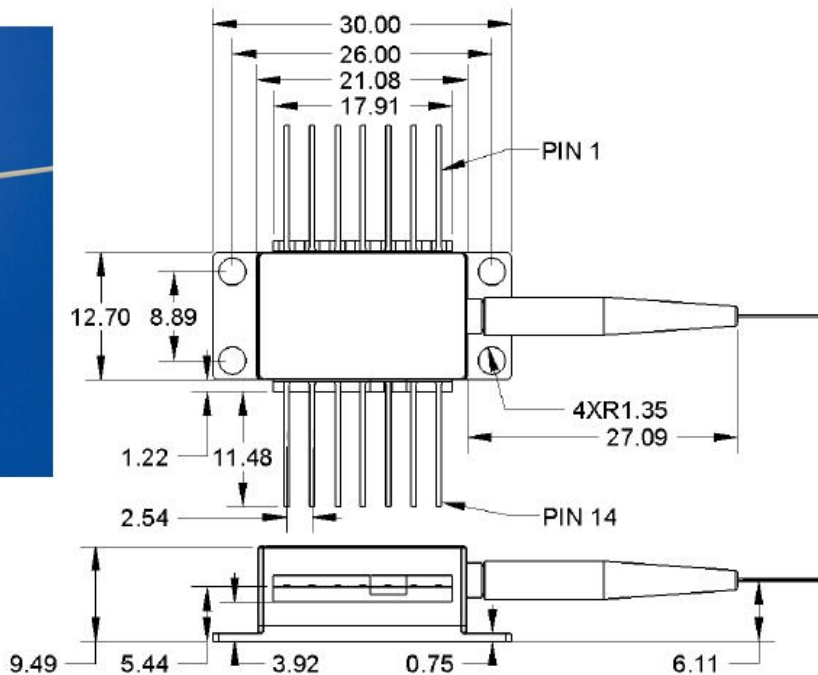
- ▶ tipic, randamente sub 10% sunt intalnite
- ▶ eficienta cuantica
  - interna
  - externa

$$\eta = \frac{n_f}{n_e} \quad \eta = \frac{\Delta P/h\nu}{\Delta I/e} = r \cdot \frac{e}{h\nu}$$

# 1550nm DFB Laser

## Mechanical Drawing

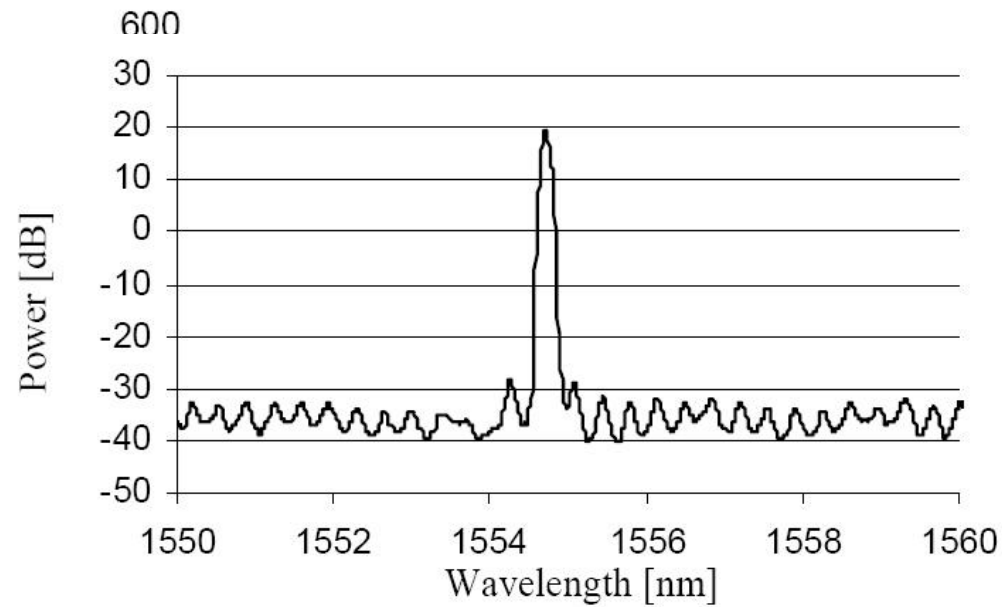
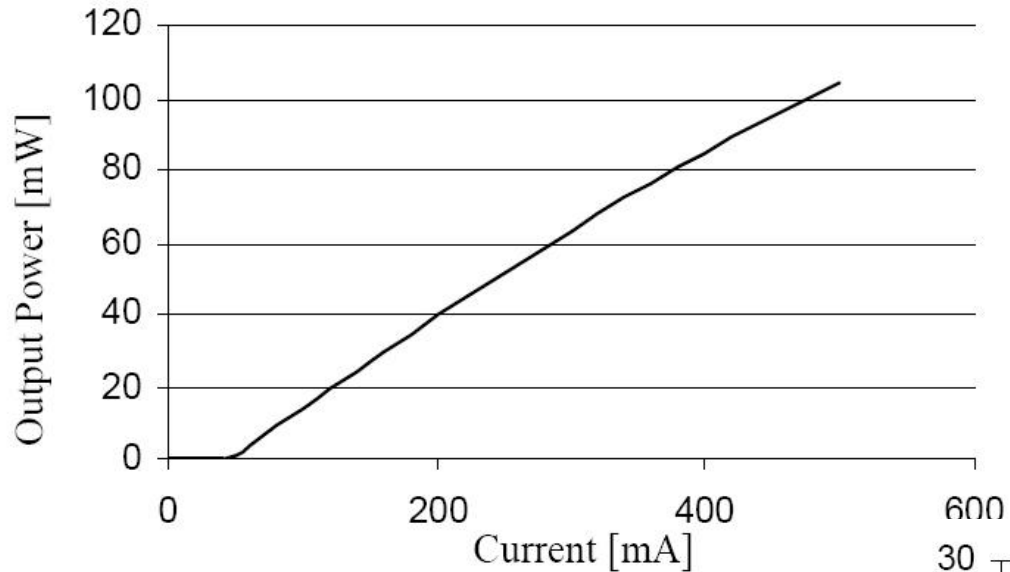
All units in mm



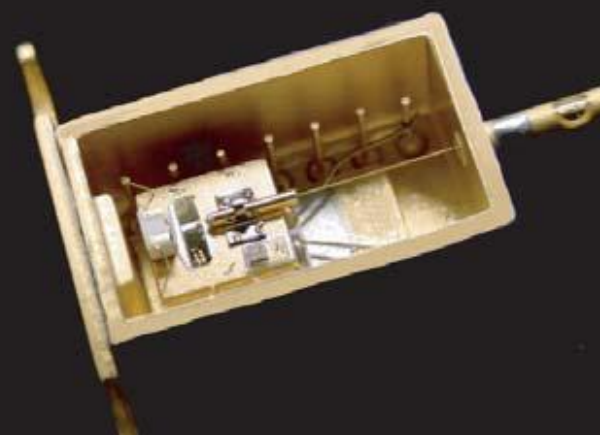
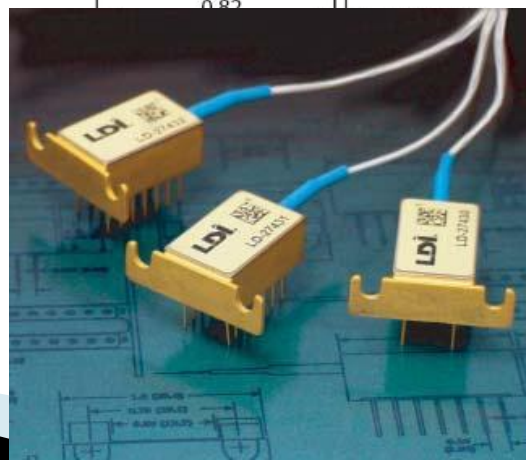
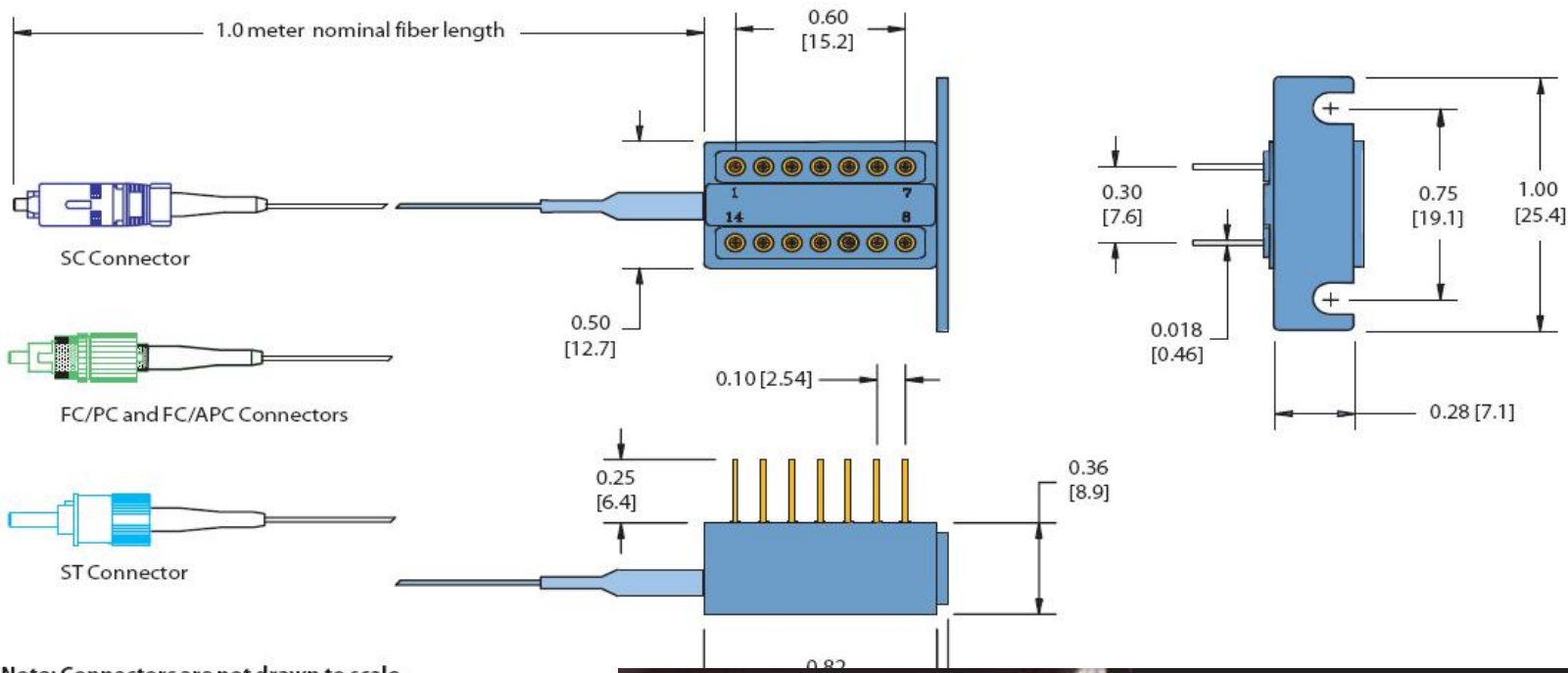
## Pin out

Pin	Description
1	Thermistor
2	Thermistor
3	Laser Cathode (Bias)
4	Monitor PD Anode
5	Monitor PD Cathode
6	TEC +
7	TEC -
8	Case GND, Laser Anode
9	Case GND, Laser Anode
10	Case GND, Laser Anode
11	Case GND, Laser Anode
12	Laser Cathode (modulation)
13	Case GND, Laser Anode
14	Case GND, Laser Anode

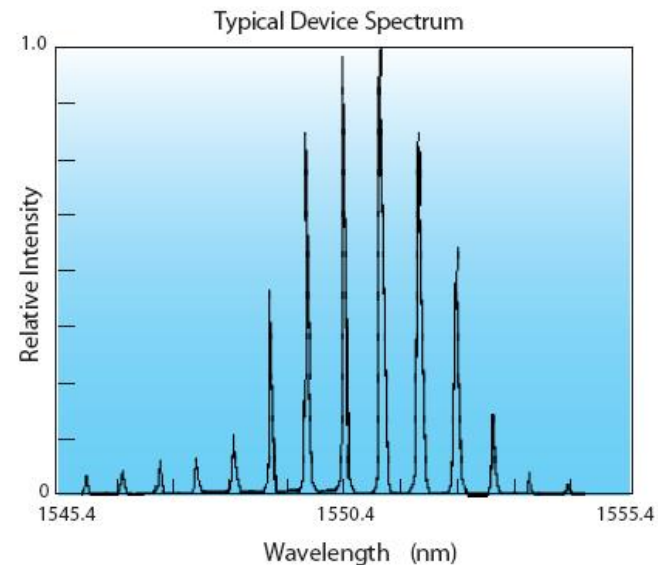
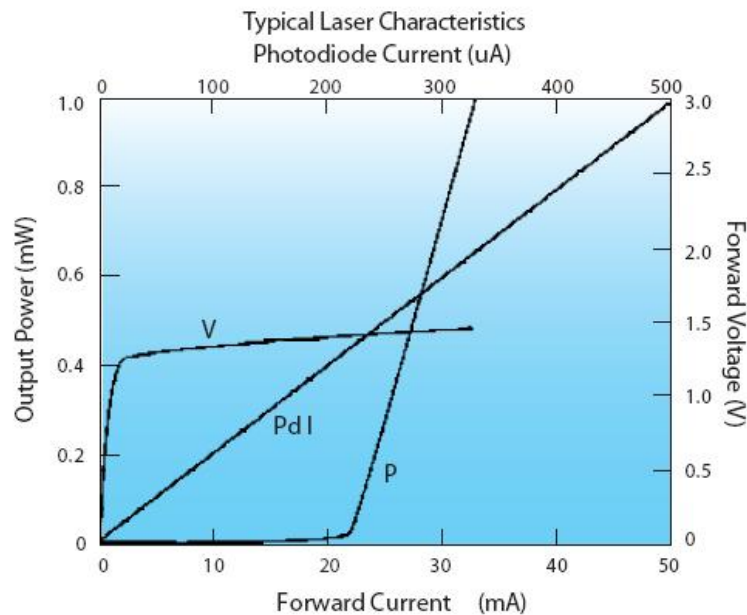
# 1550nm DFB Laser



# 1550nm MQW Laser

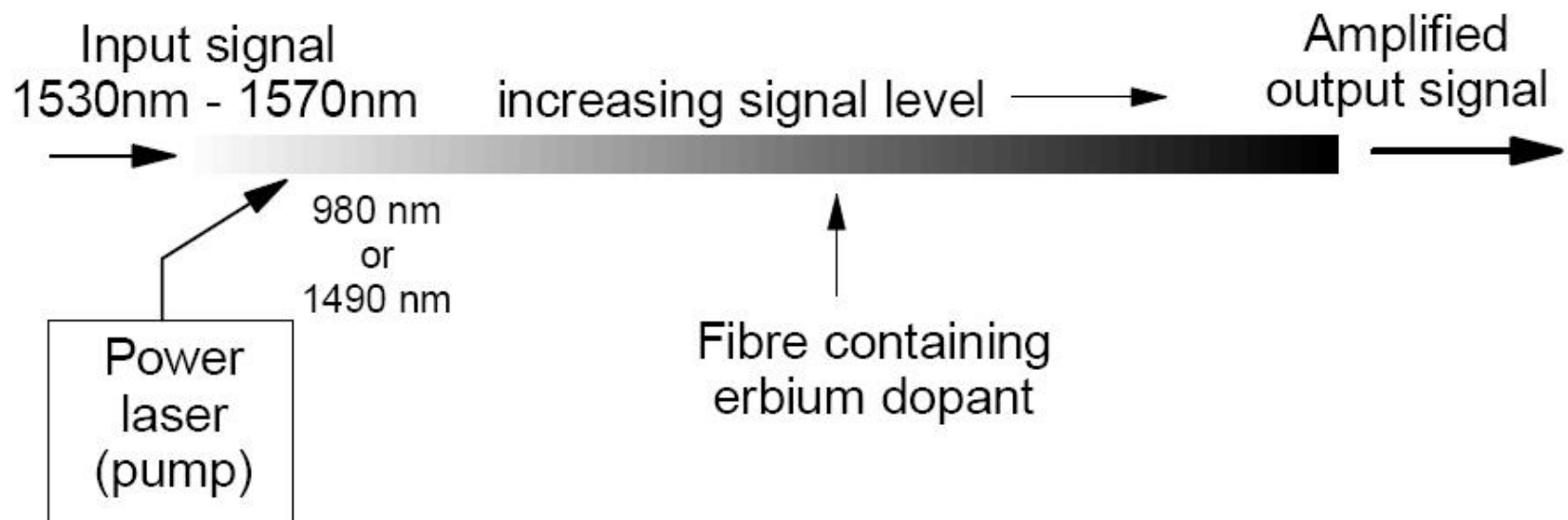


# 1550nm MQW Laser

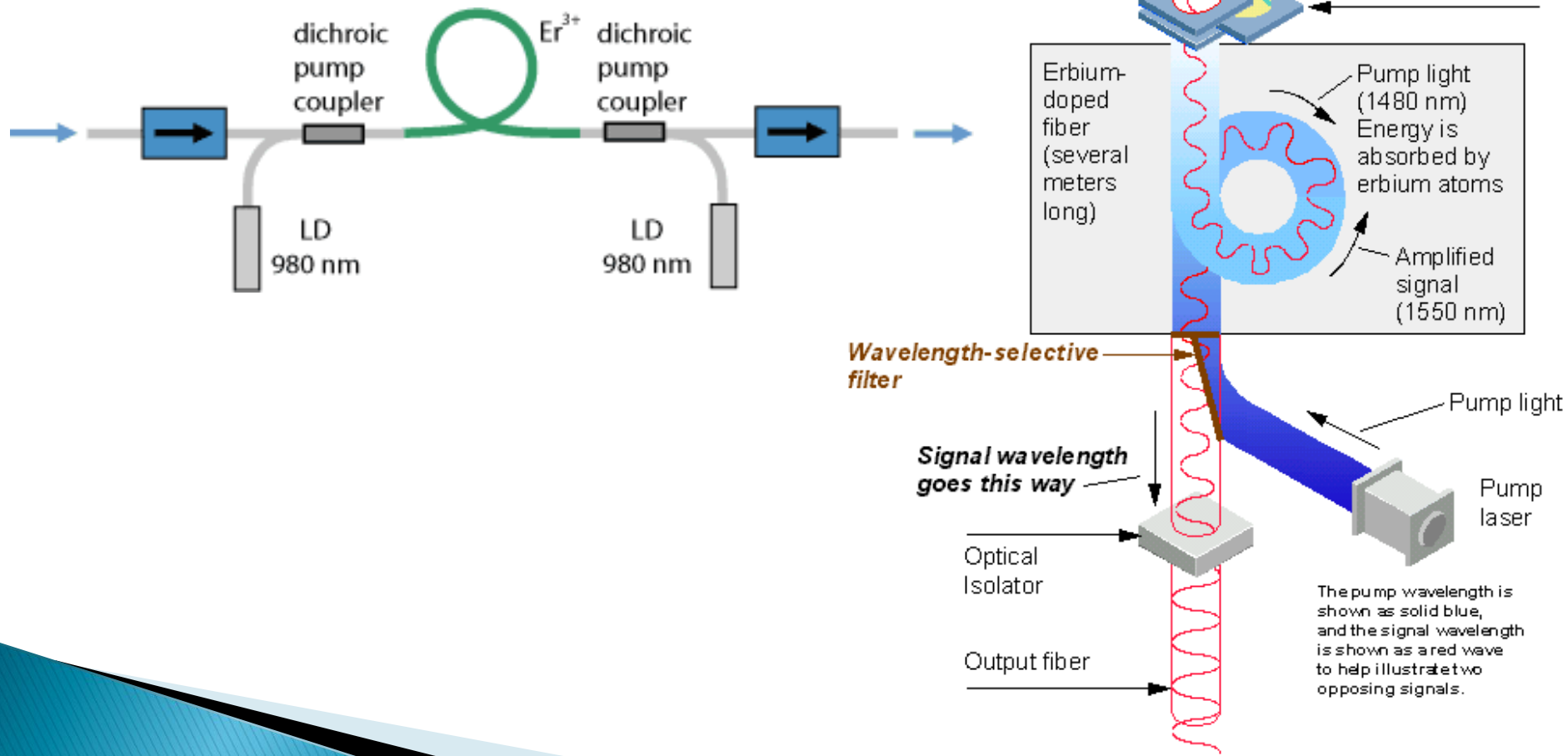


# EDFA

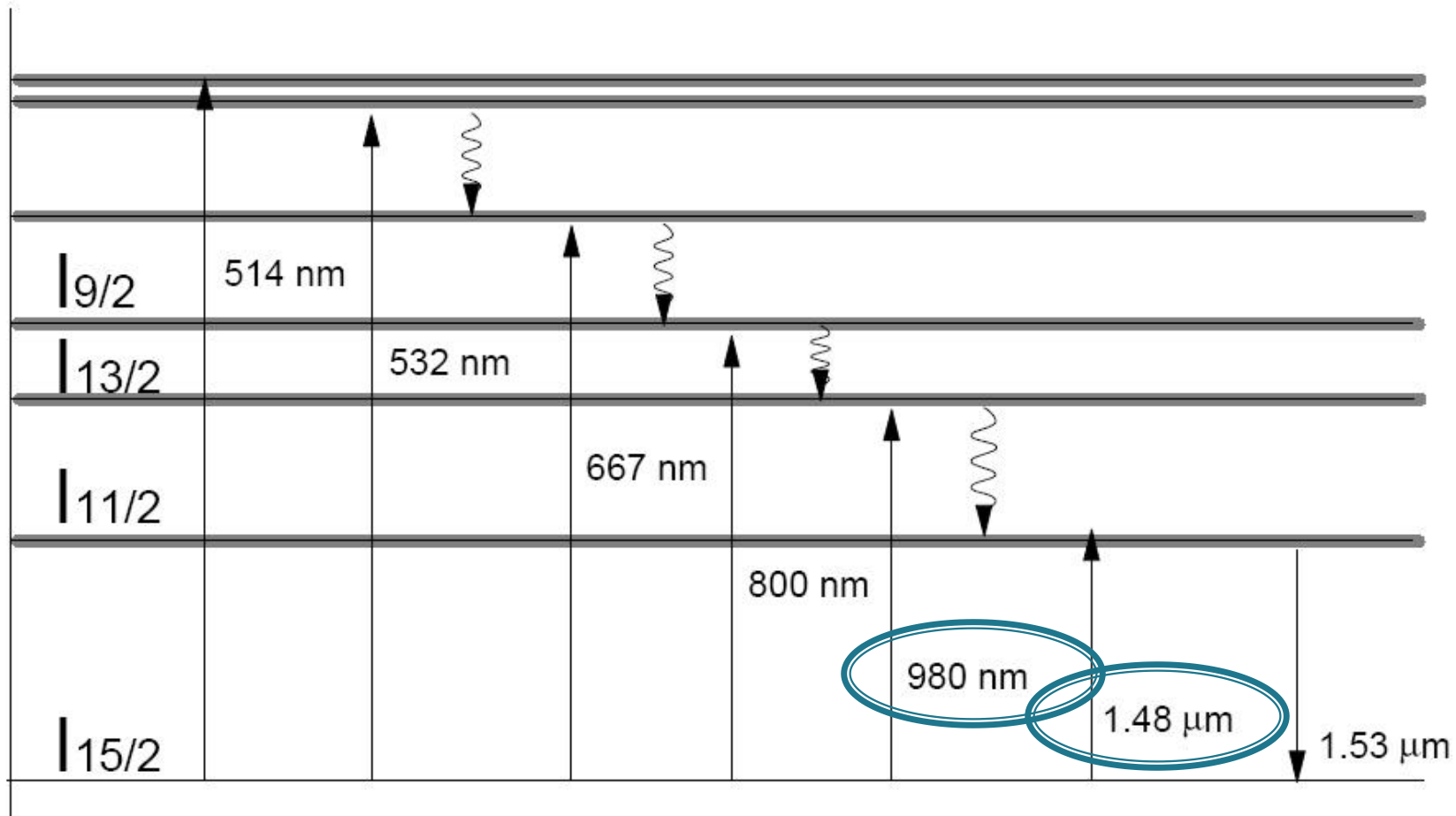
## ► Erbium Dopped Fiber Amplifier



# EDFA

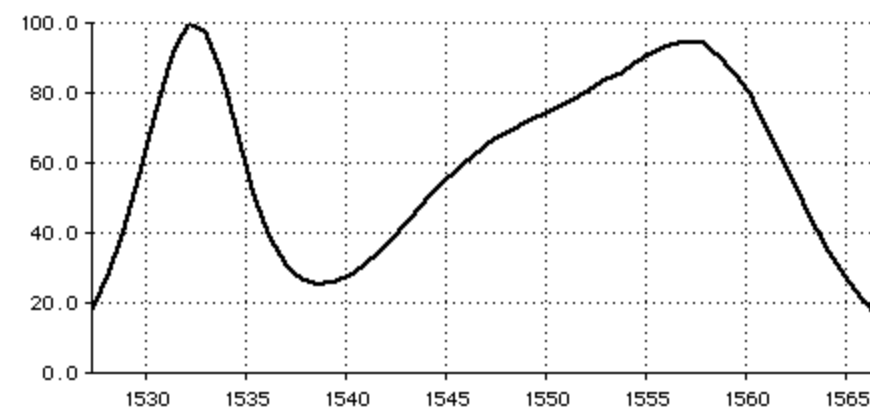
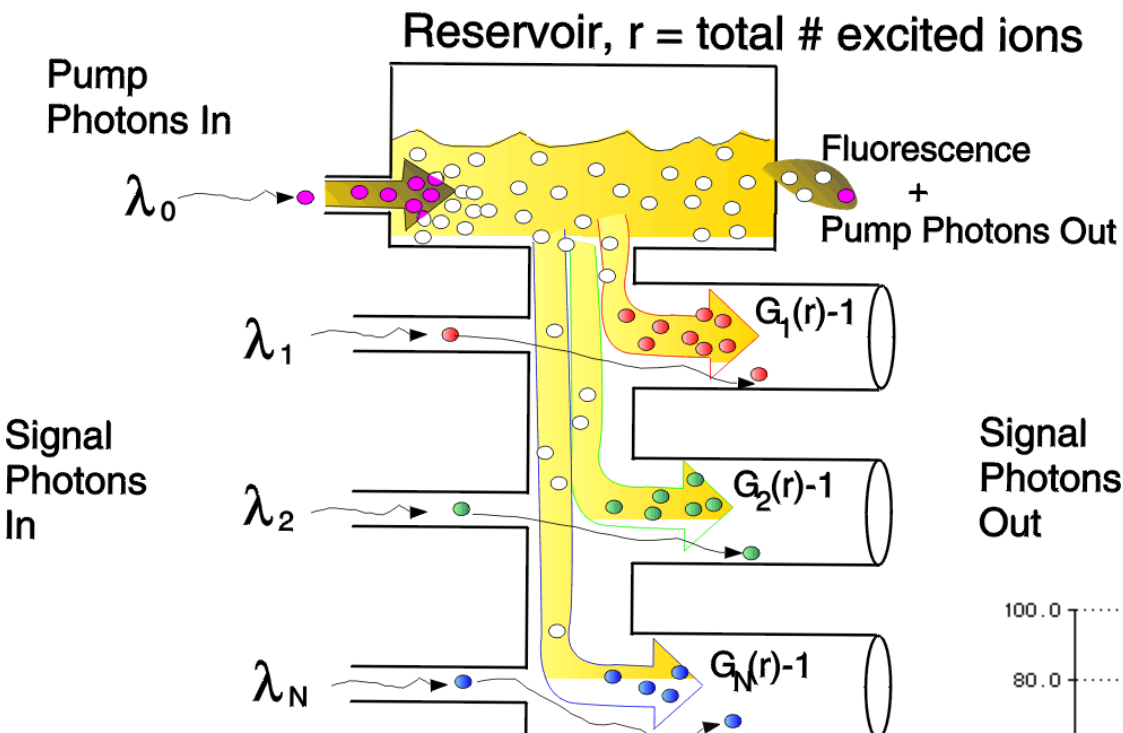


# EDFA



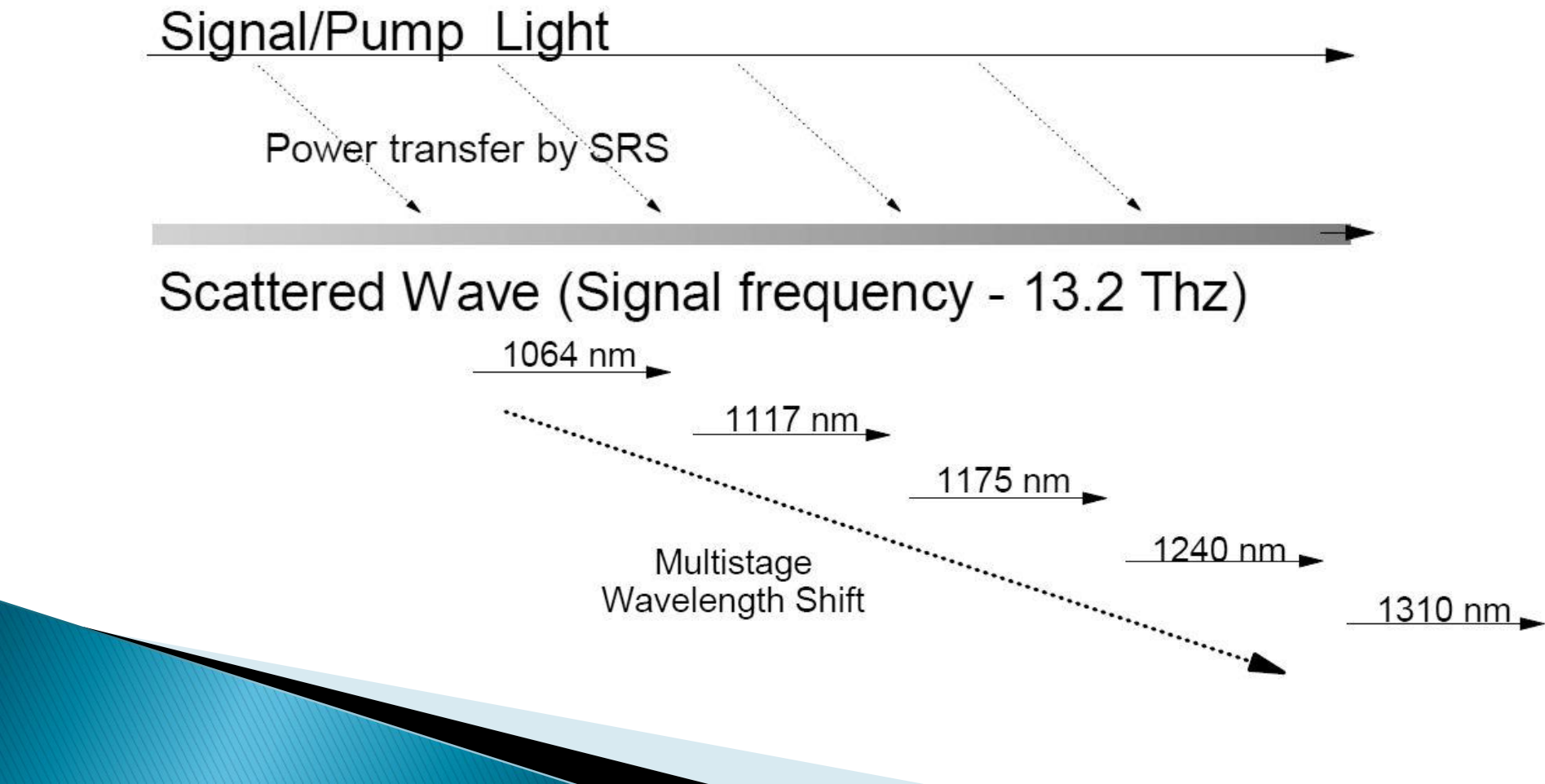
# EDFA

## How to think of an EDFA

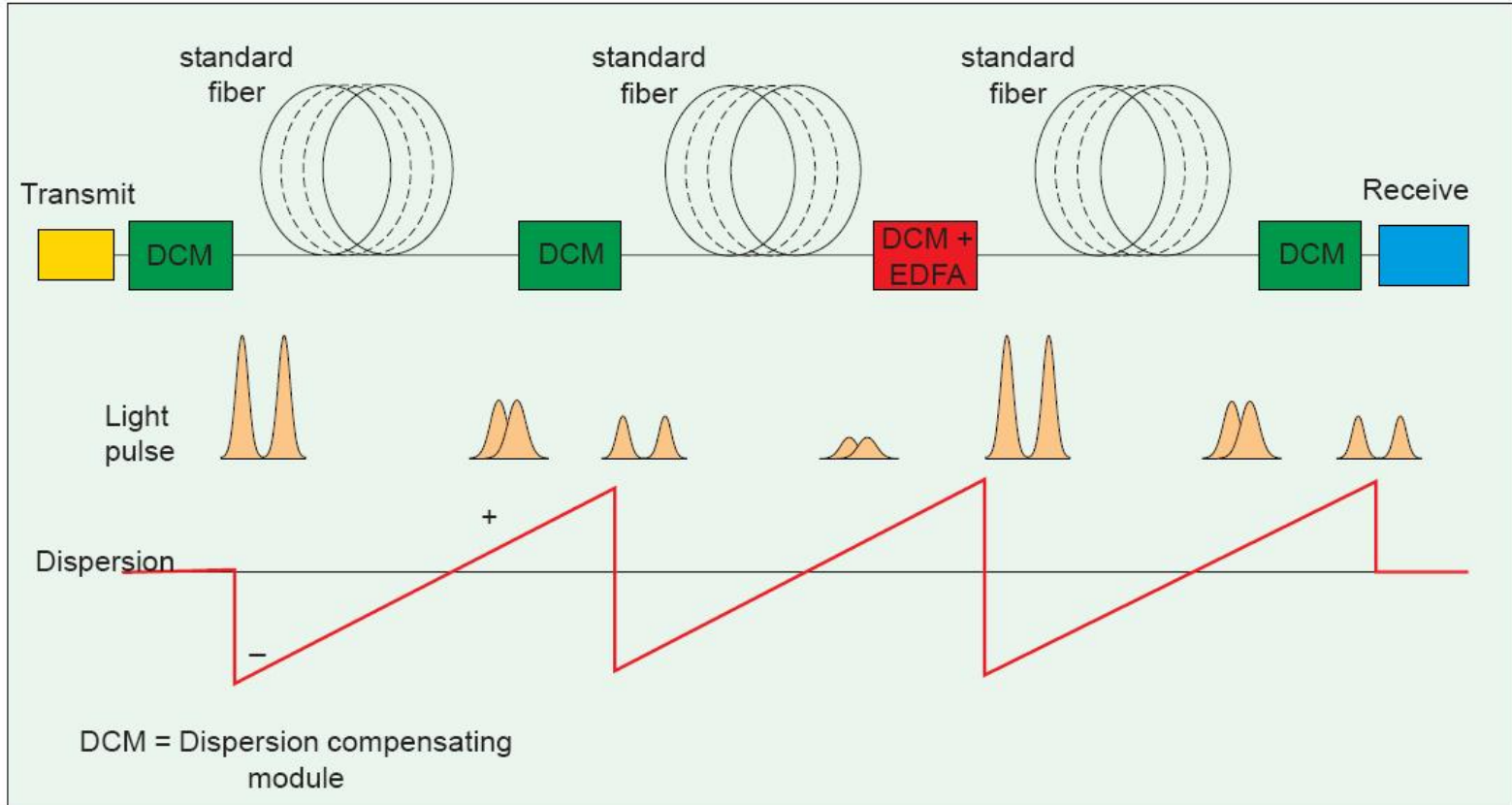


# Amplificator cu efect Raman

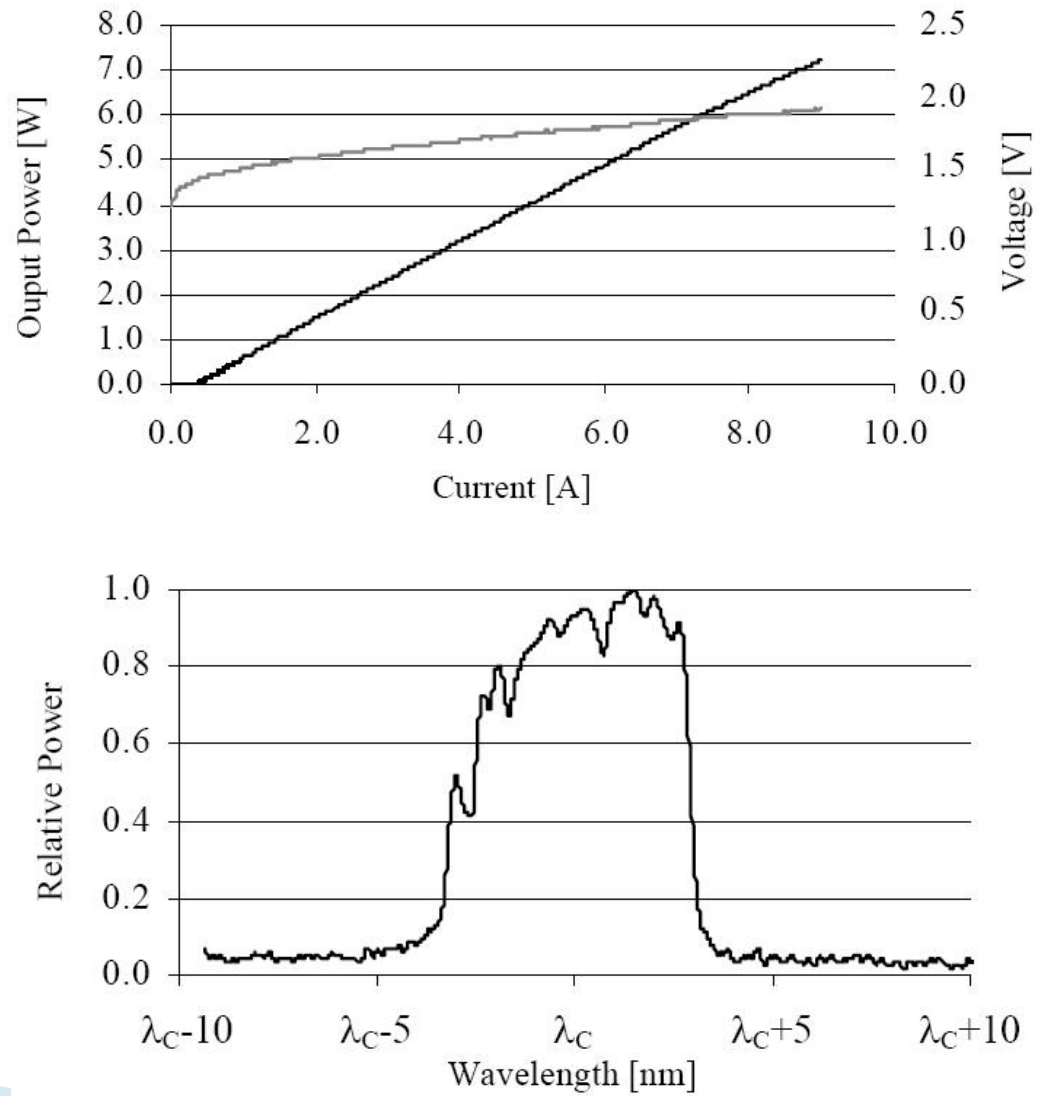
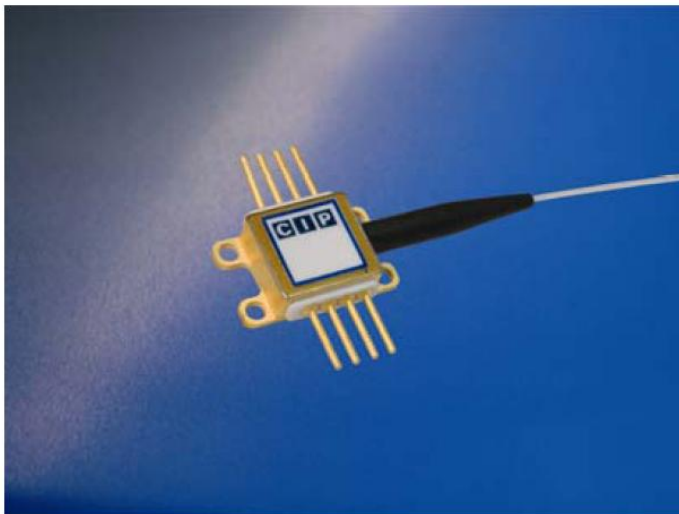
## ▶ Bazat pe efect Raman



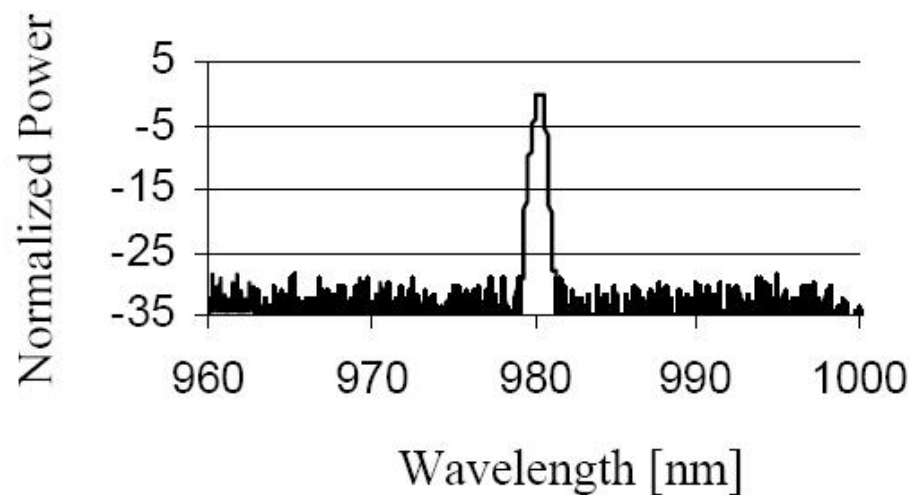
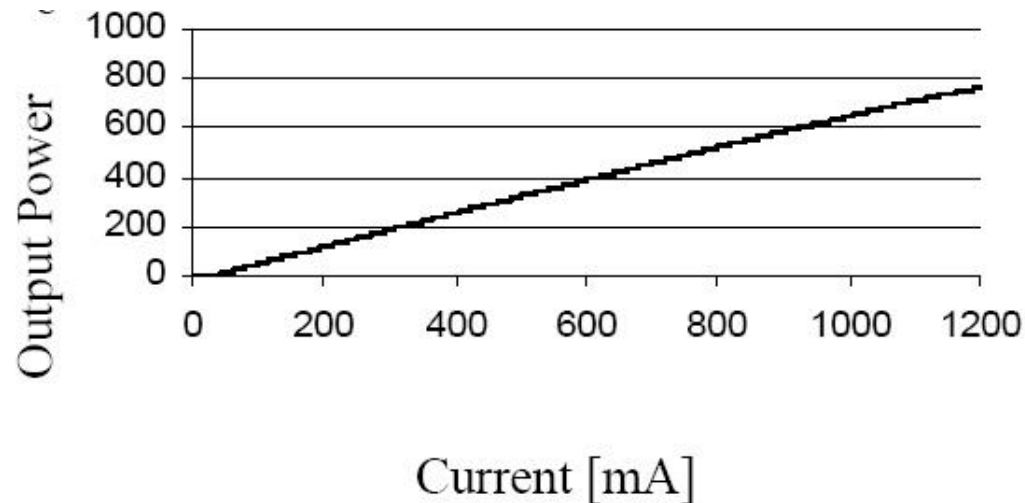
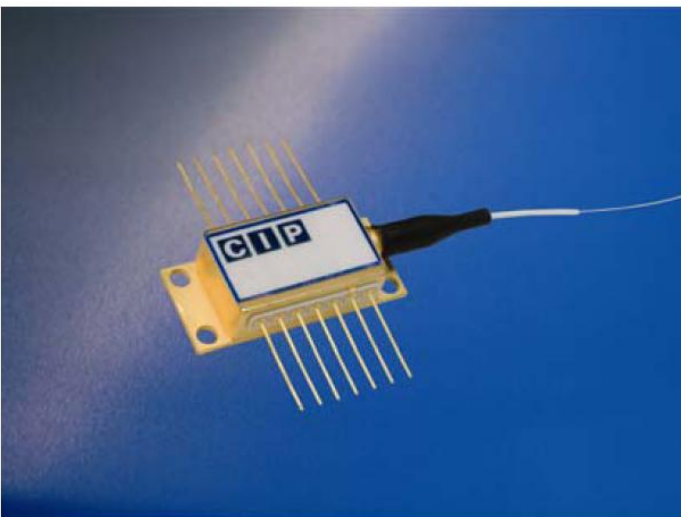
# Utilizare amplificatoare optice



# 7W 980 nm Multimode Pump Laser

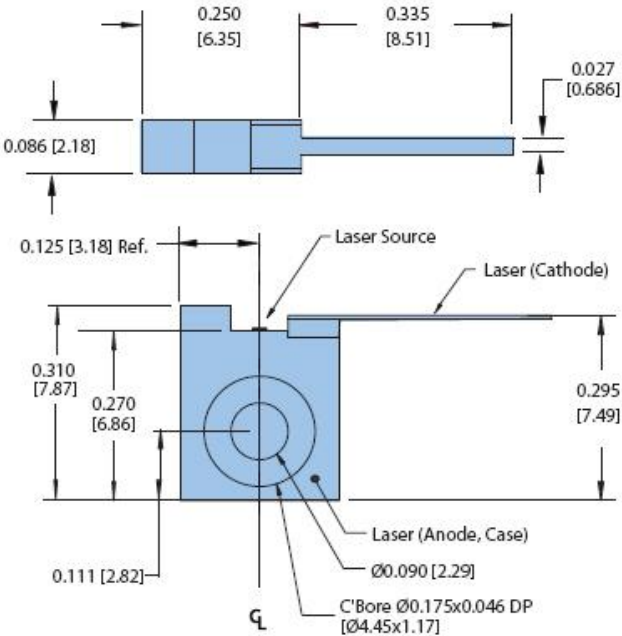


# 600mW 980 nm Singlemode Pump Laser

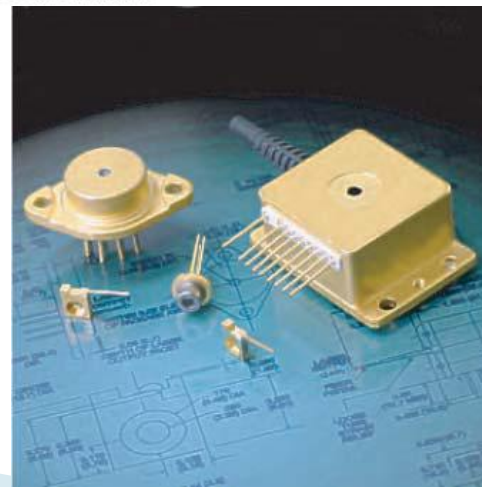
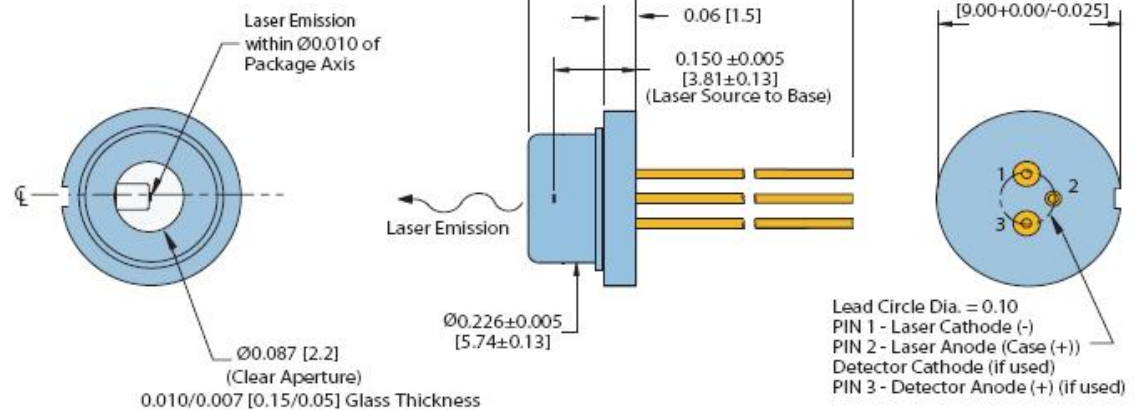


# 6 W, CW, 800nm

**C-Mount Package**

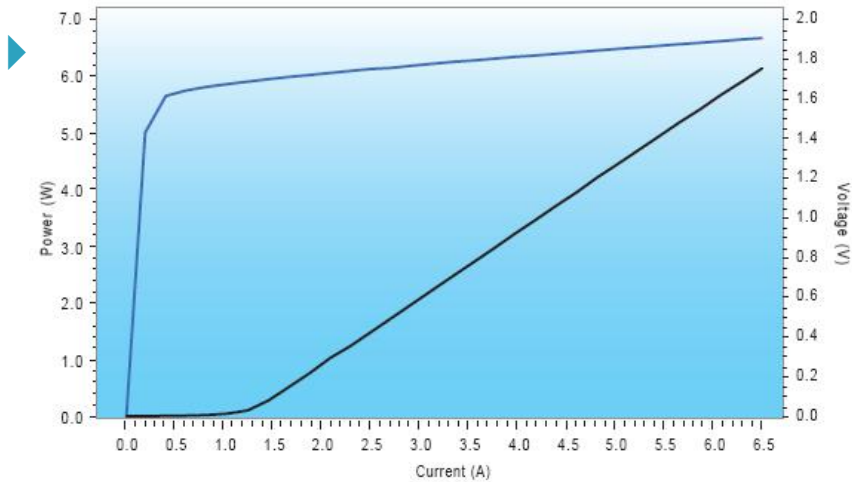


**9mm Package**

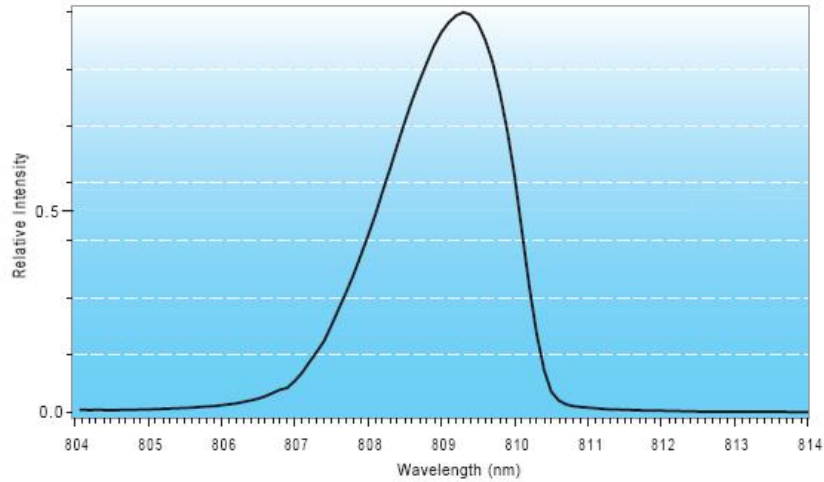


# 6 W, CW, 800nm

Typical L/I, V/I Graph

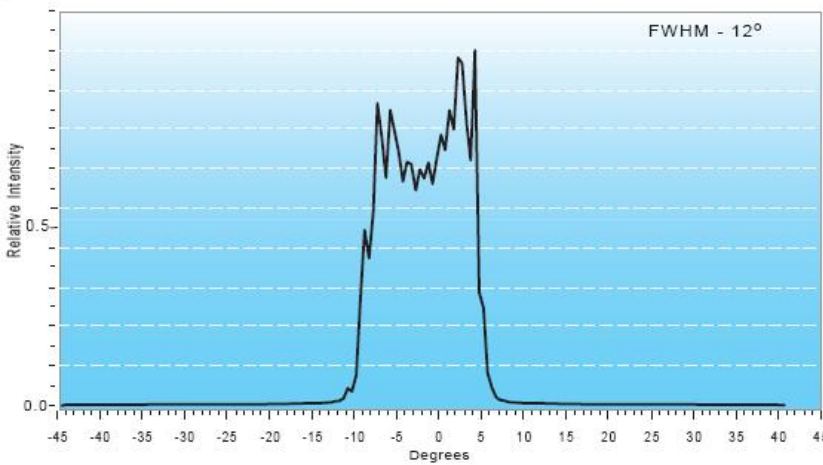


Wavelength Distribution



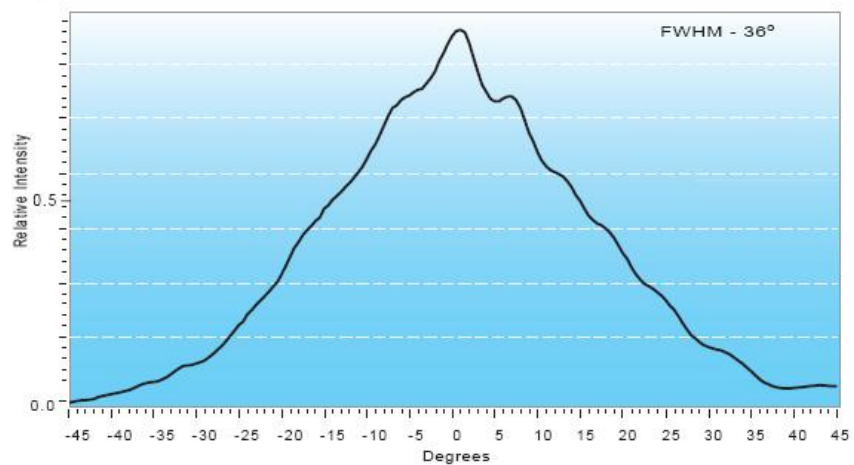
Typical Beam Divergence

Parallel

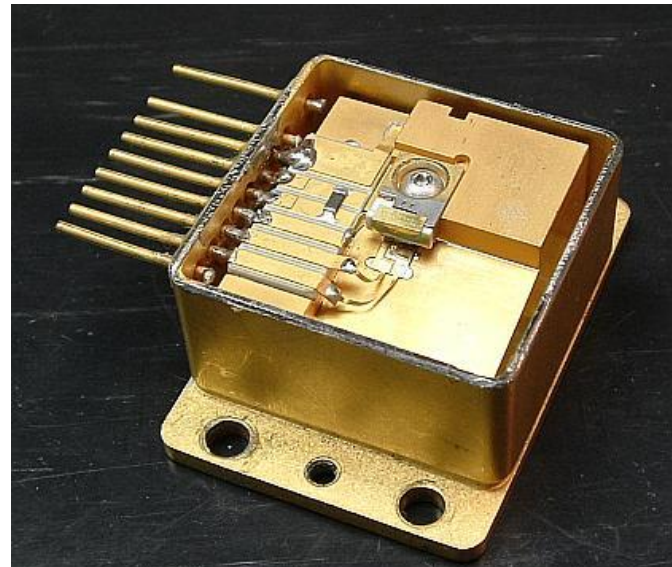
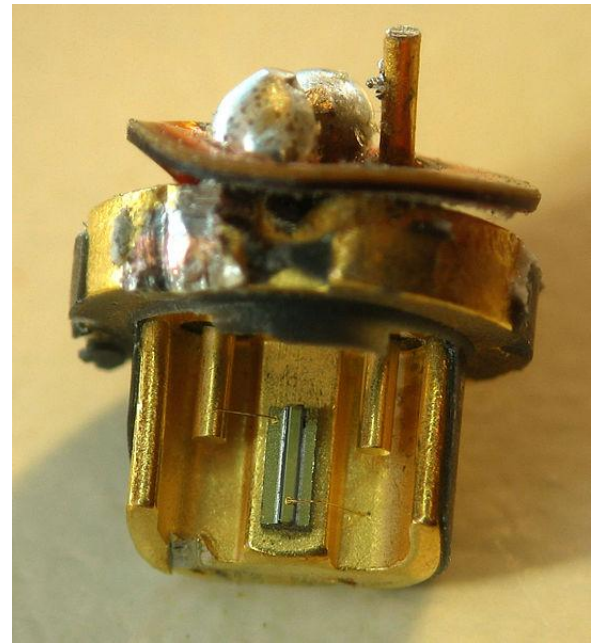
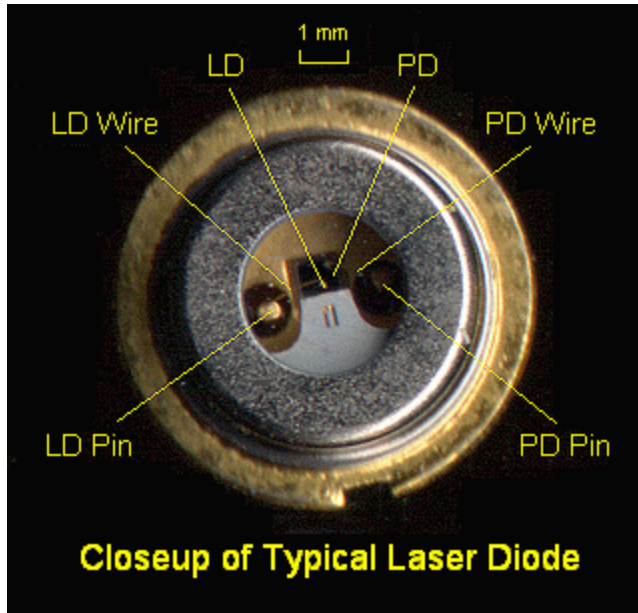


Typical Beam Divergence

Perpendicular



# CW Laser, 650 nm



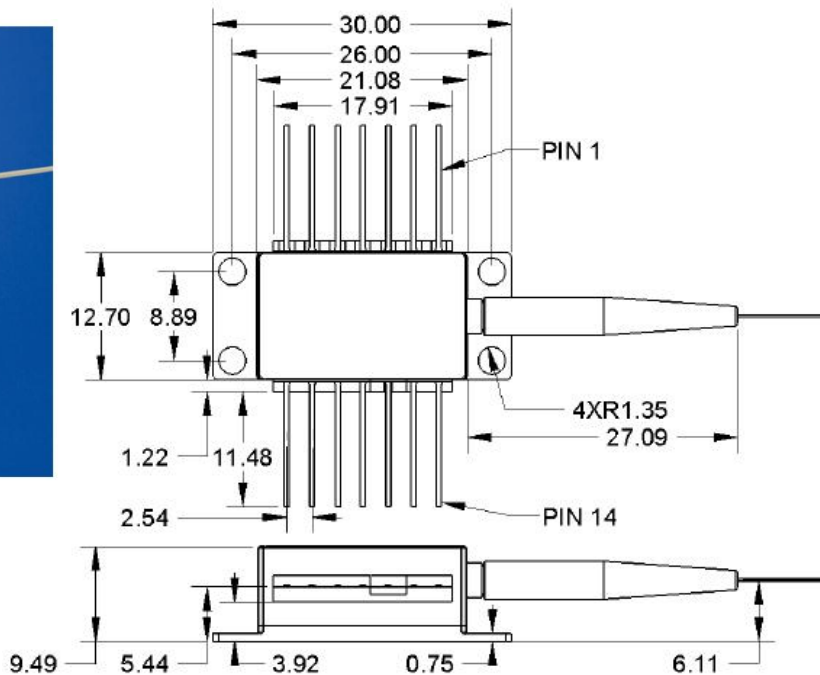
# Lungimi de unda

- ▶ **405 nm** – InGaN blue–violet laser, in Blu–ray Disc and HD DVD drives
- ▶ **445–465 nm** – InGaN blue laser multimode diode recently introduced (2010) for use in mercury–free high–brightness data projectors
- ▶ **510–525 nm** – Green diodes recently (2010) developed by Nichia and OSRAM for laser projectors.
- ▶ **635 nm** – AlGaInP better red laser pointers, same power subjectively twice as bright as 650 nm
- ▶ **650–660 nm** – GaInP/AlGaInP CDDVD, cheap red laser pointers
- ▶ **670 nm** – AlGaInP bar code readers, first diode laser pointers (now obsolete, replaced by brighter 650 nm and 671 nm DPSS)
- ▶ **760 nm** – AlGaInP gas sensing: O<sub>2</sub>
- ▶ **785 nm** – GaAlAs Compact Disc drives
- ▶ **808 nm** – GaAlAs pumps in DPSS Nd:YAG lasers (e.g., in green laser pointers or as arrays in higher–powered lasers)
- ▶ **848 nm** – laser mice
- ▶ **980 nm** – InGaAs pump for optical amplifiers, for Yb:YAG DPSS lasers
- ▶ **1,064 nm** – AlGaAs fiber–optic communication, DPSS laser pump frequency
- ▶ **1,310 nm** – InGaAsP, InGaAsN fiber–optic communication
- ▶ **1,480 nm** – InGaAsP pump for optical amplifiers
- ▶ **1,512 nm** – InGaAsP gas sensing: NH<sub>3</sub>
- ▶ **1,550 nm** – InGaAsP, InGaAsNSb fiber–optic communication
- ▶ **1,625 nm** – InGaAsP fiber–optic communication, service channel
- ▶ **1,654 nm** – InGaAsP gas sensing: CH<sub>4</sub>
- ▶ **1,877 nm** – GaInAsSb gas sensing: H<sub>2</sub>O
- ▶ **2,004 nm** – GaInAsSb gas sensing: CO<sub>2</sub>
- ▶ **2,330 nm** – GaInAsSb gas sensing: CO
- ▶ **2,680 nm** – GaInAsSb gas sensing: CO<sub>2</sub>
- ▶ **3,030 nm** – GaInAsSb gas sensing: C<sub>2</sub>H<sub>2</sub>
- ▶ **3,330 nm** – GaInAsSb gas sensing: CH<sub>4</sub>

# 1550nm DFB Laser

## Mechanical Drawing

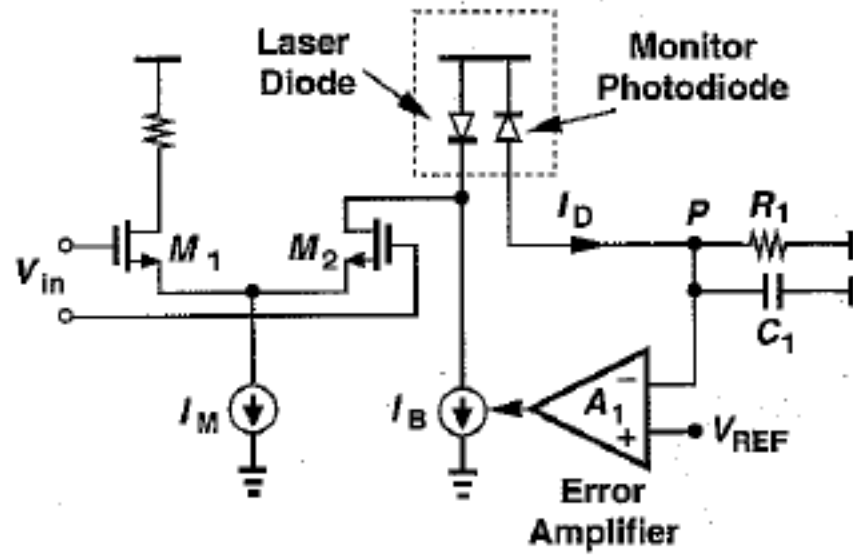
All units in mm



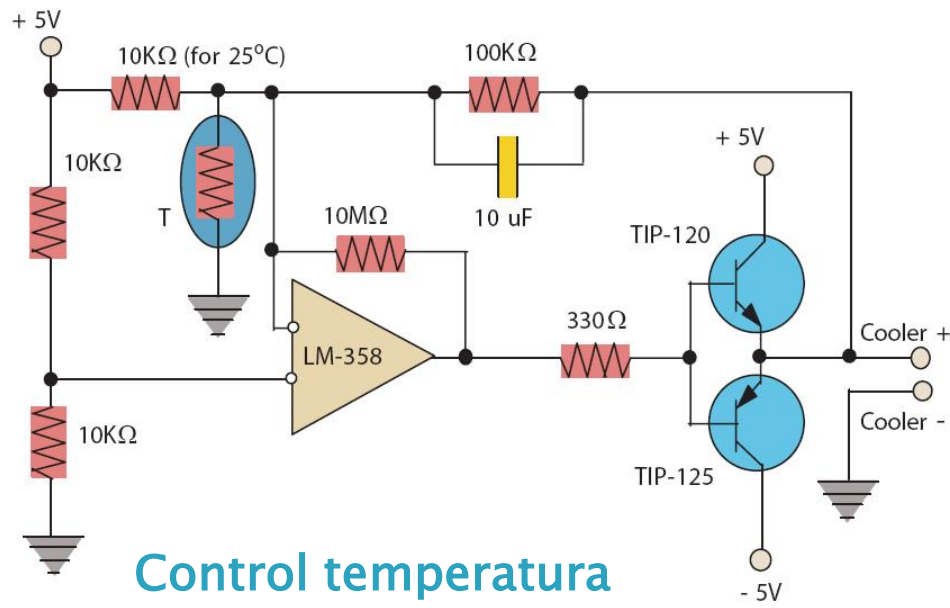
## Pin out

Pin	Description
1	Thermistor
2	Thermistor
3	Laser Cathode (Bias)
4	Monitor PD Anode
5	Monitor PD Cathode
6	TEC +
7	TEC -
8	Case GND, Laser Anode
9	Case GND, Laser Anode
10	Case GND, Laser Anode
11	Case GND, Laser Anode
12	Laser Cathode (modulation)
13	Case GND, Laser Anode
14	Case GND, Laser Anode

# Control dioda LASER



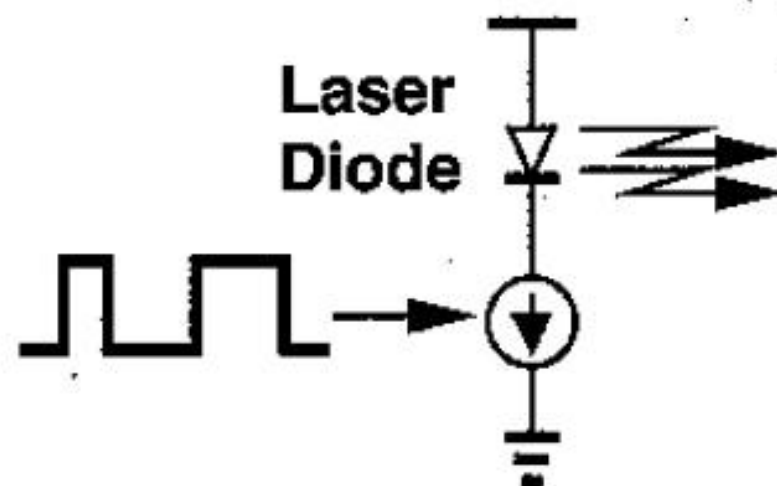
Control putere optica



Control temperatura

# Dioda LASER

- ▶ Ca si in cazul LED, pentru DL intensitatea luminoasa emisa este o functie de curentul prin dioda
  - aproape exclusiv, DL sunt controlate in curent
  - controlul in curent are avantajul unei viteze mai mari de lucru



# Diода LASER

- ▶ Cerinte pentru driver-ele de diode laser
  - viteza mare de basculare pentru minimizarea interferentei intersimbol
  - curent mare de iesire
  - capacitatea de a rezista la variatiile de tensiune pe dioda Laser
- ▶ Cerintele sunt dificil de respectat deoarece sunt contradictorii
  - viteza mare presupune micsorarea dimensiunii componentelor
  - micsorarea dimensiunii
    - scade tensiunea de strapungere
    - scade capacitatea de curent/putere disipata

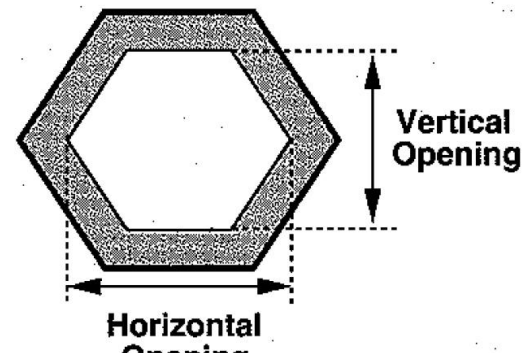
# Caracteristici driver-e DL

## ▶ Viteza

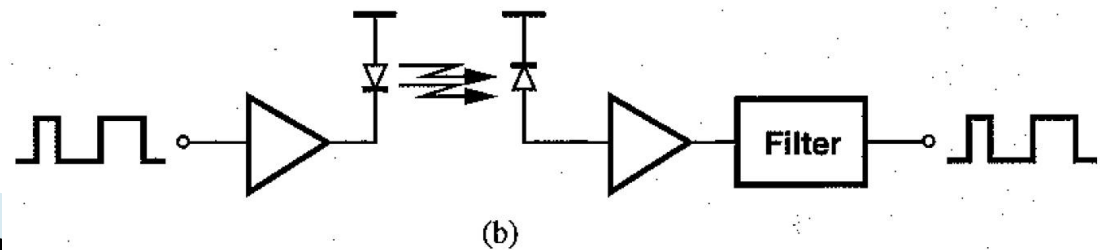
- caracterizata de timpii de crestere si de cadere
- suma acestora trebuie sa fie mult mai mica decat perioada de bit la viteza nominala de lucru

## ▶ Testarea vitezei de lucru

- standardizata
- “eye diagram”



(a)

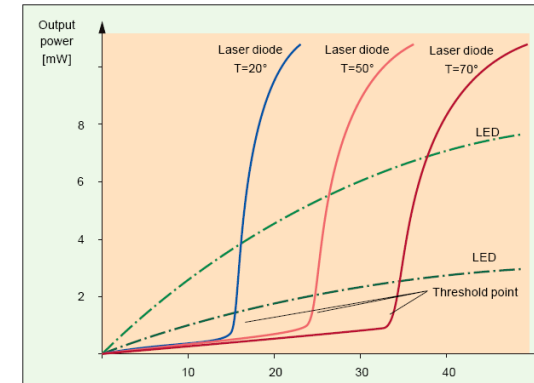


(b)

# Caracteristici driver-e DL

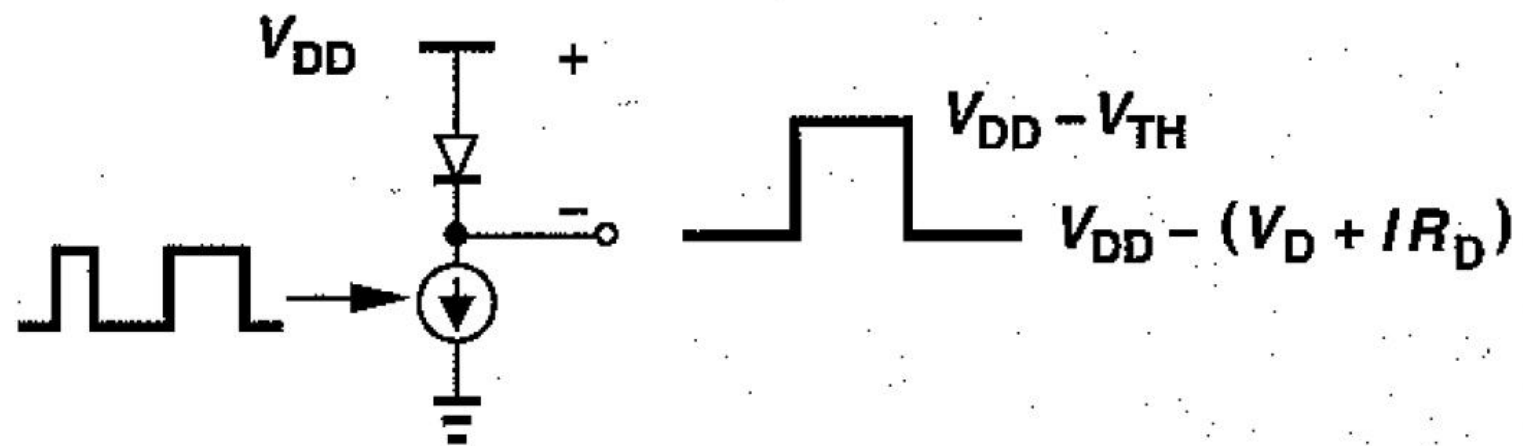
## ▶ Curent de iesire

- laserele trebuie polarizate in vecinatatea pragului, astfel incat o mica variatie de curent sa poata deschide dioda
- driver-ele de DL trebuie sa poata furniza:
  - un curent de “polarizare”
  - un curent de “modulatie”
- Curentul de “polarizare” (~ de prag) variaza cu temperatura si varsta diodei extrem de mult
- Curentul de “modulatie” (semnal) nu depinde de aceste elemente deoarece pentru DL
  - pragul depinde de temperatura si varsta
  - panta este aproximativ constanta



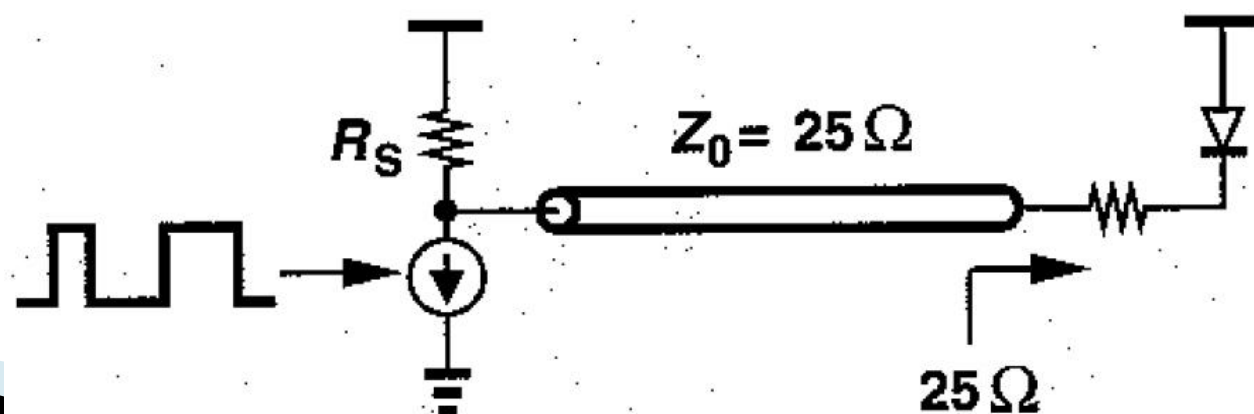
# Caracteristici driver-e DL

- ▶ Variatii de tensiune pe dioda LASER
  - generate de variatiile mari de curent si rezistenta interna a diodei



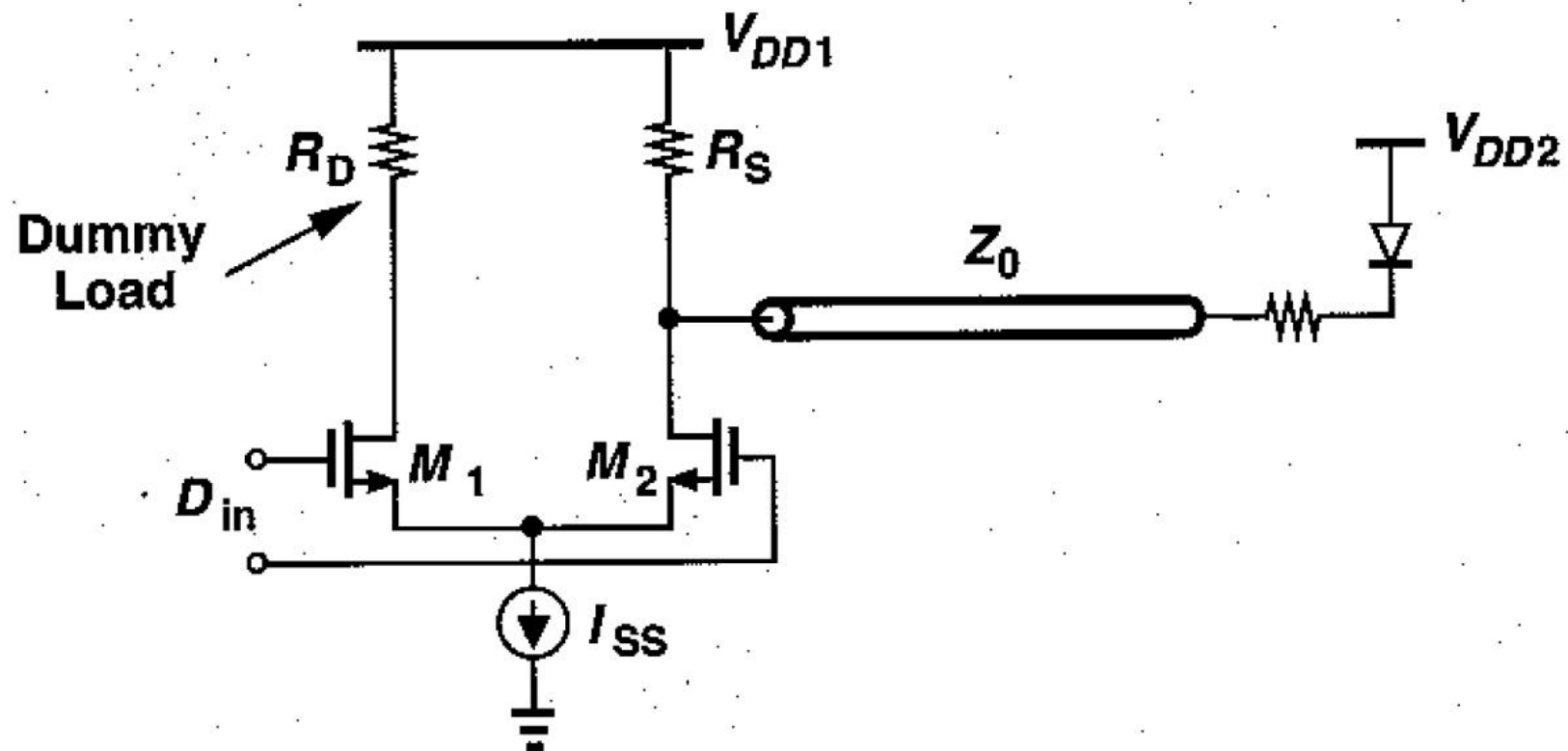
# Caracteristici driver-e DL

- ▶ Impedante de intrare si iesire
- ▶ Se lucreaza la viteze mari (1Gb/s, 10Gb/s)
  - se aplica considerente de proiectare a circuitelor de microunde
  - Intrarea in amplificator are tipic o impedanta de  $50\Omega$
  - Iesirea trebuie adaptata la impedanta diodei Laser
    - daca aceasta impedanta e prea mica, se creste la valori adecvate ( $\sim 25\Omega$ ) prin introducerea unui rezistor in serie



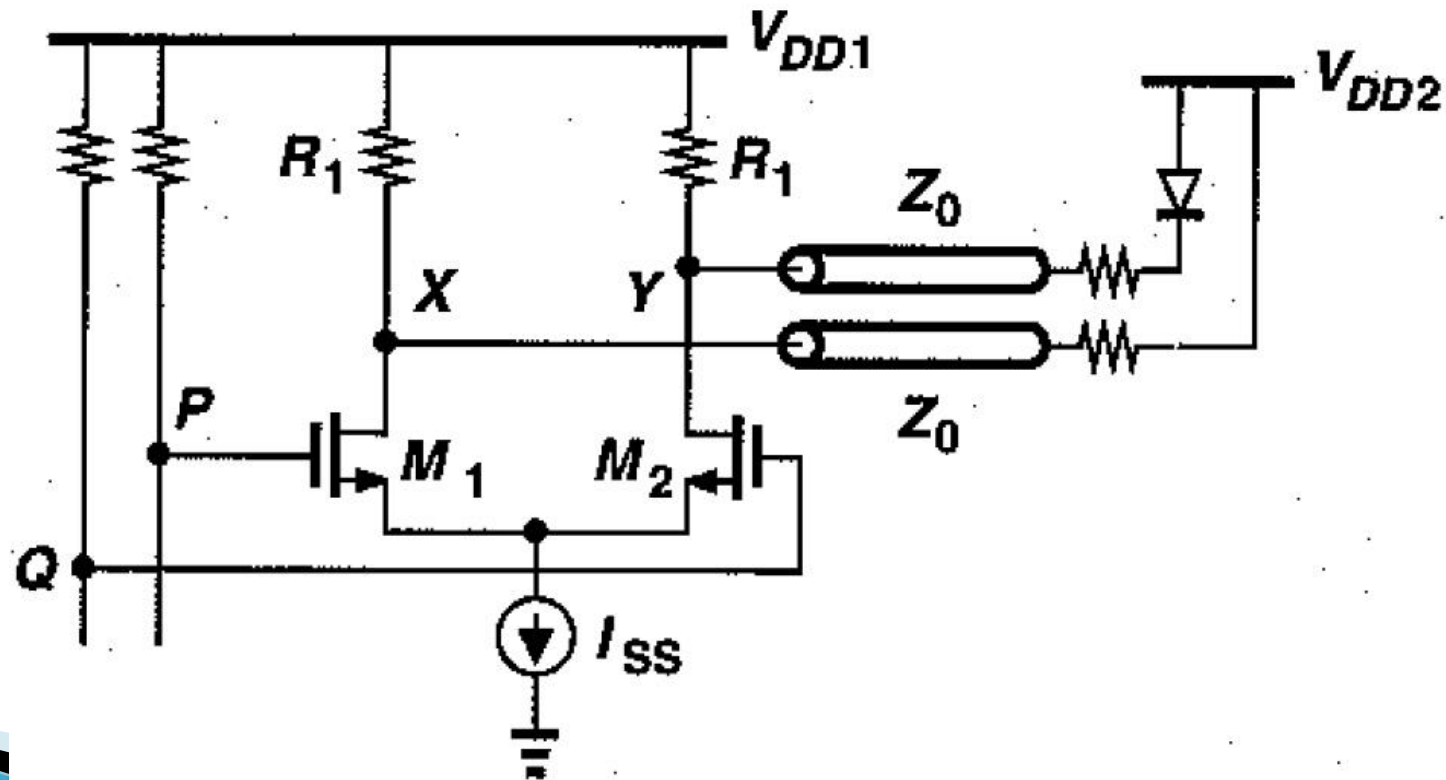
# Principii de proiectare

- ▶ Tipic etajul de ieșire se realizează diferențial



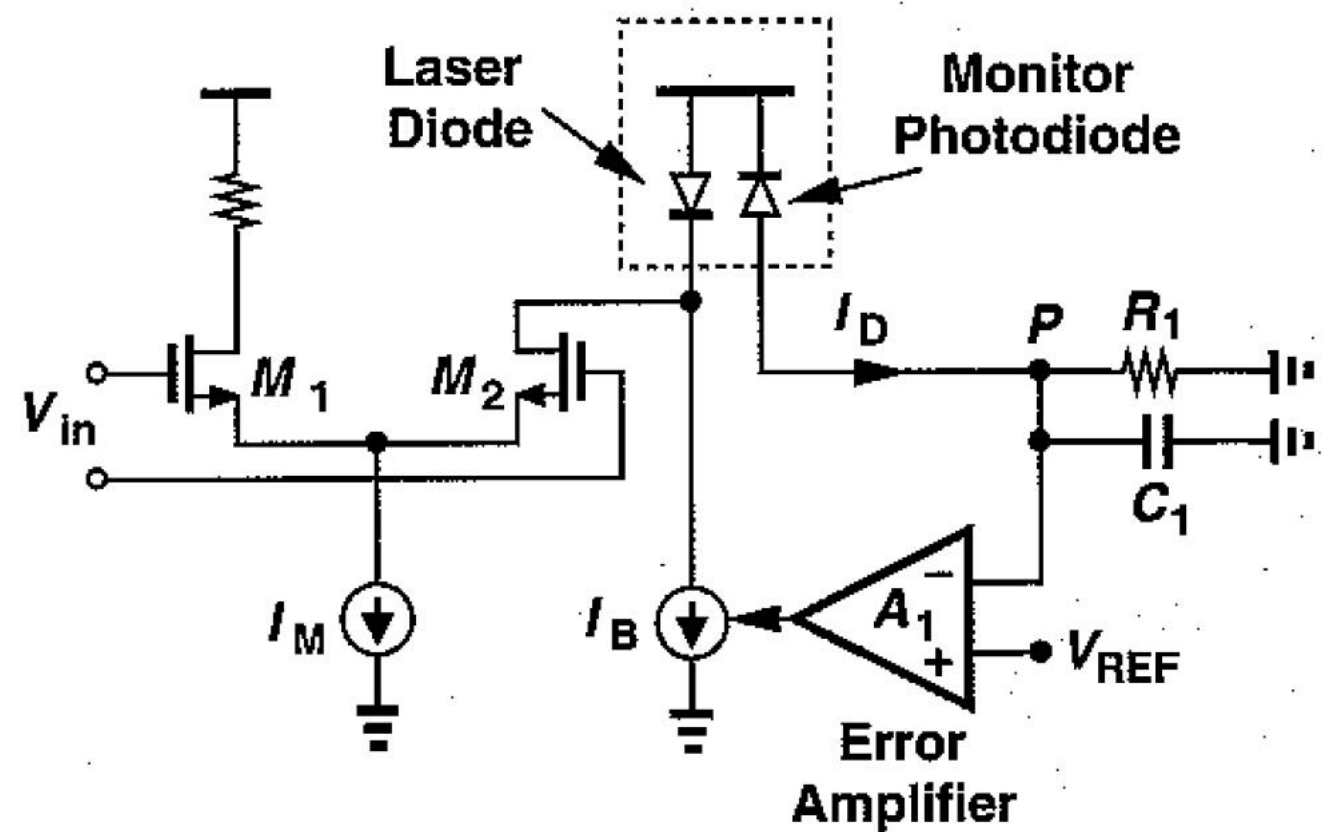
# Principii de proiectare

- ▶ La viteze mari se utilizeaza tipic tranzistoare unipolare si etajul differential se realizeaza simetric



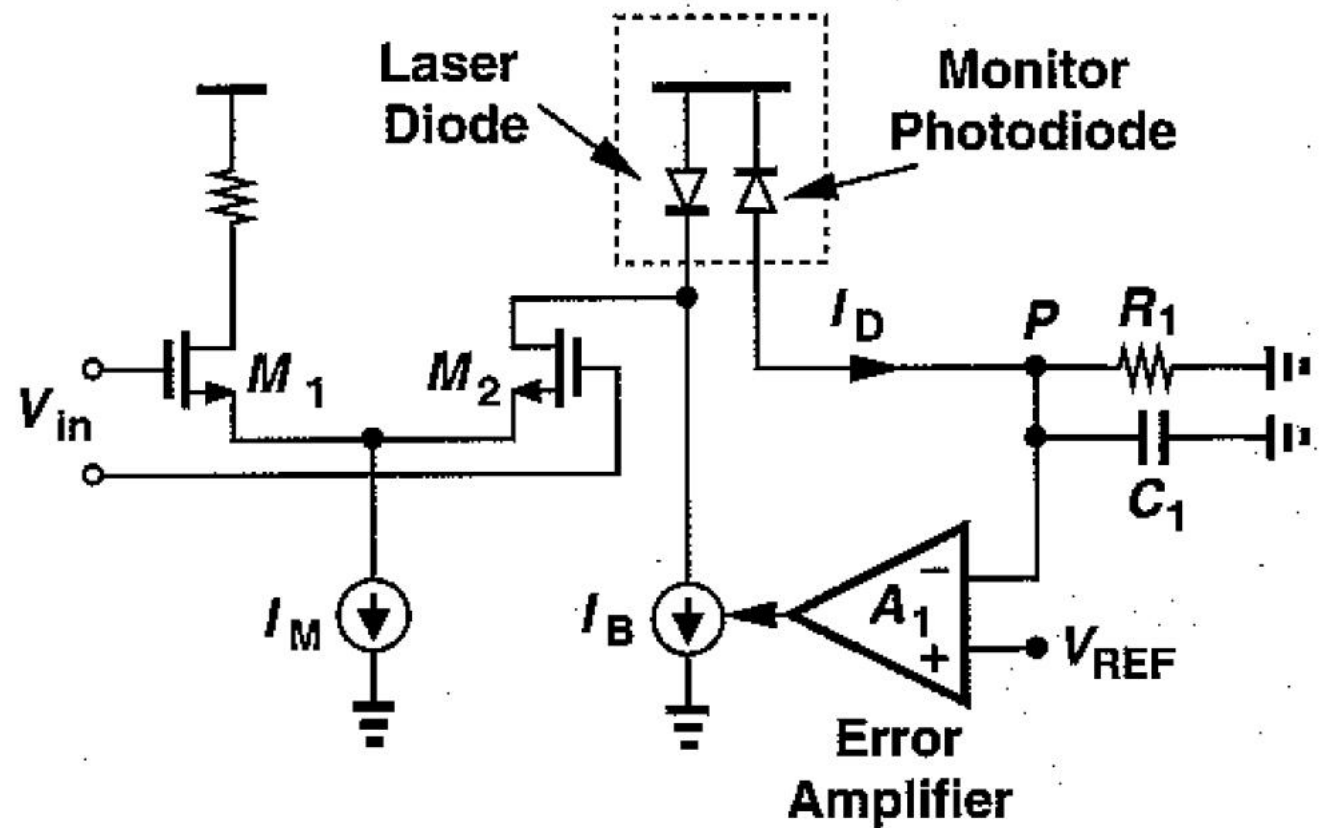
# Controlul puterii în DL

- ▶ Necesar datorita variatiei curentului de “polarizare”



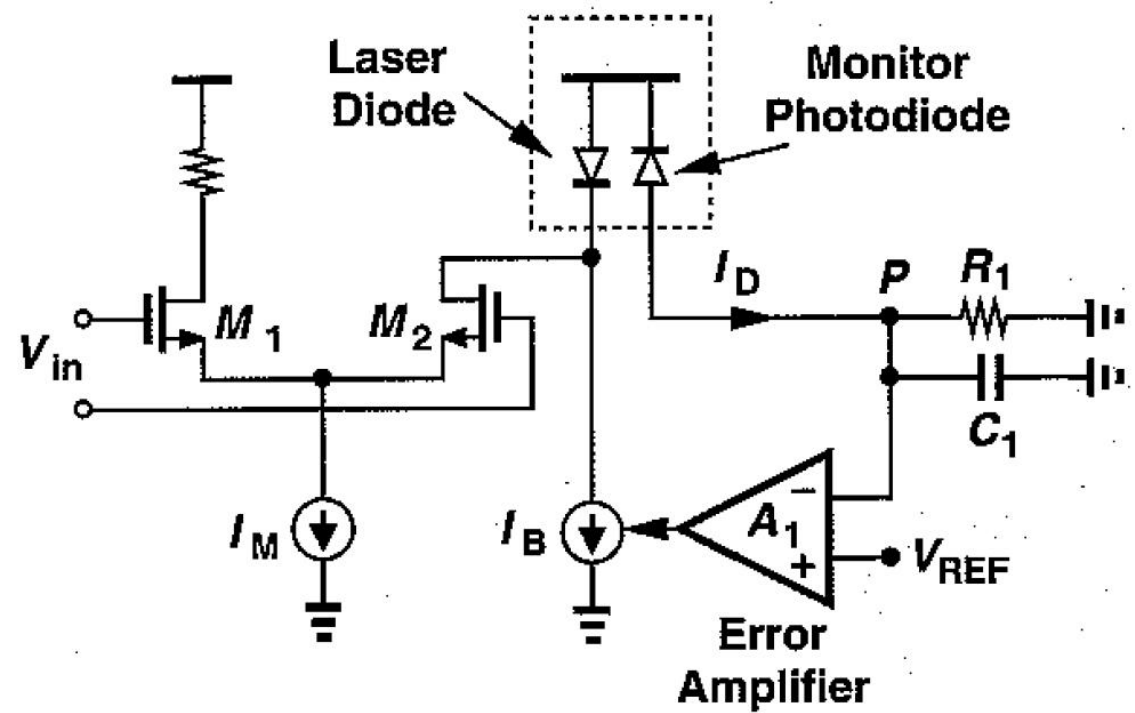
# Controlul puterii în DL

- circuitul RC din schema de reglaj a curentului de polarizare realizeaza o filtrare trece sus a semnalului



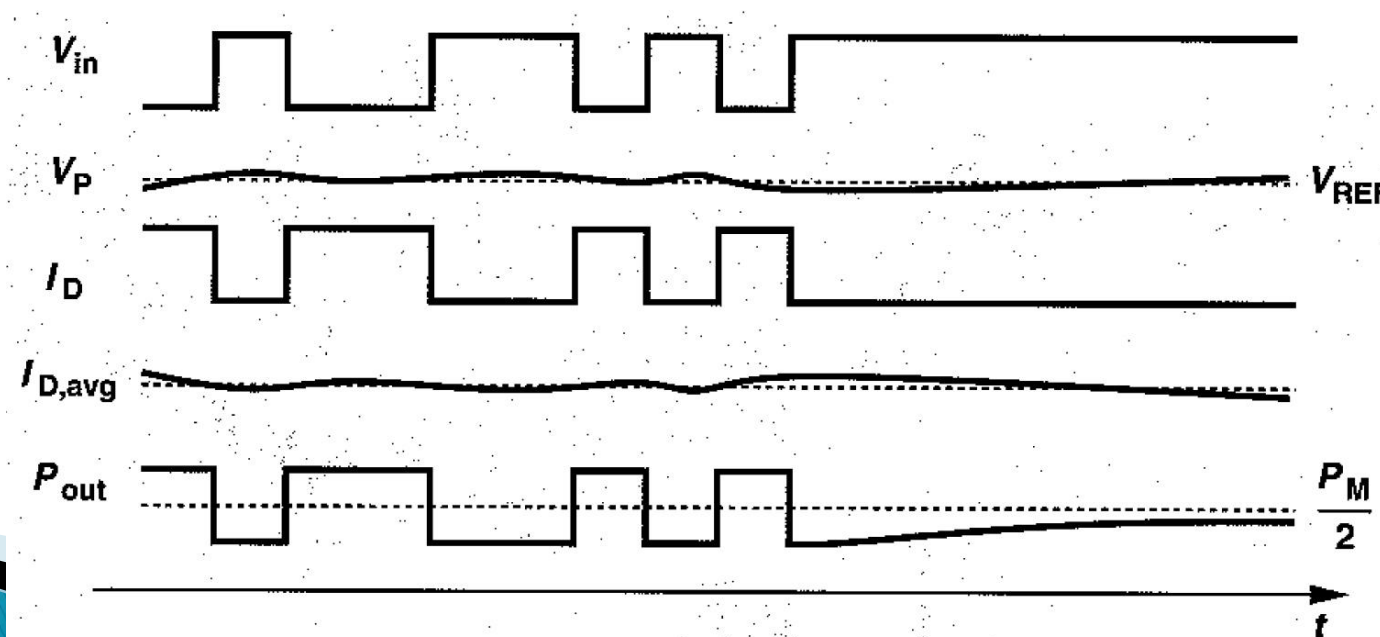
# Controlul puterii in DL

- ▶ La frecvențe prea mici de lucru bucla de reacție e suficient de rapidă pentru a urmări și anula curentul de semnal



# Controlul puterii in DL

- ▶ Bucla de reactie are efect si in cazul unei suite lungi de biti 1 transmisi
  - In acest caz, la limita curentul emis de dioda laser in starea OFF ajunge jumata din curentul corespunzator starii ON
  - Capacitatea de filtrare din bucla trebuie aleasa mare pentru a minimiza acest efect
  - daca valoarea e prea ridicata e necesara o capacitate externa circuitului integrat



# Fotodioda

Capitolul 9

# Detectori optici

## ▶ Cerinte

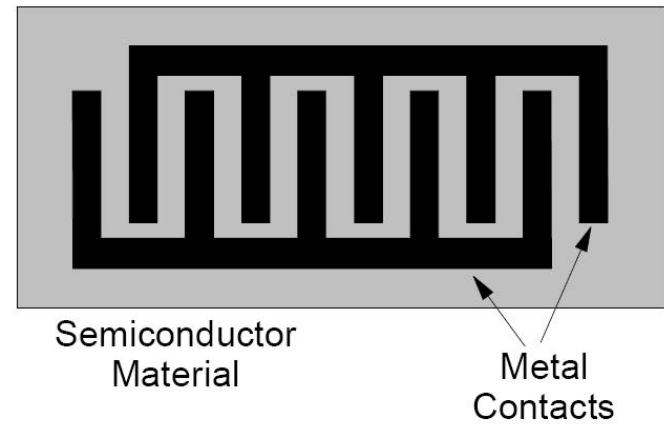
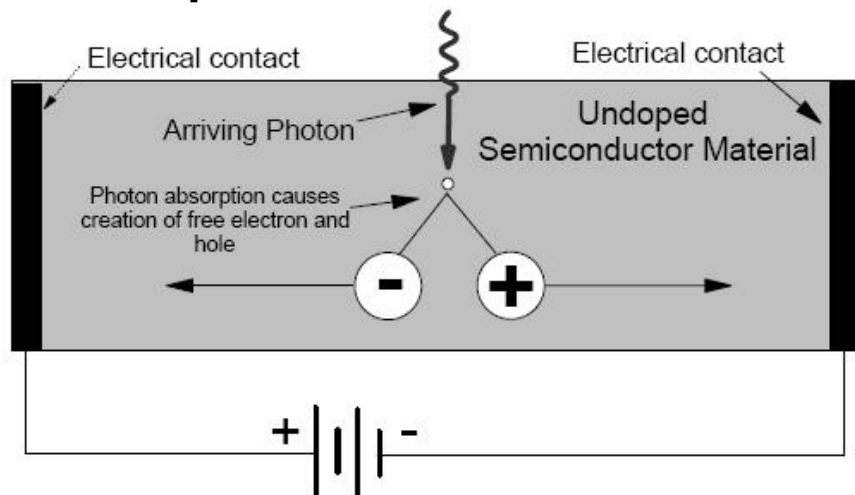
- eficienta crescuta a conversiei optic/electric
- zgomot redus
- raspuns uniform la diferite lungimi de unda
- viteza de raspuns ridicata
- liniaritate

## ▶ Principii de operare

- fotoconductori               $R = R(P_o)$
- fototranzistori               $I_B = I_B(P_o)$
- fotodiode                     $I = I(P_o)$ 
  - pn
  - pin
  - pin cu multiplicare in avalansa
  - Schottky

# Fotoconductori

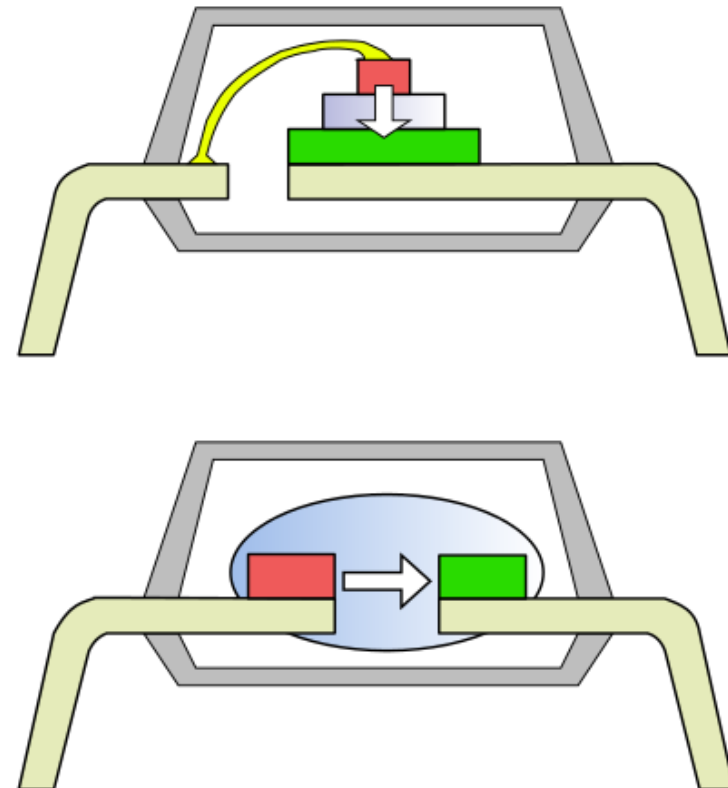
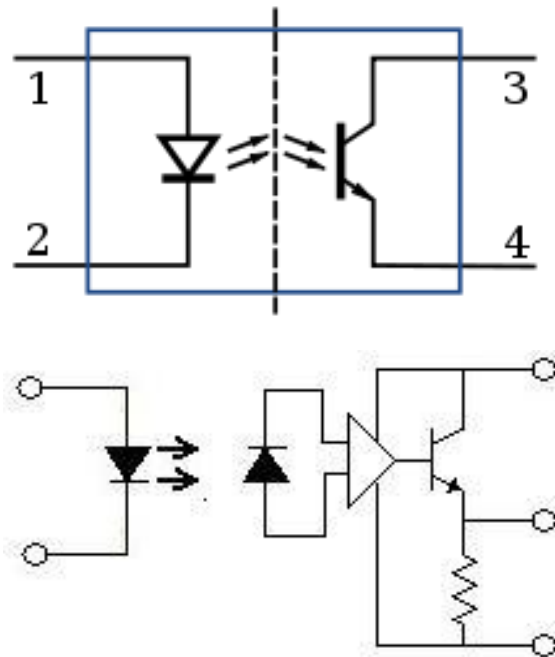
## ▶ Principiu



▶ Recent dispozitive Metal Semiconductor Metal (filtru interdigital) au inceput sa fie utilizate pentru usurinta de fabricare si integrare in aplicatii mai putin pretentioase

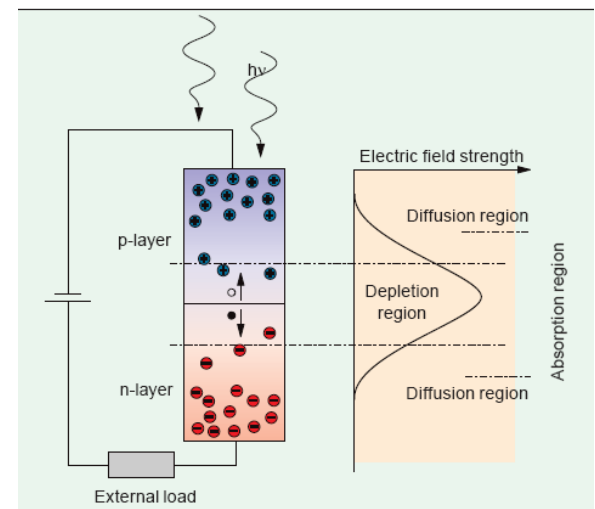
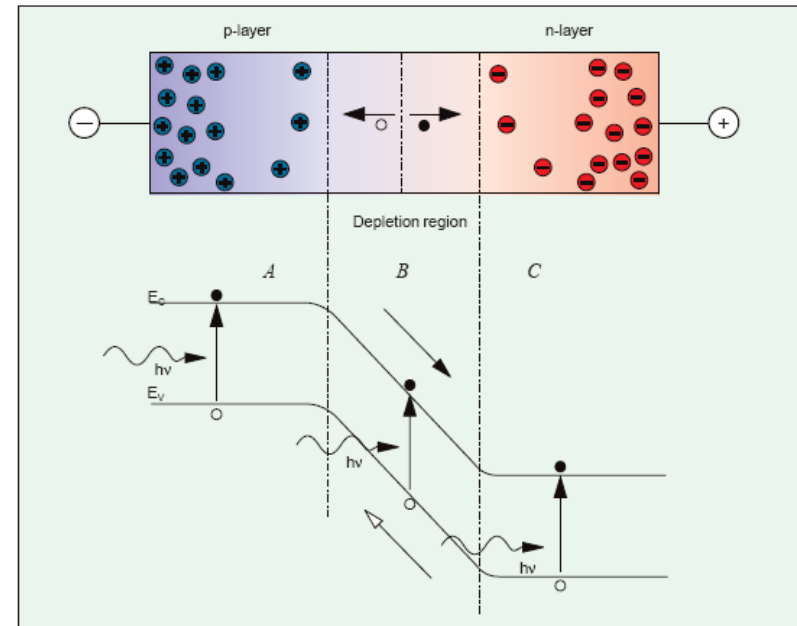
# Optocuploare

- ▶ utilizate pentru a oferi izolare electrica intre doua sectiuni ale unui circuit
  - izolarea portiunii de comanda si/sau masura de partea de “forta” a circuitului



# Fotodioda – Principiul de operare

- ▶ Jonctiunea pn este polarizata invers
- ▶ Lumina este absorbita in regiunea golita de purtatori, un foton absorbit generand o pereche electron-gol
- ▶ Sarcinile sunt separate de campul electric existent in regiunea golita si genereaza un curent in circuitul exterior



# Fotodioda – Principiul de operare

- ▶ Energia necesara pentru eliberarea unei perechi electron gol

$$h\nu = \frac{hc}{\lambda} \geq E_g$$

- ▶ Lungime de unda de taiere

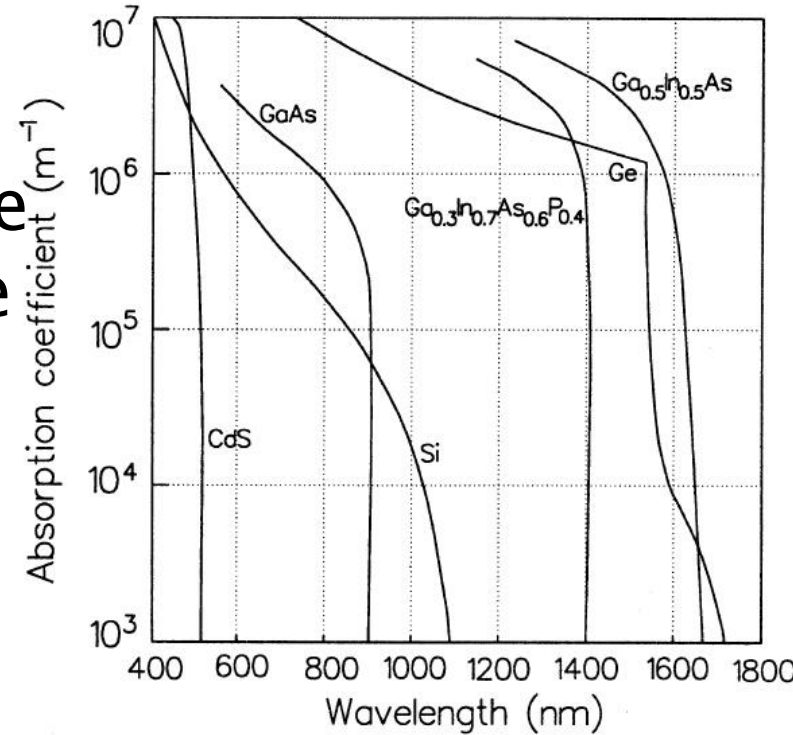
$$\lambda_{\max} = \frac{hc}{E_g}$$

- ▶ Puterea optica absorbita in zona golita de purtatori (w) aflata la o adincime d in interiorul dispozitivului

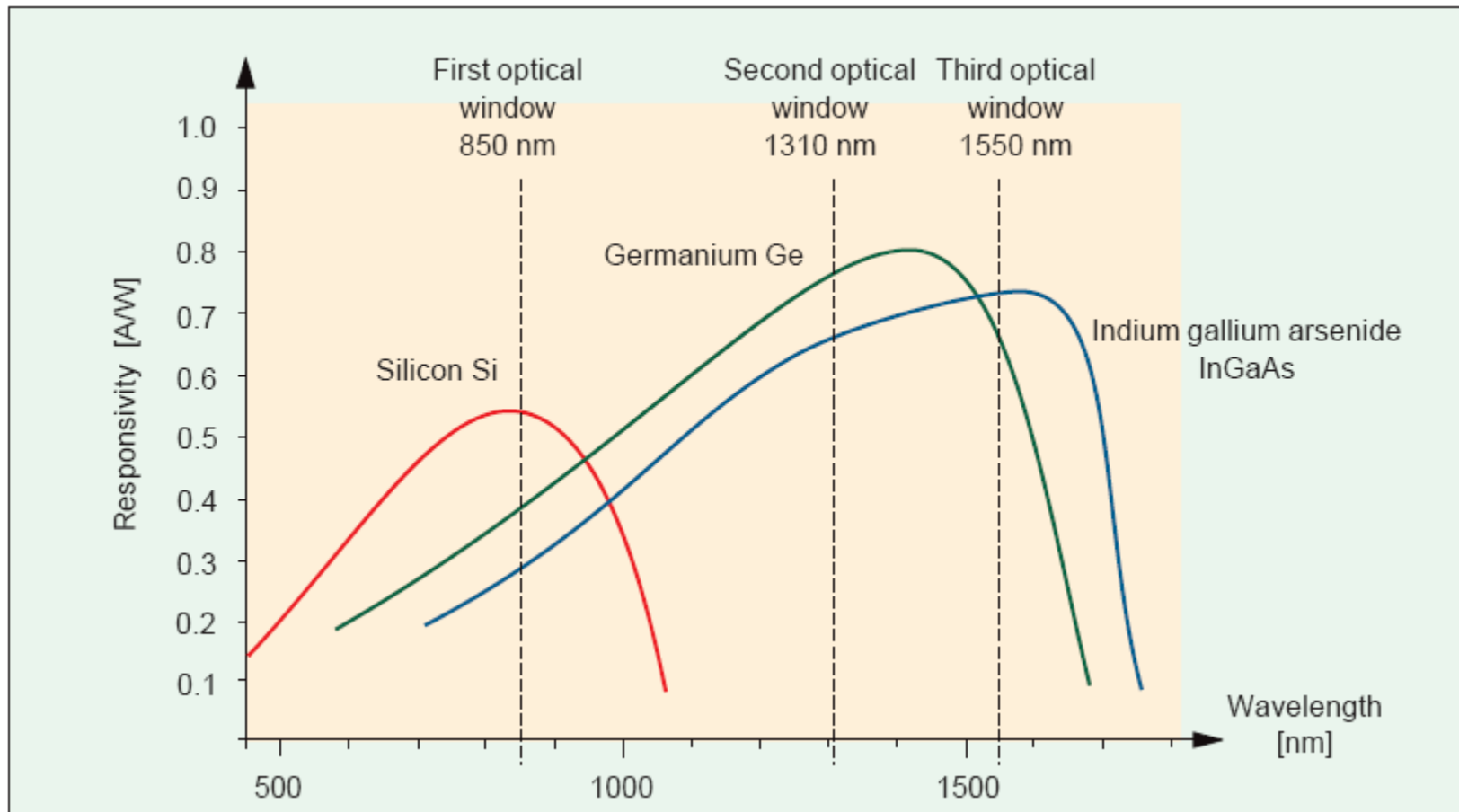
$$P(w) = P_i \cdot e^{-\alpha \cdot d} \cdot (1 - e^{-\alpha \cdot w}) \cdot (1 - R_f)$$

# Fotodioda – Principiul de operare

- ▶ Coeficientul de absorbtie pentru materialele uzuale
- ▶ Valoarea mare a coeficientului de absorbtie la lungimi de unda reduse implica scaderea rezponsivitatii
- ▶ Ca urmare comportarea **tuturor** materialelor este de tip trece banda



# Materiale utilizate pentru fotodiode



# Fotodioda – Marimi caracteristice

- ▶ Eficiența cuantica – raportul dintre numărul de perechi electron–gol generate și numărul de fotoni incidenti

$$\eta = \frac{n_e}{n_f}$$

- ▶ În unitatea de timp numărul de fotoni depinde de puterea optică, iar numărul de electroni impune curentul generat

$$\eta = \frac{I/e}{P/h\nu}$$

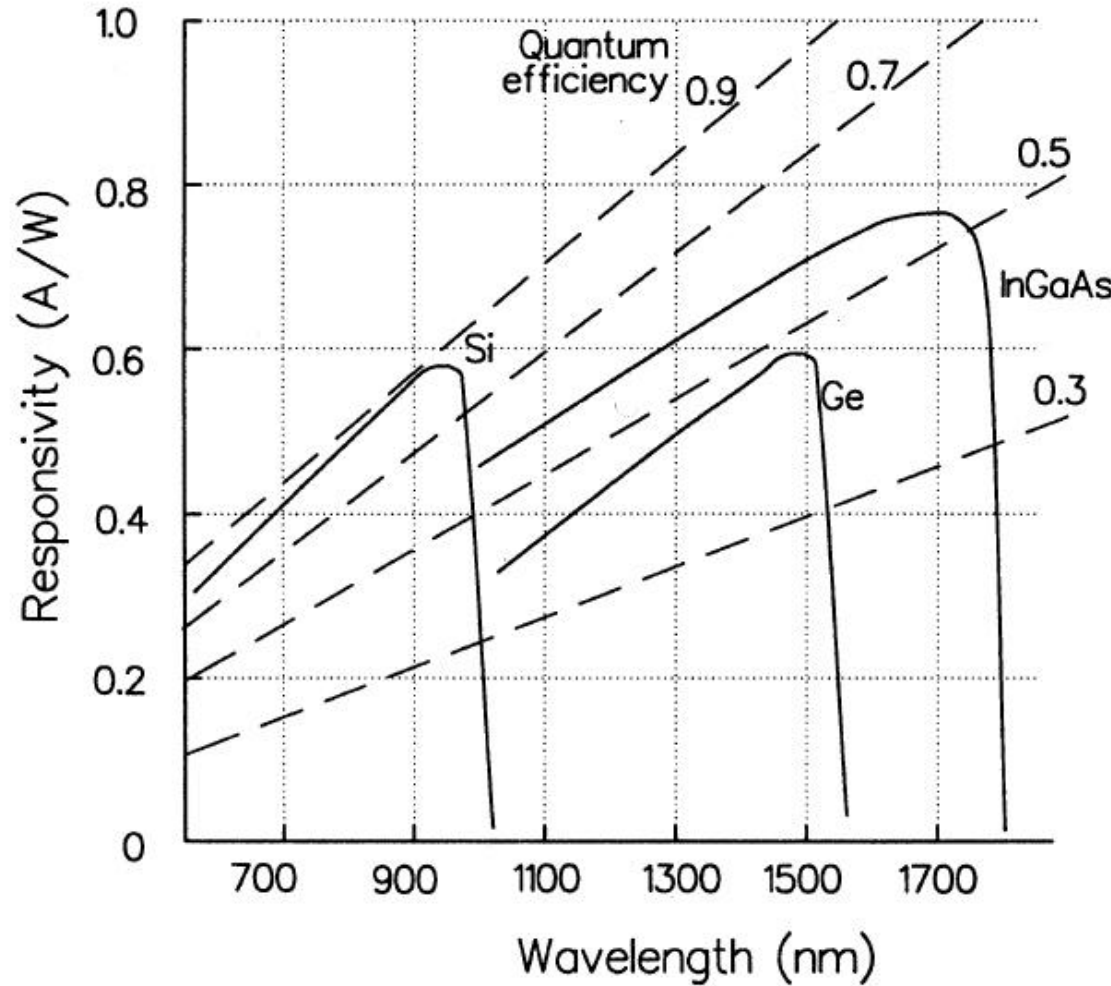
- ▶ Rezonabilitatea

$$R = \frac{I}{P_o} = \frac{\eta \cdot e \cdot \lambda}{hc}$$

$$R = 0.8 \cdot \eta \cdot \lambda [\mu m] \quad \left[ \frac{A}{W} \right]$$

# Fotodiode – marimi karakteristice

$$R = \frac{I}{P_o} = \eta \cdot \frac{e}{hc} \cdot \lambda$$



# Materiale utilizate pentru fotodiode

Material	$\lambda$ [ $\mu\text{m}$ ]	Responsivitate [A/W]	Viteza [ns]	Curent de intuneric
Si	0.85	0.55	3	1
Si	0.65	0.4	3	1
InGaAs	1.3–1.6	0.95	0.2	3
Ge	1.55	0.9	3	66

- Dezavantajul major pentru Ge este curentul de intuneric mare

Material	Eg (eV)
GaAs	1.43
GaSb	0.73
GaAs <sub>0.88</sub> Sb <sub>0.12</sub>	1.15
Ge	0.67
InAs	0.35
InP	1.35
In <sub>0.53</sub> Ga <sub>0.47</sub> As	0.75
In <sub>0.14</sub> Ga <sub>0.86</sub> As	1.15
Si	1.14

# Current de intuneric

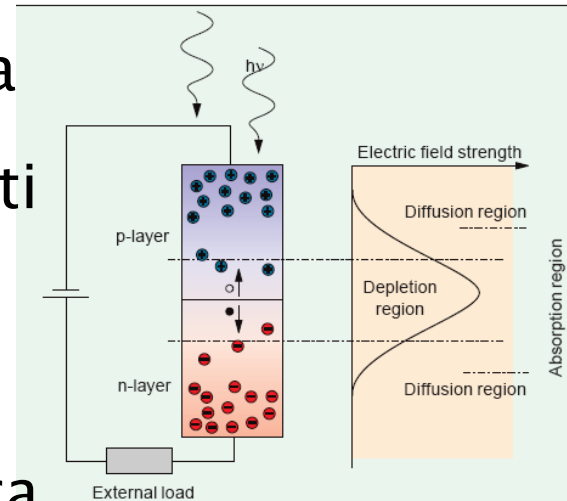
- ▶ Currentul invers al jonctiunii p–n, datorat agitatiei termice, prezent in absenta iluminarii
- ▶ Constituie o importanta sursa de zgomot (limiteaza aplicatiile Ge)

$$I_D = I_S \approx \frac{\beta \cdot kT}{eR_0}$$

- $\beta$  – coeficient de idealitate  $\beta=1\div 2$
- $R_0$  – rezistenta la intuneric a diodei (invers proportionala cu aria diodei)

# Fotodioda PIN

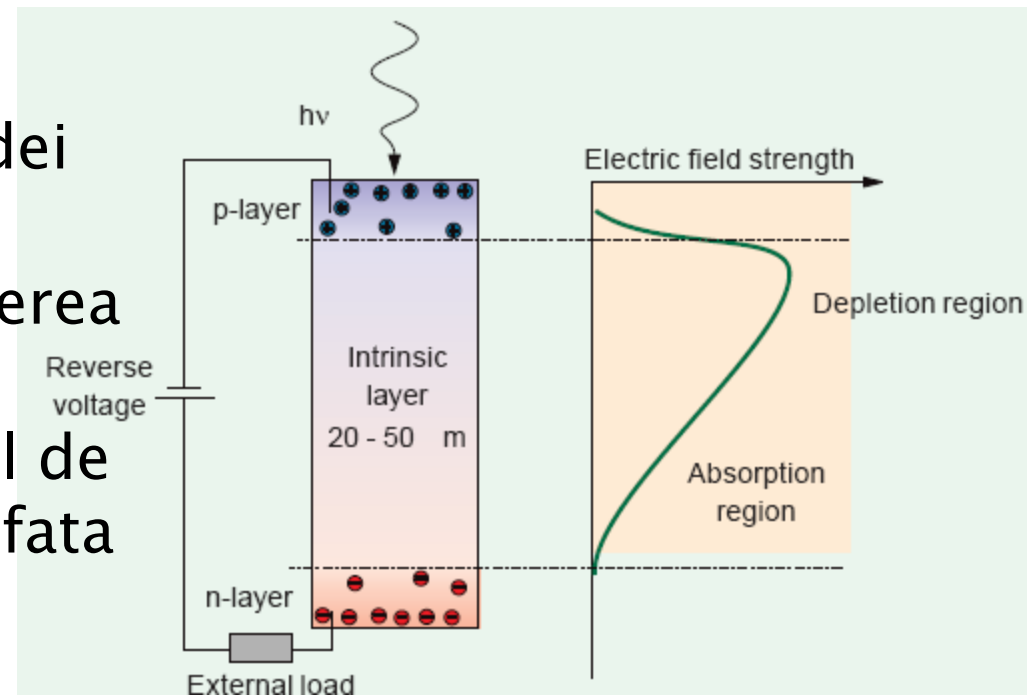
- ▶ Existenta campului electric in regiunea golita de purtatori face ca eventualii purtatori generati optic sa fie accelerati spre terminale pentru constituirea photocurentului
- ▶ Problemele utilizarii diodei pn polarizate invers ca fotodetector sunt generate de adancimea extrem de mica a zonei golite ( $w$ )
- ▶ Puterea optica absorbita in interiorul acestei zone e in consecinta redusa
- ▶ Purtatorii generati inafara zonei de golire ajung eventual in zona golita si vor fi accelerati spre terminale, dar viteza fenomenului este prea redusa pentru aplicatii in comunicatii



$$P(w) = P_i \cdot e^{-\alpha \cdot d} \cdot (1 - e^{-\alpha \cdot w}) \cdot (1 - R_f)$$

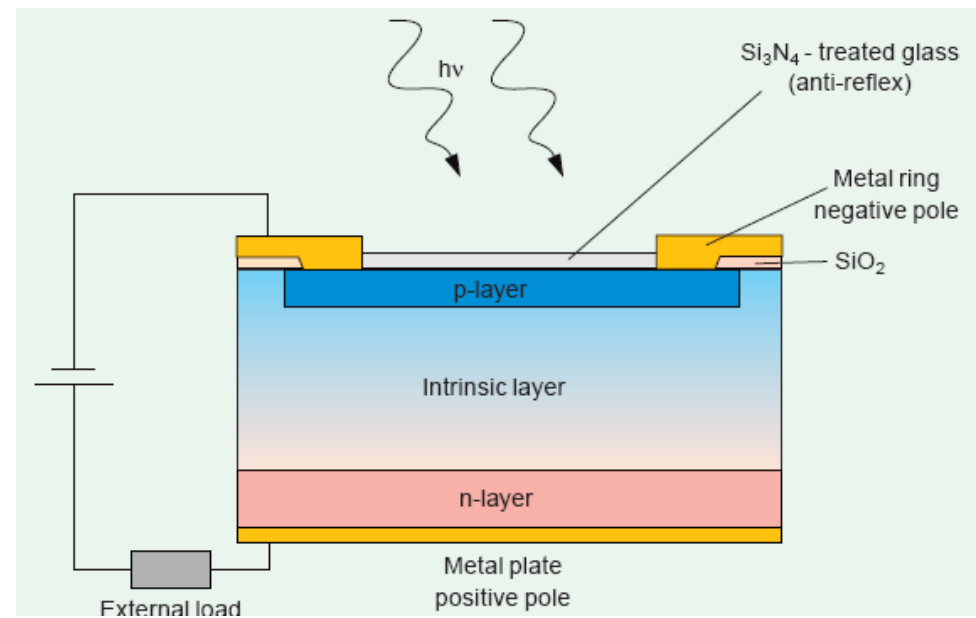
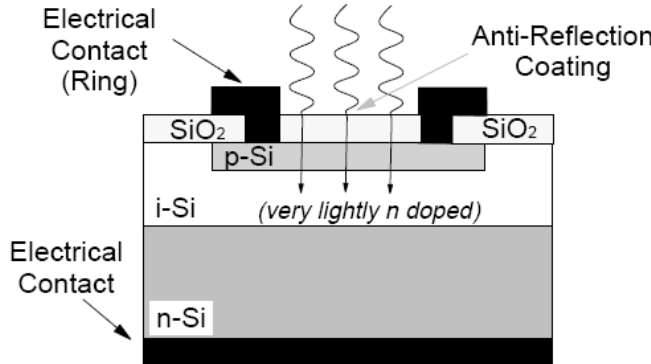
# Fotodioda PIN

- ▶ Solutia consta in introducerea unui strat foarte slab dopat (intrinsec) intre cele doua zone ale diodei
  - creste volumul de absorbtie deci creste sensibilitatea fotodiodei
  - capacitatea jonctiunii scade ducand la cresterea vitezei
  - este favorizat curentul de conductie (mai rapid) fata de cel de difuzie



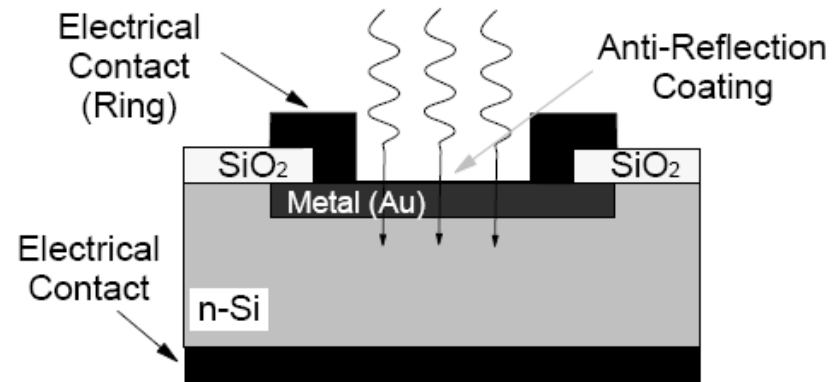
# Structura fotodiodei PIN

- ▶ tipic, adancimea stratului intrinsec este de  $20\text{--}50\mu\text{m}$
- ▶ cresterea suplimentara a adancimii ar duce la cresterea timpului de tranzit
  - $w=20\mu\text{m} \rightarrow T_{tr} \approx 0.2\text{ns}$



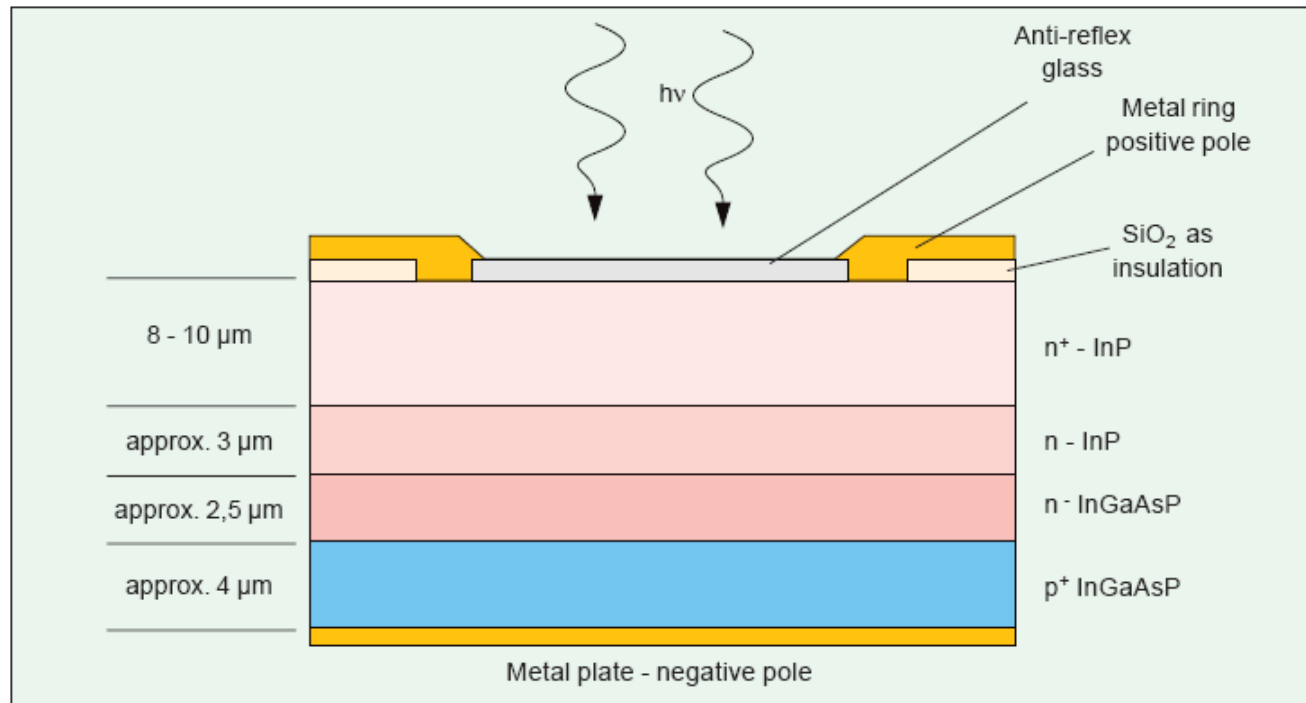
# Structura fotodiodelor Schottky

- ▶ se bazeaza pe jonctiunea metal semiconductor
- ▶ vitezele de lucru sunt mult mai mari, metalul fiind un bun conductor realizeaza evacuarea mult mai rapida a purtatorilor din jonctiune
- ▶ permite utilizarea unor materiale cu eficienta mai mare dar care nu pot fi dopate simultan p  
si n pentru utilizare in PIN
- ▶ modulatie cu 100GHz posibila



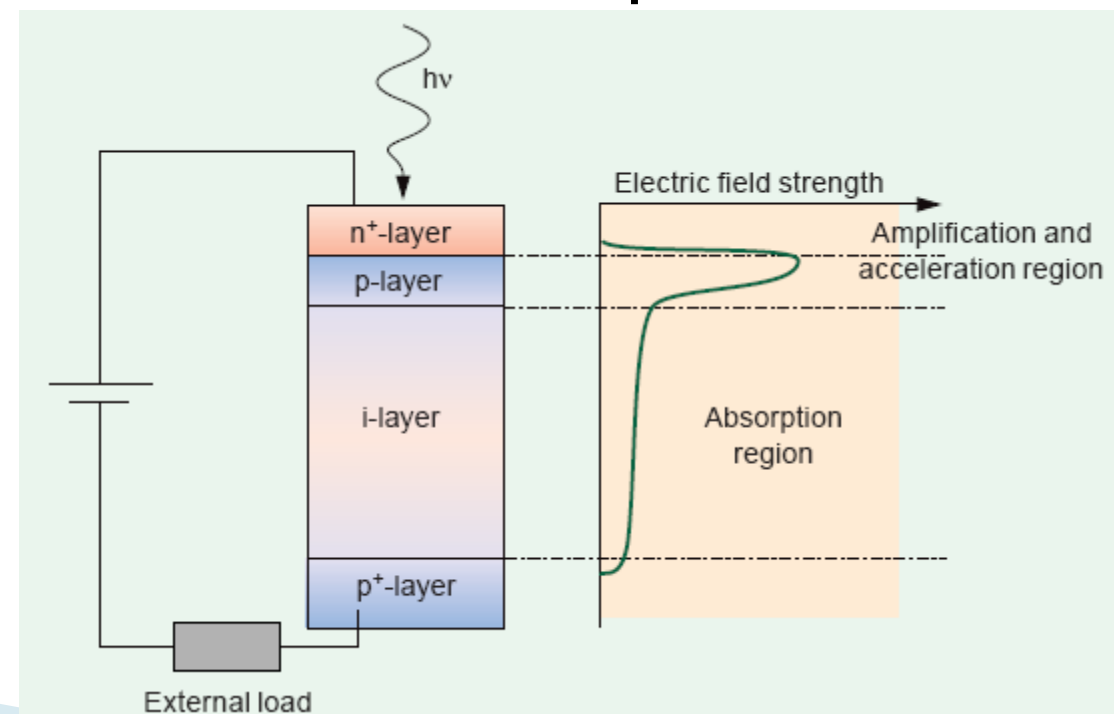
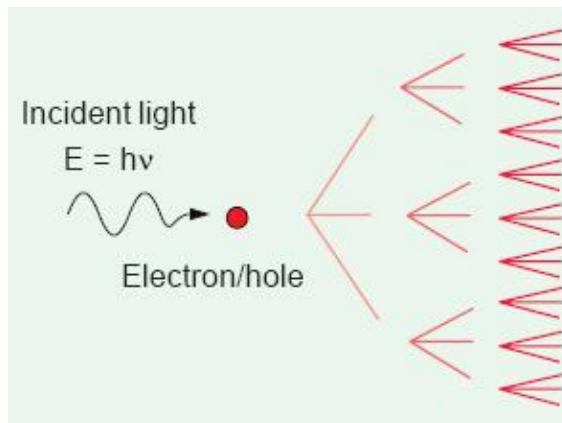
# Fotodioda PIN pentru lungimi de unda crescute (1550nm)

- ▶ se utilizeaza tipic
  - InGaAsP pe substrat InP
  - GaAlAsSb pe substrat GaSb



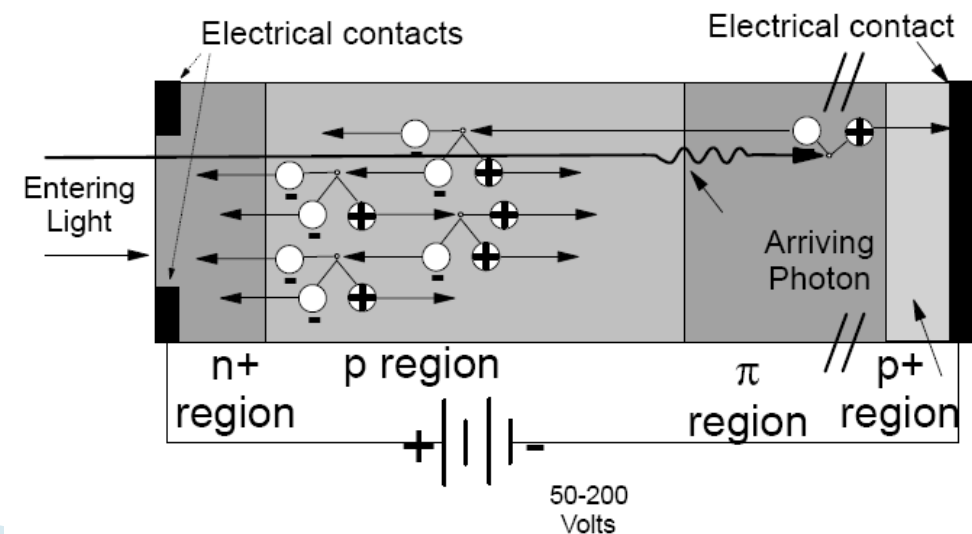
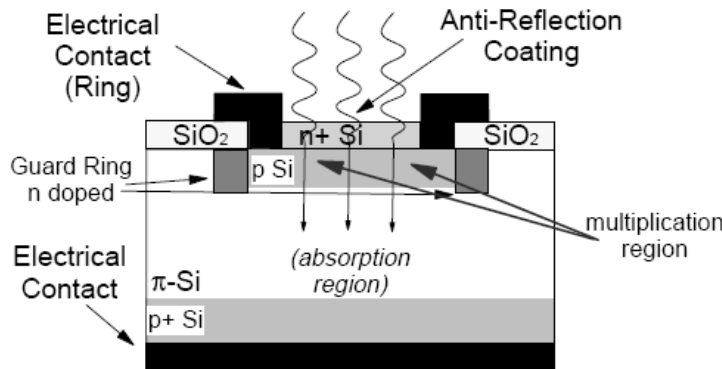
# Fotodioda PIN cu multiplicare in avalansa

- ▶ daca viteza purtatorilor este suficient de mare genereaza noi perechi electron/gol prin ionizare de impact
- ▶ amplificarea are loc in acelasi timp cu detectia

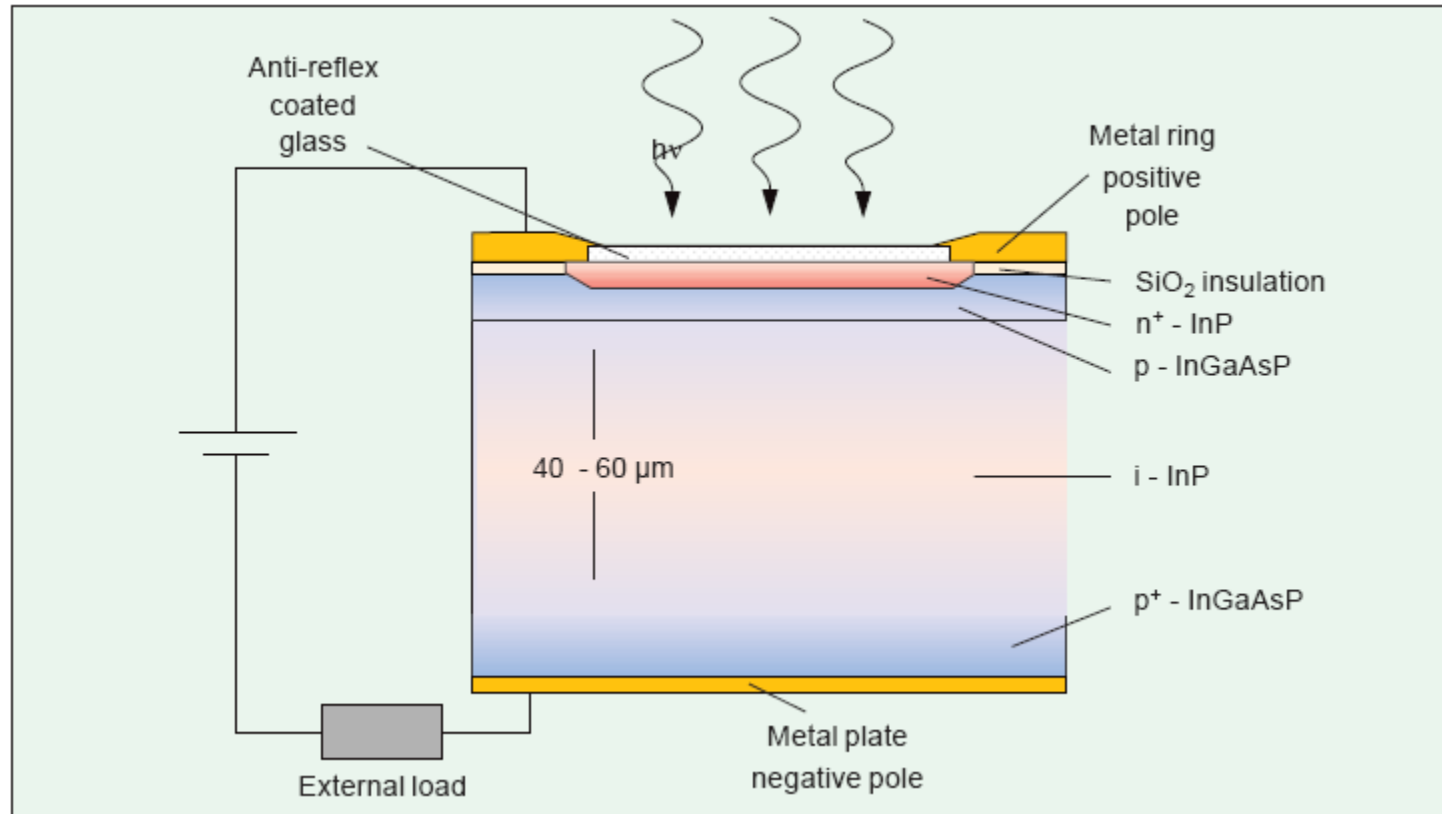


# Functionarea fotodiodei cu multiplicare in avalansa

- ▶ campuri electrice de ordinul minim:  $3 \times 10^5$  V/m, tipic:  $10^6$  V/m sunt necesare
- ▶ aceste campuri sunt generate de tensiuni inverse de polarizare de ordinul 50–300V
- ▶ structura este modificata pentru concentrarea campului in zona de accelerare



# Structura fotodiodei cu multiplicare in avalansa



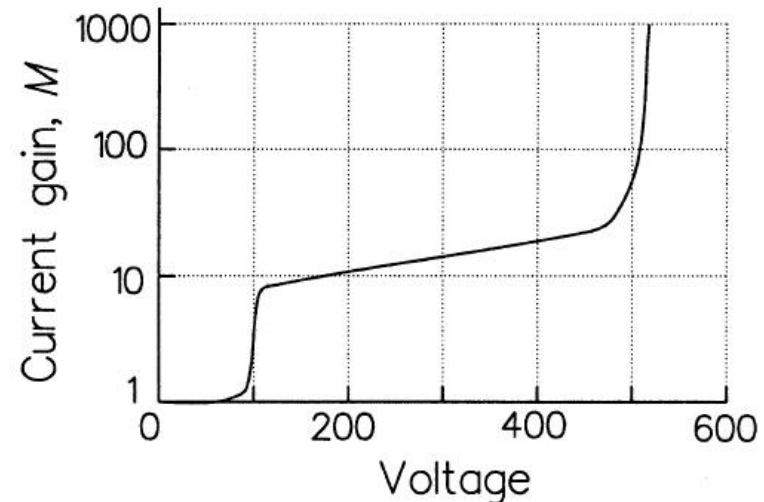
# Caracteristicile fotodiodei cu multiplicare in avalansa

- ▶ factorul de multiplicare caracterizeaza amplificarea photocurentului generat

$$M = \frac{I_M}{I}$$

- ▶ Responzivitatea

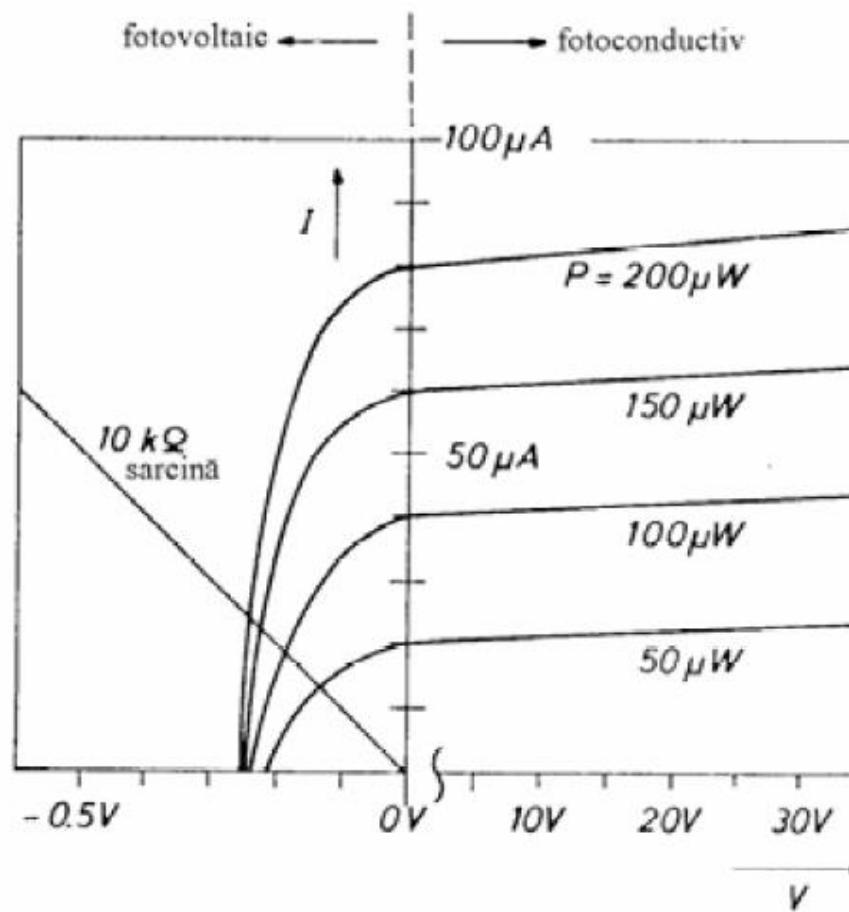
$$R = \frac{I}{P_o} = \frac{\eta \cdot e \cdot \lambda}{hc} \cdot M$$



# Dezavantaje

- ▶ tensiuni inverse de polarizare mari cresc complexitatea circuitului
- ▶ diodele cu multiplicare in avalansa sunt intrinsec mai zgomotoase (currentul de zgomot este amplificat de asemenea)
- ▶ factorul de multiplicitate are o componenta aleatorie (zgomot suplimentar)
- ▶ viteza mai redusa (timp de generare al avalansei)

# Caracteristici curent/tensiune Fotodioda

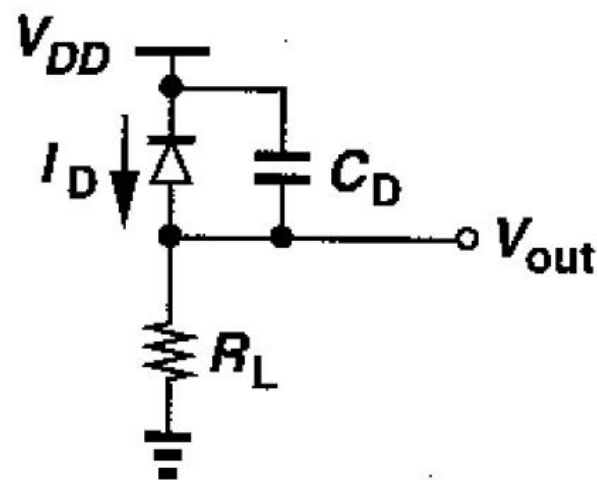


# Amplificatoare transimpedanta

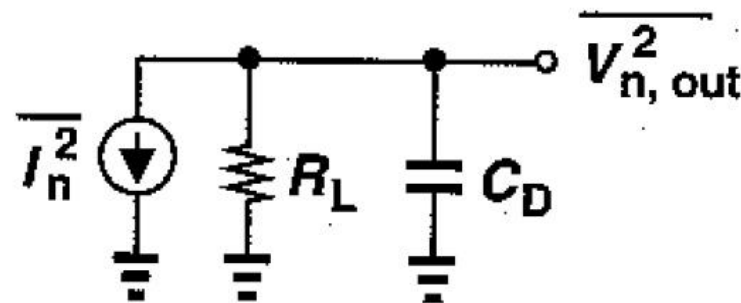
- ▶ Fotodiodele genereaza un curent proportional cu puterea optica receptionata
- ▶ Primul pas necesar este conversia acestui curent la o tensiune
- ▶ Amplificatoarele transimpedanta sunt amplificatoarele atacate in curent si care ofera la iesire o tensiune propotionala cu acesta
- ▶ Amplificarea este masurata in  $\Omega$  ( $k\Omega$ )

# Amplificatoare transimpedanta

- ▶ Cel mai simplu amplificator transimpedanta este un rezistor



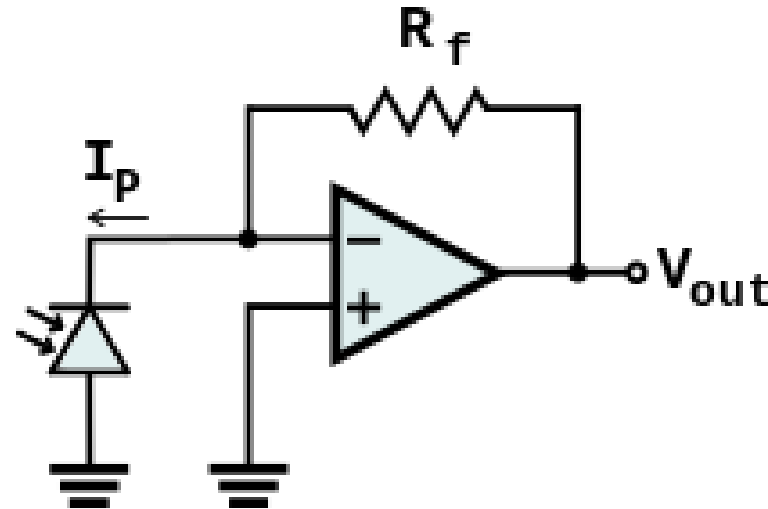
(a)



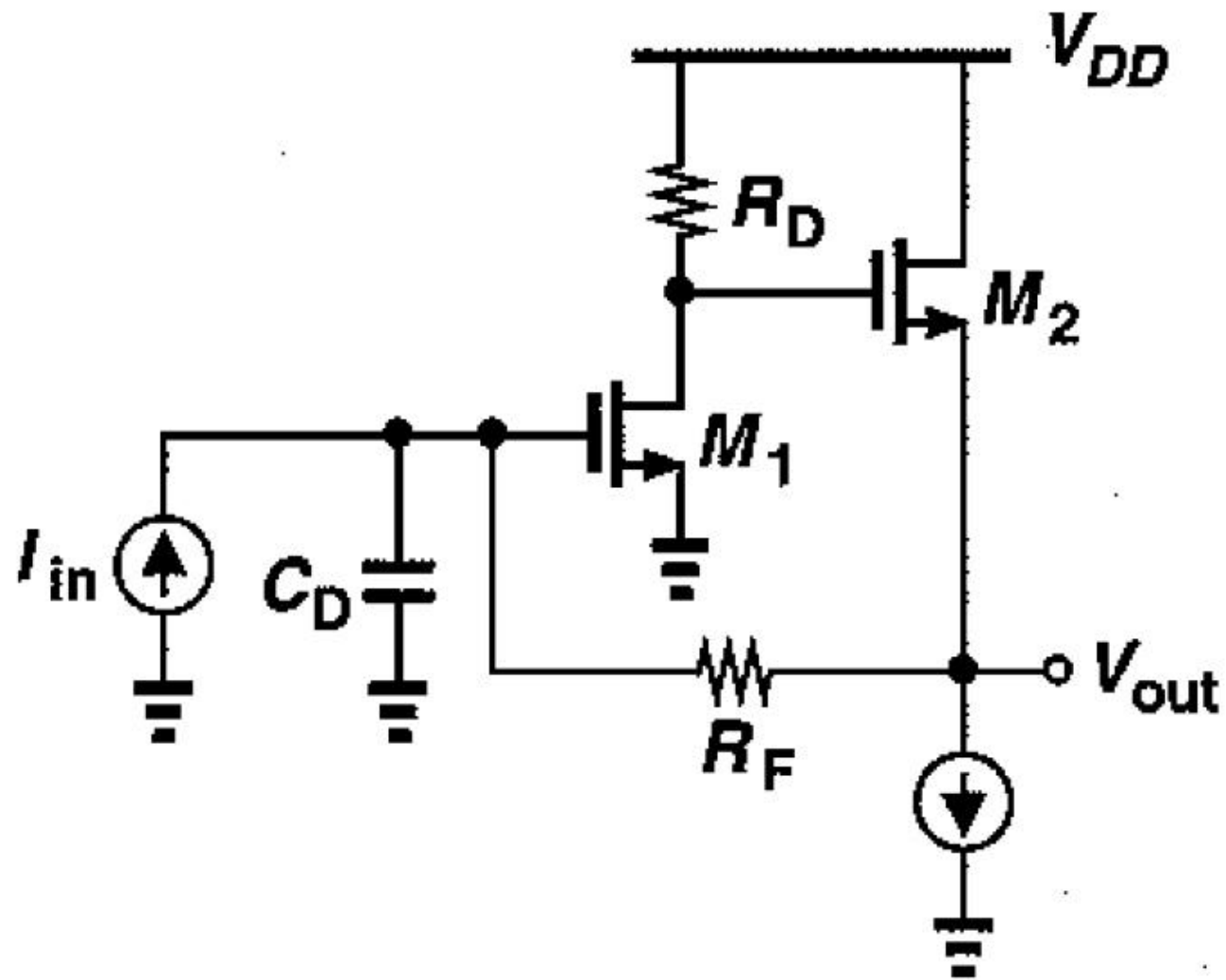
(b)

# Amplificatoare transimpedanta

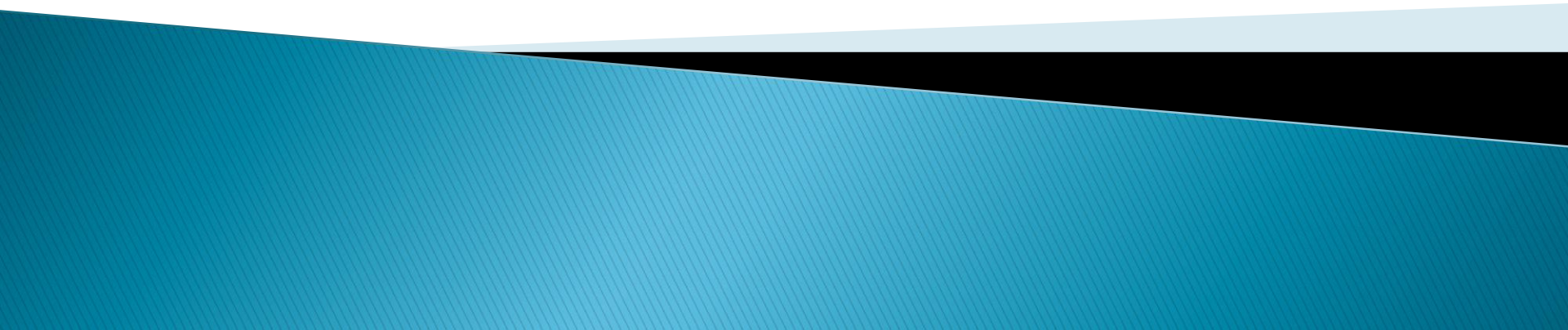
- ▶ Trebuie realizat un compromis intre
  - zgomot
  - castig
  - viteza
- ▶ De obicei sunt realizate cu reactie



# Amplificatoare transimpedanta



# Zgomotul traductorilor electro-optici



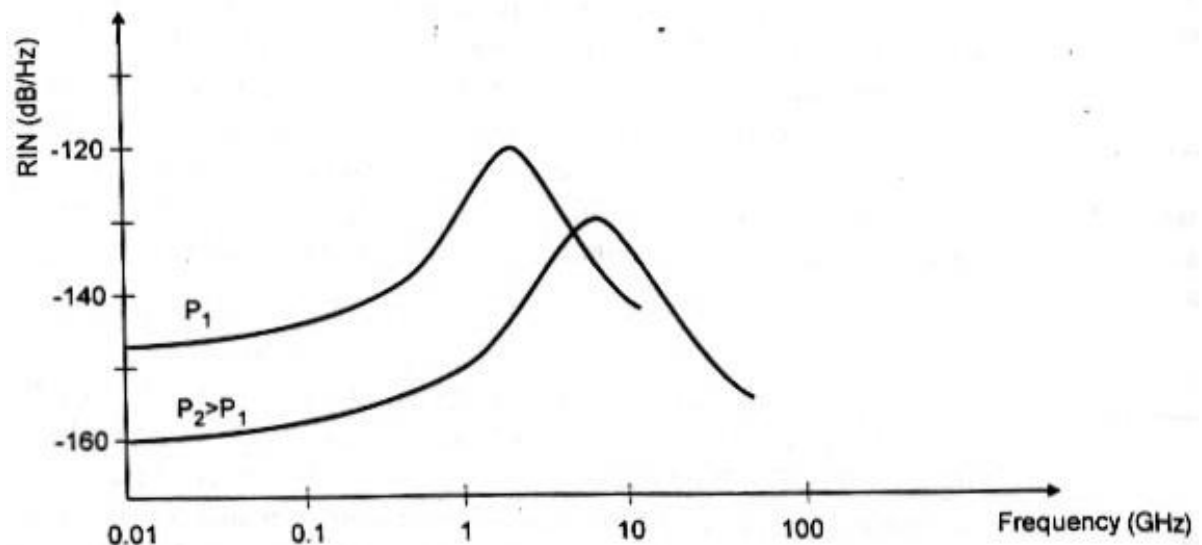
# Zgomotul emitorilor optici

- ▶ LED
  - este considerat o sursa lipsita de zgomot
  - nu contamineaza semnalul cu zgomot suplimentar
- ▶ Dioda LASER
  - fluctuatii de faza, determina o largire a spectrului emis
  - fluctuatii de intensitate, determina zgomotul de intensitate introdus de dioda
  - RIN – Relative Intensity Noise

$$RIN[1/Hz] = \frac{\langle P_n^2 \rangle}{\langle P^2 \rangle \cdot BW}$$

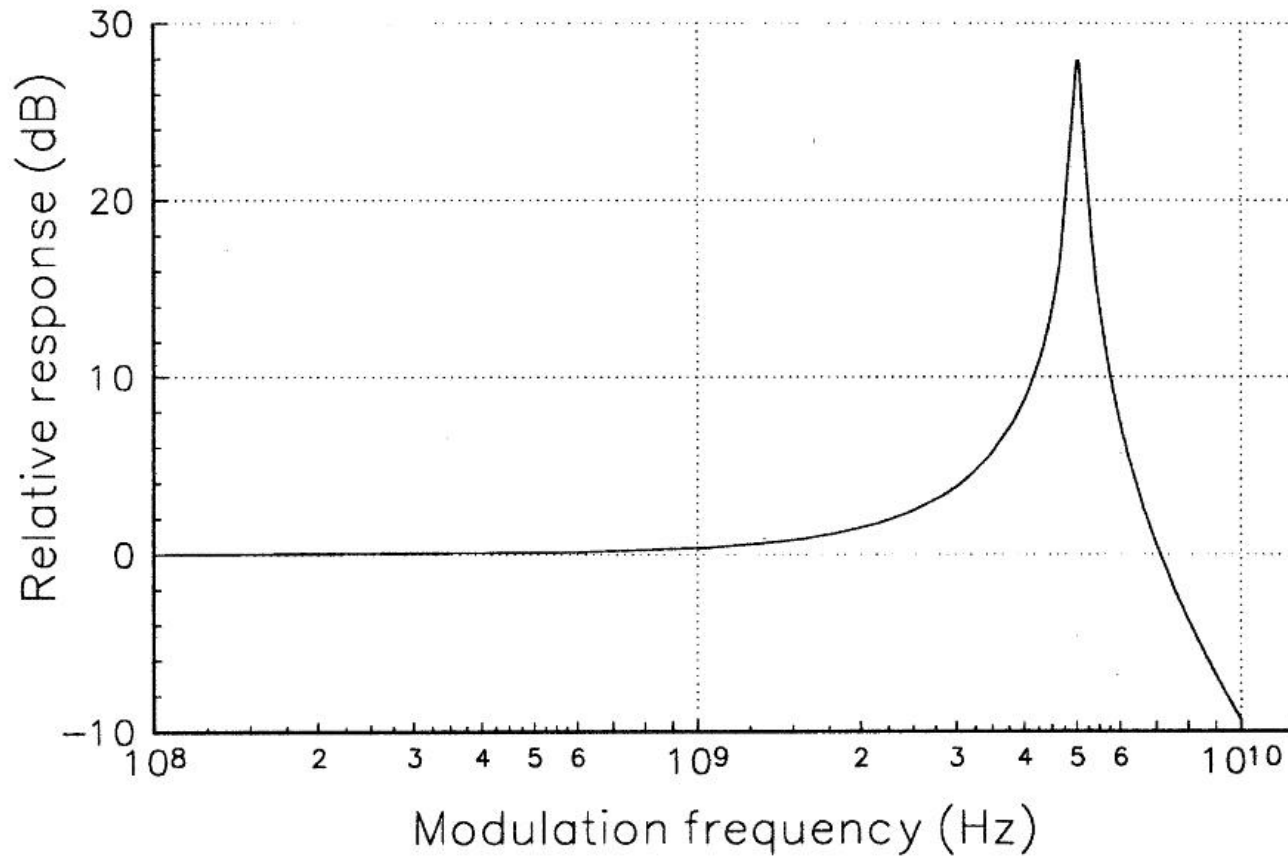
# RIN

- ▶ reprezinta o densitate spectrala de zgomot
  - puterea de zgomot depinde de RIN si de banda semnalului
- ▶ Depinde de puterea semnalului
  - $P^{-3}$  la puteri mici,  $P^{-1}$  la puteri mari



# Raspunsul unei diode laser

- ▶ oscilatii de relaxare - x GHz



# EIN

## ▶ Equivalent Input Noise

- $R_i$  – rezistenta de intrare in circuitul de modulatie a diodei
- Variatiile de putere (zgomot) echivalente unor variatii de curent (zgomot) prin dioda

$$\langle P_n^2 \rangle = r \cdot \langle I_n^2 \rangle$$

$$EIN[W] = R_i \cdot \langle I_n^2 \rangle \quad 1 \text{ Hz banda}$$

$$EIN[W / Hz] = RIN \cdot (I_0 - I_{th})^2 \cdot R_i$$

# Zgomotul fotodiodei

## ▶ NEP

- Noise Equivalent Power
- r – rezonabilitatea diodei

$$NEP[W] = \frac{\int \sqrt{\langle i_n^2 \rangle} df}{r}$$

- r depinde de  $\lambda$ , implica NEP depinde de  $\lambda$
- În cataloge apare de obicei densitatea spectrală

$$NEP[W / \sqrt{Hz}] = \frac{\sqrt{\langle i_n^2 \rangle}}{r} = \frac{NEP}{\sqrt{BW_{PD}}}$$

# Zgomotul fotodiodei

- ▶ NEP
  - cea mai mica putere detectabila

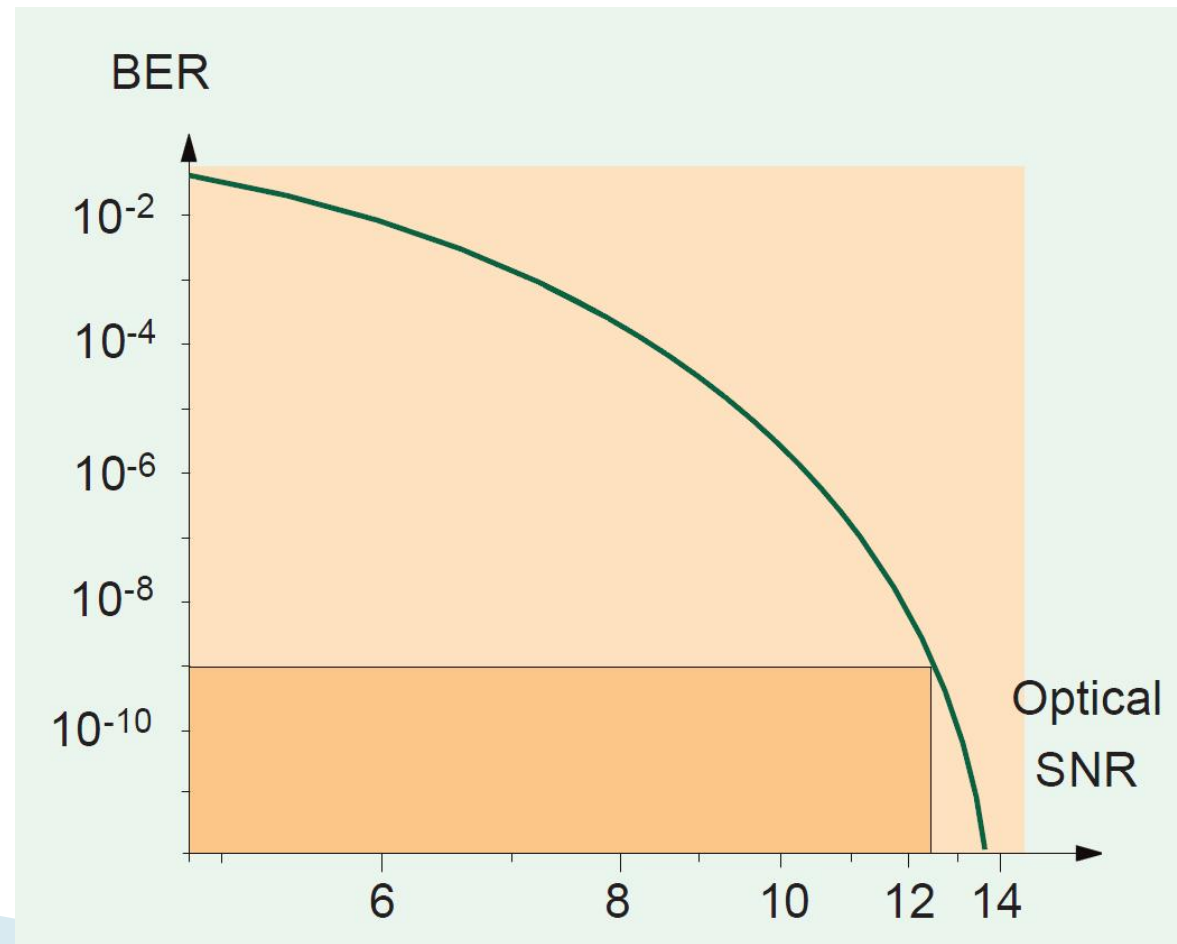
$$\langle i_n^2 \rangle = 2 \cdot e \cdot I \cdot BW_{PD} = 2 \cdot e \cdot (I_S + I_{dark}) \cdot BW_{PD}$$

$$P_{\min} = \frac{\sqrt{\langle i_n^2 \rangle_{\min}}}{r} = \frac{1}{r} \cdot \sqrt{2 \cdot e \cdot I_{dark} \cdot BW_{PD}}$$

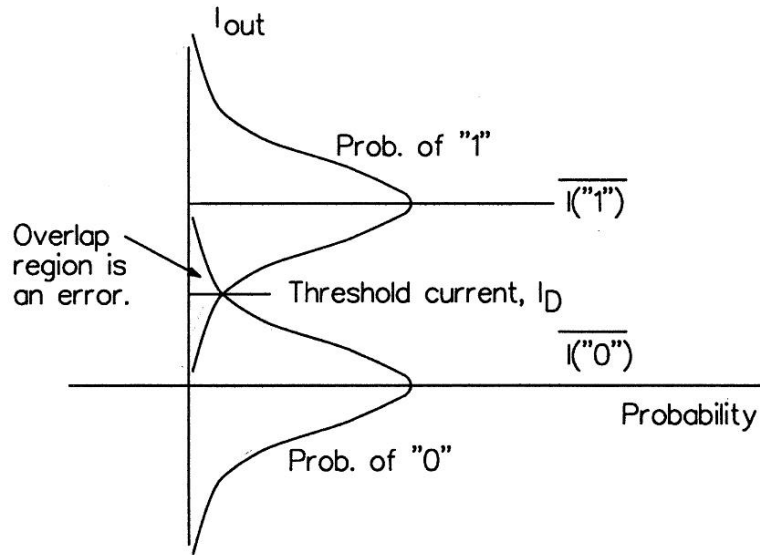
$$NEP[W / \sqrt{Hz}] = \frac{1}{r} \cdot \sqrt{2 \cdot e \cdot I_{dark}}$$

# BER

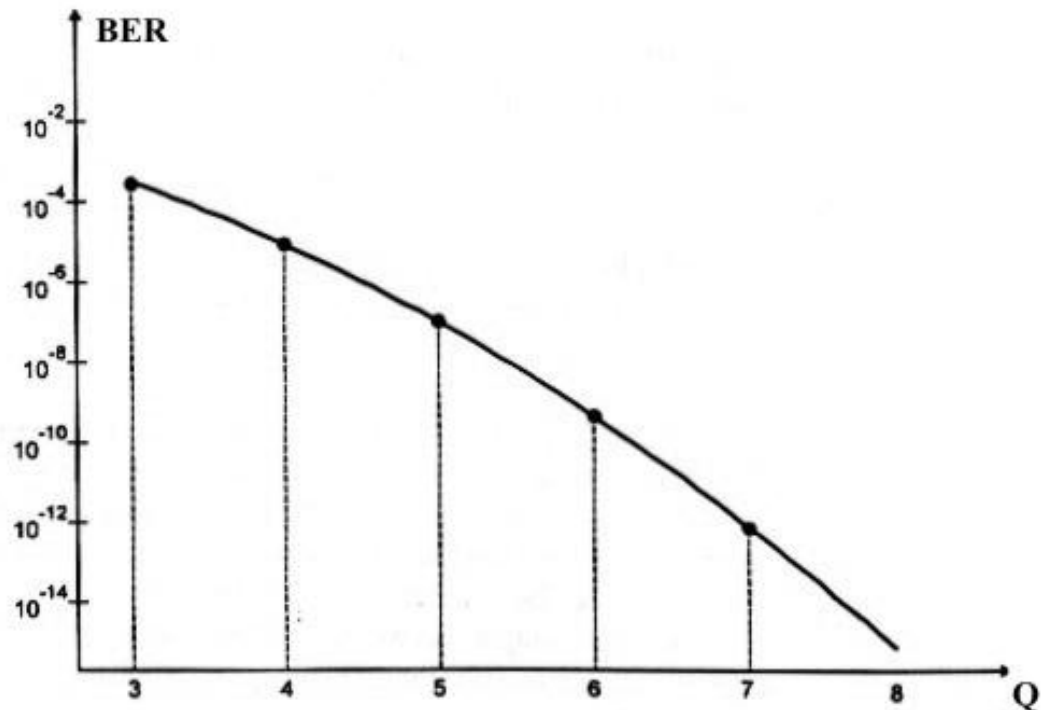
## ▶ Bit Error Rate



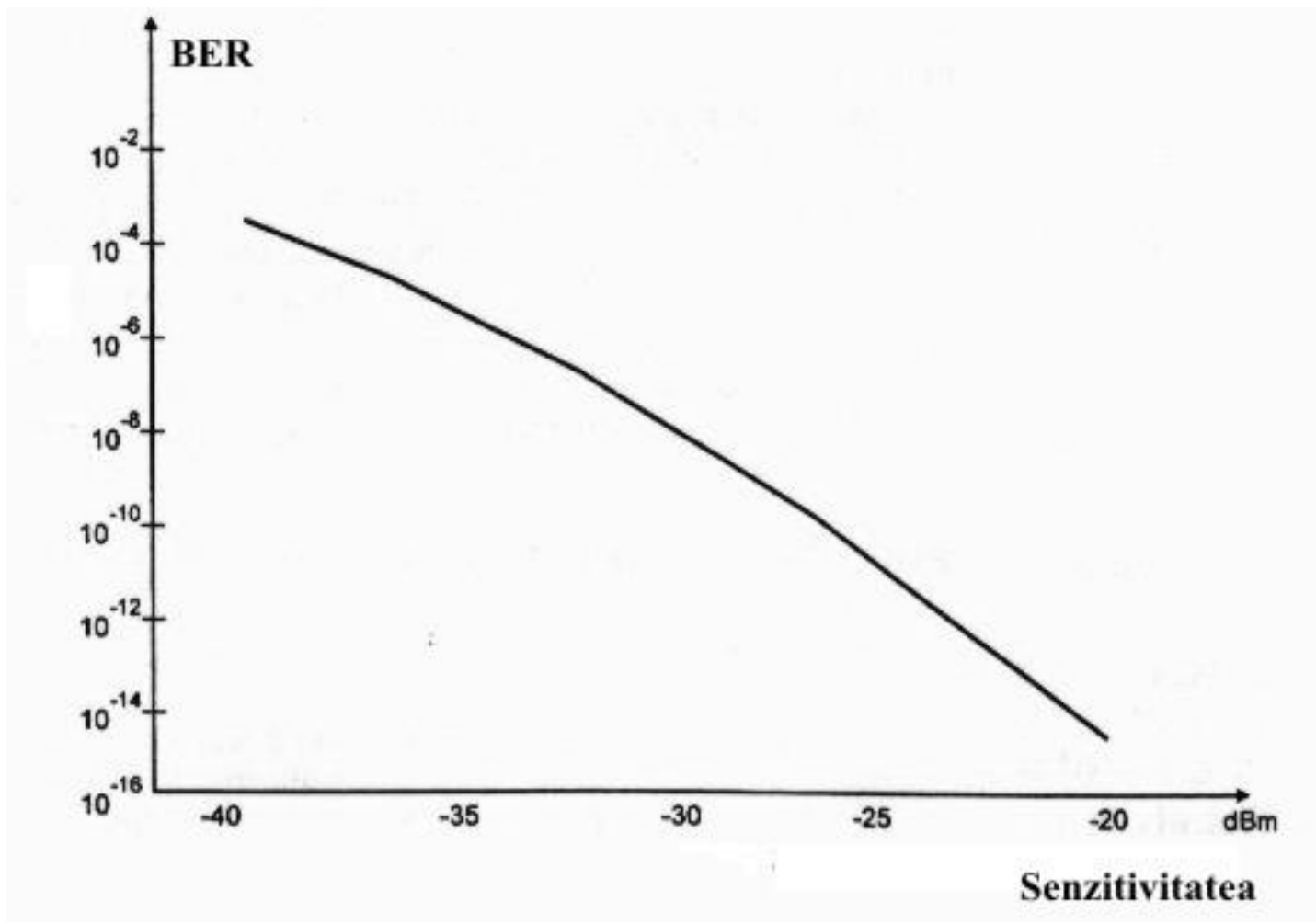
# Probabilitate de eroare



$$Q = \frac{\bar{I}(1) - I_D}{\sigma_1} = \frac{I_D - \bar{I}(0)}{\sigma_0}$$



# Senzitivitatea unei diode



# Contact

- ▶ Laboratorul de microunde si optoelectronica
- ▶ <http://rf-opto.etti.tuiasi.ro>
- ▶ [rdamian@etti.tuiasi.ro](mailto:rdamian@etti.tuiasi.ro)